

بسم الله الرحمن الرحيم  
جامعة بوليتكنك فلسطين



كلية الهندسة والتكنولوجيا

دائرة الهندسة المدنية والمعمارية

تخصص هندسة مدنية فرع هندسة مباني

اسم المشروع

**التصميم الإنشائي لفيلا سكنية في مدينة الخليل**

فريق العمل

منار عبد السلام عليان

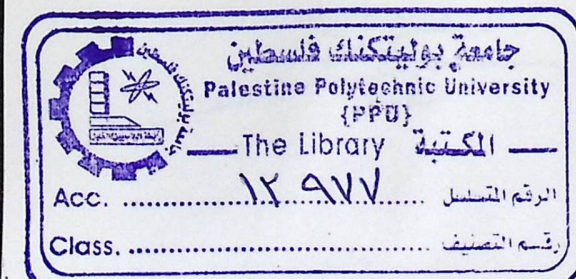
اسراء هاني قنبي

إشراف:

د. نصر عبوشي.

فلسطين - الخليل

2014



# شهادة تقييم مشروع التخرج

جامعة بولитеك فلسطين



عمل التصاميم وكافة التفاصيل الإنشائية لفيلا سكنية في منطقة الخليل

فريق العمل

منار عبد السلام عليان

اسراء هاني قنبي

بناء على توجيهات الأستاذ المشرف على المشروع، وبموافقة جميع أعضاء اللجنة المختصة، تم تقديم هذا المشروع إلى دائرة الهندسة المدنية والمعمارية في كلية الهندسة والتكنولوجيا للوفاء الجزئي بمتطلبات الدائرة لدرجة البكالوريوس.

توقيع رئيس الدائرة

د. غسان الدويك

2014

توقيع مشرف المشروع

د. نصر عبوشي

## الإهداء

(وَقُلْ أَعْمَلُوا فَسِيرَى اللَّهُ كُمَاكُمْ وَرَسُولُهُ وَالْمُؤْمِنُونَ) صدق الله العظيم

اللهي لا يطيب الليل إلا بشكرك ولا يطيب النهار إلا بطالتك ...

ولا تطيب اللحظات إلا بشكرك.. ولا تطيب الآخرة إلا بعفونك...

ولا تطيب الجنة إلا بروحك .... الله جل جلاله ..

إلى من بلغ الرسالة وأدعي الأمانة .. ونسمة الأمة .. إلى نبي الرحمة ونور العالمين ..  
سيدينا محمد صلى الله عليه وسلم

إلى من حمل الله بالصيبة والوقار .. إلى من علمني العطا بحون انتظار

إلى من أحمل اسمه بكل انتظار .. أرجو من الله أن يمد في عمرك

لترمي ثماراً قد حان قطافها بعد طول انتظار وستبقى

كلماتك نبأه أهتدي بها اليوم وفي الغد وإلى الأبد ..

والذي العزيز ..

إلى ملاكي في الحياة .. إلى معنى الحب وإلى معنى العنوان والتغاني ..

إلى بسمة الحياة وسر المحبود

إلى من كان حمانها سر نجاحي وحنانها بلسه جرامي إلى أهلى العبارية

أمي العربية

إلى من بها أخبار وعليه أعتمدت .. إلى شمعة متقدة تنير ظلمة حياتي

إلى من بوجوهها أكتسب قوة ومحبة لا حدود لها ...

إلى من عرفته معاً معنى الحياة

أختي ...

إلى أخي ورفيق دربي وهذه الحياة بحونك لا شيء .. معك أكون أنا

وبحونك أكون مثل أي شيء .. في نهاية مشواري أريد أنأشكرك على مواقفك النبيلة إلى

من تطلعه لنجاحي بنظراته الأهل

أخي ..

إلى الأخوات اللواتي لم تلدهن أمي .. إلى من تحلو بالإذاء

وتميزوا باللوعاء والعطاء إلى ينابيع الصدق الصافية إلى من معهم سعادت ..

وبرفقتهم في دروب الحياة السعيدة والعزيزة سرتهم إلى

من كانوا معهم على طريق النجاح والخير ..

إلى من عرفته كيف أجهمه وعلموني أن لا أخشعه صدقة ..

## الشكر والتقدير

إن الشكر والمنة لله وحده كما يليق بجلال وجهه وعظم سلطانه أولاً، كما يتقدم فريق العمل بالشكر الجليل والعميق لكل من ساهم في رعاية هذا المشروع وأنبت ينعه وزاد حصاده إلى الشكل الذي هو عليه، إلى:

- جامعة بوليتكنك فلسطين الموقرة، وكلية الهندسة والتكنولوجيا، ودائرة

الهندسة المدنية والمعمارية بكافة طاقمها العامل على تحرير الأجيال وبناء

الغد.

- جميع الأساتذة بالجامعة وبنفس بالذكر الدكتور نصر عبوسي، الذي بذل

الجهد النهис للخروج بهذا العمل بالشكل الآتي.

- مكتبة الجامعة والقائمين عليها لتعاونهم الكامل ومساعدتهم في توفير

الكتب الخاصة بالمشروع.

- لكل من قدم العون وكانت سواهتنا ولم يدخل بالمساعدة بأي

شيء.

## خلاصة المشروع

### التصميم الإنثائي لفيلا سكنية في مدينة الخليل

فريق العمل:

منار عبد السلام عليان

إسراء هاني إقنيبي

جامعة بوليتكنك فلسطين – 2014

المشرف:

د. نصر عبوشي

تتلخص فكرة المشروع في اختيار النظام الإنثائي و عمل التصاميم الإنثائية لجميع العناصر المكونة لهذا النظام و اعداد المخططات التنفيذية الإنثائية لفيلا سكنية في مدينة الخليل ، والمشروع يتكون من ثلاث طوابق و رووف حيث ان طابق التسوية عبارة عن كراج ، غرفة سائق و خدمات للمبني و يليه طابقان مكونان الفراغ الرئيسي للفيلا والذي تم تصميمه معماريا من قبل المهندس المعماري ، أما طابق الرووف يحتوي على غرفة رياضية و خدماتها و يوجد حول الرووف منطقة تراس(منطقة خضراء).

يتم اختيار النظام الإنثائي بما يحقق المتطلبات الإنثائية كالمتانة والتشغيل والاستقرار وبما لا يتعارض مع التوزيع المعماري للمبني ، ومن ثم يتم تحديد الاحمال الواقعه على العناصر الإنثائية المختلفة بناءً على كودات الاحمال المختلفة كالكود الأمريكي ، ومن ثم التصميم الإنثائي لها و اخراج النتائج بصورة مخططات قابلة للتنفيذ .

## **Abstract**

# **The Structural Design of Villa in Hebron city .**

## **Work Team**

Isra Hani Iqneibi

Manar Abd Alsalam Alyan

**Palestine Polytechnic University -2014**

## **Supervisor**

Dr. Naser Abboushi

The purpose of this project is the structural design of villa in Hebron city.

This building is consisting of three floors and roof (consist of green area), with a nice elevation.

On other hand , no doubt that the structural design at a same level of importance of architecture one , by supporting the building with a structural element .

The structural design of the building will be carried out according to the Jordanian code and to the ACI-318.

The project contains the structural analysis for vertical and horizontal loads and the structural design and details for each member in the project.

Table of Contents

**فهرس المحتويات**

رقم الصفحة	
I	صفحة العنوان الرئيسية
ii	صفحة تقرير المشروع
iii	صفحة شهادة تقييم مشروع التخرج
iv	صفحة الإهداء
v	صفحة الشكر والتقدير
vi	صفحة الملخص باللغة العربية
vii	صفحة الملخص باللغة الإنجليزية
xiv	صفحة قائمة الاختصارات

الفصل الأول	المقدمة	
١-١	المقدمة	١
٢-١	تعريف عام بالمشروع	٢
٣-١	أسباب اختيار المشروع	٣
٤-١	اهداف المشروع	٤
٥-١	المشكلة البحث للمشروع	٥

٤	نطاق المشروع (حدود المشروع)	٦-١
٥	الجدول الزمني للمشروع	٧-١

الوصف المعماري	الفصل الثاني
مقدمة	١-٢
لomba عن المشروع	٢-٢
موقع المشروع	٣-٢
أهمية الموقع	٤-٢
حركة الشمس	١-٤-٢
العناصر المعمارية	٢-٤-٢
وصف المساقط الافقية	٥-٢
طابق التسويف	١-٥-٢
الطابق الارضي	٢-٥-٢
الطابق الاول	٣-٥-٢
الطابق الثاني	٤-٥-٢
غرفة المجلس	٥-٥-٢
وصف الواجهات	٦-٢
الواجهة الشمالية	١-٦-٢
الواجهة الجنوبية	٢-٦-٢
الواجهة الغربية	٣-٦-٢
الواجهة الشرقية	٤-٦-٢

١٩	وصف الحركة	٧-٢
----	------------	-----

الفصل الثالث:	الوصف الإنشائي	رقم الملف
١-٣	مقدمة	٢١
٢-٣	هدف التصميم الإنشائي	٢١
٣-٣	مراحل التصميم	٢٢
٤-٣	الأحمال	٢٢
١-٤-٣	الأحمال الميئية	٢٢
٢-٤-٣	الأحمال الحية	٢٣
٣-٤-٣	الأحمال البيئية	٢٤
١-٣-٤-٣	الرياح	٢٤
٢-٣-٤-٣	الثلوج	٢٤
٣-٣-٤-٣	الزلزال	٢٥
٥-٣	الدراسات الجيوتكنية	٢٦
٦-٣	العناصر الإنشائية	٢٦
١-٦-٣	العقدات	٢٧
١-١-٦-٣	عقدات العصب ذات الاتجاه الواحد	٢٧
٢-١-٦-٣	عقدات العصب ذات الاتجاهين	٢٨
٣-١-٦-٣	العقدات المصمتة ذات الاتجاهين	٢٩
٤-٦-٣	الادراج	٣٠
٣-٦-٣	الجسور	٣١

٣٢	الاعمدة	٤-٦-٣
٣٣	جدران القص	٥-٦-٣
٣٤	الاساسات	٦-٦-٣
٣٥	الجدران الاستنادية	٧-٦-٣
٣٦	القبة القشرية	٨-٦-٣
٣٧	برامج الحاسوب التي تم استخدامها	٩-٦-٣

38	Structural Design & Analysis	<u>Chapter 4</u>
39	Introduction	4.1
40	Determination of Slab thickness	4.2
41	Determination of factored load	4.3
41	Determination of dead load	4.3.1
41	Determination of factored dead & live loads	4.3.2
42	Design of topping	4.4
43	Design of rib 3	4.5
45	Design of positive moment of rib 3	4.5.1.1
47	Design of negative moment of rib 3	4.5.1.2
48	Design of shear of rib 3	4.5.2
50	Design of beam (BB,10)	4.6
54	Design of flexure	4.6.1
54	Design of positive moment	4.6.1.1

55	<b>Design of Negative moment</b>	4.6.1.2
56	<b>Design of shear</b>	4.6.2
58	<b>Design of two Way ribbed slab</b>	4.7
70	<b>Design of two Way solid slab</b>	4.8
75	<b>Design of stairs</b>	4.9
80	<b>Design of Basement wall</b>	4.10
85	<b>Design of Retaining wall</b>	4.11
95	<b>Design of shear wall</b>	4.12
100	<b>Design of column</b>	4.13
103	<b>Design of Isolated footing</b>	4.14
107	<b>Design of spherical shell</b>	4.15

الفصل الخامس	الملحقات	١١٣
١.٥	النتائج	١١٤
٢.٥	التوصيات	١١٤
٣.٥	المصادر والمراجع	١١٥

فهرس الجداول	
٥	جدول (١-١) الجدول الزمني للمشروع خلال السنة الدراسية ٢٠١٤/٢٠١٣
٢٣	جدول (١-٣) الكثافة النوعية للمواد المستخدمة
٢٣	جدول (٢-٣) الأحمال الحية
٢٥	جدول (٣-٣) قيمة أحمال الثلوج حسب الارتفاع عن سطح البحر

### فهرس الأشكال

٨	شكل (١-٢) قطعة الأرض والبناء المقترن
٩	شكل (٢-٢) قطعة الأرض مع دوران الشمس
١١	شكل (٣-٢) مخطط التسوية
١٢	شكل (٤-٢) مخطط الطابق الأرضي
١٣	شكل (٥-٢) مخطط الطابق الاول
١٤	شكل (٦-٢) مخطط الطابق الرووف
١٤	شكل (٧-٢) مخطط المجلس
١٥	شكل (٨-٢) الواجهة الشمالية

١٦	الواجهة الجنوبية	شكل (٩-٢)
١٧	الواجهة الغربية	شكل (١٠-٢)
١٨	الواجهة الشرقية	شكل (١١-٢)
١٩	صورة توضح حركة المبني	شكل (١٢-٢)
٢٠	صورة لبعض العناصر الانشائية للمبني	شكل (٣-١)
٢٦	عقدة ذات العصب باتجاه واحد	شكل (٢-٣)
٢٧	عقدة العصب ذات الاتجاهين	شكل (٣-٣)
٢٩	عقدة مصمته ذات اتجاهين	شكل (٤-٣)
٣٠	الدرج	شكل (٥-٣)
٣١	الجسور المستخدمة في المشروع	شكل (٦-٣)
٣٢	أنواع الاعمدة المستخدمة في المشروع	شكل (٧-٣)
٣٣	جدار قص	شكل (٨-٣)
٣٤	اساس	شكل (٩-٣)
٣٥	جدران استنادية	شكل (١٠-٣)
٣٩	Basement floor slab	شكل (١-٤)
٤٢	Rib3 geometry	شكل (٢-٤)
٤٣	loading of Rib	شكل (٣-٤)
٤٤	Moment Envelop of rib 3	شكل (٤-٤)
٤٤	Shear Envelop of rib 3	شكل (٥-٤)
٥٠	Beam Geometry	شكل (٦-٤)
٥٠	Load of beam	شكل (٧-٤)

٥١	Moment Envelop for Beam	شكل (٤-٤)
٥٢	Shear Envelop for Beam	شكل (٤-٩)
٦٨	two-way rib slab	شكل (١٠-٤)
٦٢	Moment Slab	شكل (١١-٤)
٧١	two-way solid slab	شكل (١٢-٤)
٧٤	Moment Slab.	شكل (١٣-٤)
٧٧	Stairs	شكل (١٤-٤)
٧٨	load Geometric	شكل (١٥-٤)
٧٩	load Geometric	شكل (١٦-٤)
٨١	Geometry Of Basement Wall ( BW1 )	شكل (١٧-٤)
٨٣	Loading and Envelope of Basement Wall ( BW1 )	شكل (١٨-٤)
٨٥	details of basement wall	شكل (١٩-٤)
٨٦	retaining wall	شكل (٢٠-٤)
٩٦	Shear Wall	شكل (٢١-٤)
٩٦	Moment and shear diagram	شكل (٢٢-٤)
١٠٧	Footing's Detail	شكل (٢٣-٤)
١٠٨	spherical shell	شكل (٢٤-٤)
١٠٨	Local axis	شكل (٢٥-٤)
١١٠	Dead load shell	شكل (٢٦-٤)
١١١	Live load shell	شكل (٢٧-٤)
١١٢	Tension from prog.sap	شكل (٢٨-٤)

## List of Abbreviations

- **Ac** = area of concrete section resisting shear transfer.
- **As** = area of non-prestressed tension reinforcement.
- **As** = area of non-prestressed compression reinforcement.
- **Ag** = gross area of section.
- **Av** = area of shear reinforcement within a distance (S).
- **At** = area of one leg of a closed stirrup resisting tension within a (S).
- **b** = width of compression face of member.
- **bw** = web width, or diameter of circular section.
- **C<sub>c</sub>** = compression resultant of concrete section.
- **C<sub>s</sub>** = compression resultant of compression steel.
- **DL** = dead loads.
- **d** = distance from extreme compression fiber to centroid of tension reinforcement.
- **E<sub>c</sub>** = modulus of elasticity of concrete.
- **f<sub>c</sub>** = compression strength of concrete .
- **Fy** = specified yield strength of non-prestressed reinforcement.
- **h** = overall thickness of member.
- **L<sub>n</sub>** = length of clear span in long direction of two- way construction, measured face-to-face of supports in slabs without beams and face to face of beam or other supports in other cases.
- **LL** = live loads.
- **L<sub>w</sub>** = length of wall.
- **M** = bending moment.
- **M<sub>u</sub>** = factored moment at section.

- $M_n$  = nominal moment.
- $P_n$  = nominal axial load.
- $P_u$  = factored axial load
- $S$  = Spacing of shear or in direction parallel to longitudinal reinforcement.
- $V_c$  = nominal shear strength provided by concrete.
- $V_n$  = nominal shear stress.
- $V_s$  = nominal shear strength provided by shear reinforcement.
- $V_u$  = factored shear force at section.
- $W_c$  = weight of concrete. ( $\text{Kg}/\text{m}^3$ ).
- $W$  = width of beam or rib.
- $W_u$  = factored load per unit area.
- $\Phi$  = strength reduction factor.
- $\epsilon_c$  = compression strain of concrete =  $0.003\text{mm}/\text{mm}$ .
- $\epsilon_s$  = strain of tension steel.
- $\epsilon'_s$  = strain of compression steel.
- $p$  = ratio of steel area .

# الفصل الأول

## المقدمة

1

١.١ المقدمة.

٢.١ تعریف عام بالمشروع.

٣.١ أسباب اختيار المشروع.

٤.١ أهداف المشروع.

٥.١ مشكلة البحث (المشروع).

٦.١ نطاق المشروع (حدود المشروع) .

٧.١ محتويات المشروع.

٨.١ المخطط الزمني لمراحل العمل بالمشروع.

## ١.١ المقدمة

دأب الإنسان منذ بداياته إلى البحث عن المسكن فالتجأ إلى الكهوف و التجاويف الصخرية المحيطة به ، ومع محاولاته لتطوير أساليب الحياة لديه ، و التكيف مع بيئته اجتهد لتطوير مسكنه ، فاستخدم المواد المحيطة به لإنشاء هذا المأوى من أخشاب وجلود الحيوانات والحجارة والطين ، وصولا إلى استخدامه الحديد والاسمنت المستخدم حاليا في البناء .

واستجابة لمتطلبات التقدم والتطور بدأ بالاتجاه إلى الأبنية المتخصصة في مجالات حياته العامة و الخاصة، فجعل لكل احتياج مبناء الخاص مثل الجامعات و المدارس والمستشفيات والشقق السكنية والمرافق الصحية، الخ...

وحيث ان مشروعنا يتمحور حول نظام سكني عادي (فيلا سكنية) ، واليكم نبذة مختصرة عن نظام الفيلات : الفيلا: هي نظام من انظمه بناء البيوت السكنية ، حيث تكون مصممه لسكن العائلات ، حيث انها تتكون من أكثر من طابق وبناء جميل ورافي .. وممكن ان تحتوي على مسبح او ملعب صغير ، ونظام الفيلا في مشروعنا يحتوي على منطقة خضراء موجود في منطقة الروف ....

## ١.٢ تعريف عام بالمشروع

المشروع عبارة عن فيلا يقع في مدينة الخليل ، يتكون المبني من ثلاثة طوابق و رووف ، على مساحة قطعة ارض 4285.7 متر مربع ، ومساحة بناء ٦٧٤ متر مربع .....

## ١.٣ أسباب اختيار المشروع

تعود أهمية اختيار المشروع إلى عدة أمور من أهمها اكتساب المهارة في التصميم للعناصر الإنسانية في المبني وخاصة المبني الفخم في طريقه بناؤها مثل المشروع الذي نعرضه في هذا البحث . بالإضافة إلى زيادة المعرفة للنظم الإنسانية المتبعة في بلادنا وكذلك اكتساب المعرفة العلمية والعملية المتبعة في تصميم وتنفيذ المشاريع الإنسانية والتي ستواجهنا بعد التخرج في سوق العمل إن شاء الله .

هناك عدة أسباب دفعت إلى اختيار هذا المشروع؛ منها أسباب تتعلق بطبيعة المشروع كونها فيلا جميلة وأخرى تعود إلى أسباب شخصية يمكن تلخيصها على النحو التالي :-

الأسباب المتعلقة بطبيعة المشروع :-

١. الرغبة في أن يكون مشروع التخرج مشروعًا حيوياً قابلاً للتنفيذ.
٢. الحاجة إلى تجميع المعلومات الإنسانية، وتطبيقها في مشروع إنساني تتبع فيه العناصر الإنسانية.
٣. لأنه جزء من متطلبات إنهاء درجة البكالوريوس.

الأسباب الشخصية :-

١. رغبة فريق المشروع بأن يكون المشروع إنسانياً.
٢. الرغبة في اكتساب مهارة التصميم الإنساني من خلال الربط بين النواحي النظرية التي تم اكتسابها من المساقات المدروسة، وتطبيق ذلك فعلياً في هذا المشروع وما يحتويه من عناصر إنسانية مختلفة، وتصميم هذه العناصر بحيث تتناسب مع الأحمال الواقعية عليها، مع مراعاة توفير عوامل المكانة والاقتصاد.

## ٤. أهداف المشروع

أهداف معمارية :-

• مثل هذه المشاريع تلفت نظر وانتباه المواطنين والزوار، لذلك يجب التركيز الجيد على النواحي المعمارية، فمن خلال هذه المشاريع يستطيع المعماري أن يجعل منها حدثاً تاريخياً من خلال الكتل المتناسقة والعناصر المستعملة في الواجهات، ويكون للمراكم البحثية طابع معماري خاص بها يدل على تطور الذوق المعماري، وهذا يدل على تطور المدينة وحضارتها.

٢- أهداف إنسانية :-

١. القدرة على اختيار النظام الإنساني المناسب للمشاريع المختلفة وتوزيع عناصره الإنسانية على المخططات، مع مراعاة الحفاظ على الطابع المعماري.
٢. العمل على توظيف كافة المعلومات التي اكتسبناها أثناء حياتنا الدراسية من خلال المساقات المختلفة من أجل الوصول إلى مشروع متكامل.

٣. التعرف على نماذج وطرق إنسانية جديدة لم نكتسبها خلال دراستنا ومعرفة كيفية التعامل معها حسب الحاجة.

و بذلك يمكن أن يعد المشروع بمثابة مرجع متكامل في مجال التحليل والتصميم لمختلف العناصر الإنسانية في المبني لما يحويه من أمثلة وتطبيقات على هذه الموضوعات.

## ١.٥ مشكلة البحث (المشروع)

تتمثل مشكلة هذا المشروع في التحليل والتصميم الإنساني لجميع العناصر الإنسانية المكونة للفيلا الذي تم اعتمادها لتكون ميداناً لهذا البحث . وفي هذا المجال سيتم تحليل كل عنصر من العناصر الإنسانية مثل البلاطات والأعصاب والأعمدة والجسور ... الخ بتحديد الأحمال الواقعة عليه . ومن ثم تحديد أبعاده وتصميم التسليح اللازم له مع الأخذ بعين الاعتبار عامل الأمان للمنشأ . ومن ثم سيتم عمل المخططات التنفيذية للعناصر الإنسانية التي تم تصميمها ، لإخراج هذا المشروع من حيز الاقتراح إلى حيز التنفيذ .

## ١.٦ نطاق حدود المشروع

سوف تقتصر الدراسة في هذا المشروع على إعداد المخططات الإنسانية الهندسية المطلوبة لمختلف العناصر الإنسانية في المبني الموجودة على تنويعها، لتتكامل هذه التصاميم مع التصاميم المعمارية المعدة مسبقاً.

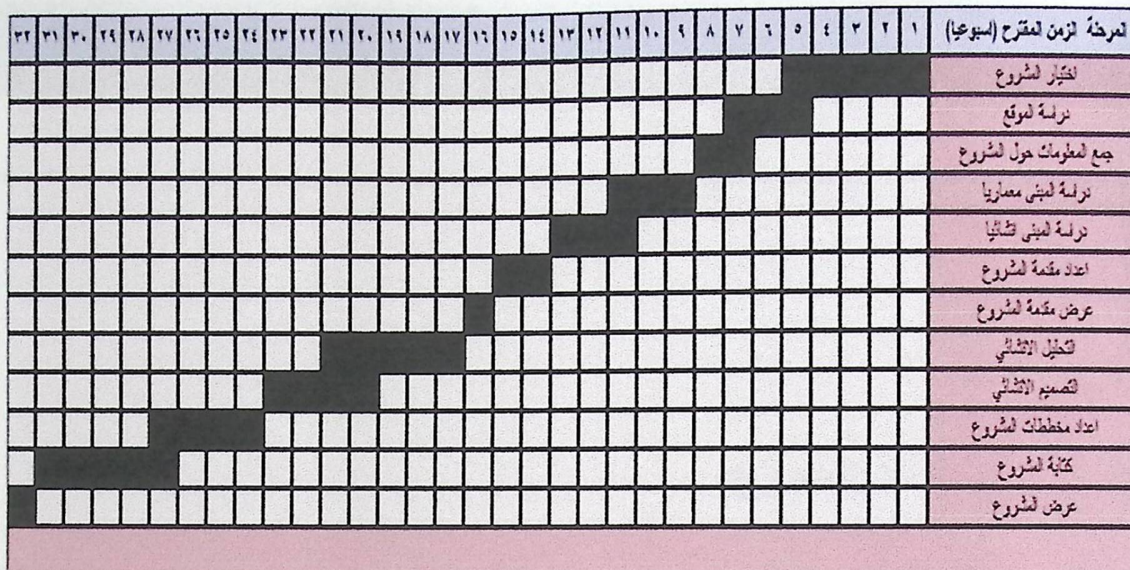
## ١.٧ محتويات المشروع

يحتوي هذا المشروع على أربعة فصول وهي:

- ١- الفصل الأول: يشمل المقدمة العامة ومشكلة البحث وأهدافه.
- ٢- الفصل الثاني: يشمل الوصف المعماري للمشروع.
- ٣- الفصل الثالث: يشمل وصف العناصر الإنسانية للمبني.
- ٤- الفصل الرابع: التحليل والتصميم الإنساني للعناصر الإنسانية.

## ١،٨ المخطط الزمني لمراحل العمل بالمشروع

يبين الجدول رقم (1-1)المخطط الزمني لمراحل العمل بالمشروع وفق الخطوات المقترنة للعمل خلال الفصل الدراسي الأول والثاني .



الجدول : (1-1)المخطط الزمني للمشروع

## الفصل الثاني

### الوصف المعماري

2

١.٢ مقدمة.

٢.٢ لمحة عن المشروع.

٣.٢ موقع المشروع.

٤.٢ أهمية موقع المشروع.

٥.٢ وصف المساقط الأفقية.

٦.٢ وصف الواجهات.

٧.٢ وصف الحركة.

## ١.٢ المقدمة

ان الوصف المعماري لأي مبنى حاجة ماسة لنجاح المشروع ، اذ يساعد على فهم وتحليل كافة الوظائف والفعاليات والحركات داخل المبني ، وتبيّن ميزات كل جزء من أجزاءه حسب اختلاف نوعه وال الحاجة التي انشأها من أجلها ، وأهم ميزات المبني السكني توفير الراحة والأمان وكافة الخدمات لساكنيه ، ولا سيما مواكبة التكنولوجيا الحديثة في الشكل والمواد المستخدمة.

لاداء أي عمل لا بد أن يتم بمراحل منظمة ومتالية حتى يتم إنجازه على أكمل وجه ، وكذلك لإقامة أي بناء لا بد من تصميمه من ناحيتين ( الناحية المعمارية و الناحية الإنسانية ) بحيث تكون الواحدة منها مكملة للأخرى ، وتبعدا هاتين المرحلتين بمرحلة التصميم المعماري الذي يحدد شكل المنشآء ، ويأخذ بعين الاعتبار وتحقيق الوظائف و المتطلبات المختلفة بأفضل الاقتراحات ، إذ يجري توزيع الأولى لمراقبه بهدف تحقيق الفراغات والأبعاد المطلوبة ، ويتم في هذه العملية دراسة الإنارة والعزل والتقوية والنقل والحركة وغيرها من المتطلبات الوظيفية.

وبعد الإنتهاء من عملية التصميم المعماري تبدأ عملية التصميم الإنساني والتي تهدف إلى تحديد أبعاد العناصر الإنسانية وخصائصها ، والمواد المستخدمة ، وذلك اعتماداً على الأحمال المختلفة التي تتعرض لها هذه العناصر التي ستقوم بدورها بنقل الأحمال بشكل متالي من الجسور إلى الأعمدة فالأساسات في التربة ، وذلك كله دون احداث أي خلل أو تغير في التصميم المعماري في للبناء.

## ٢.٢ لمحة عن المشروع

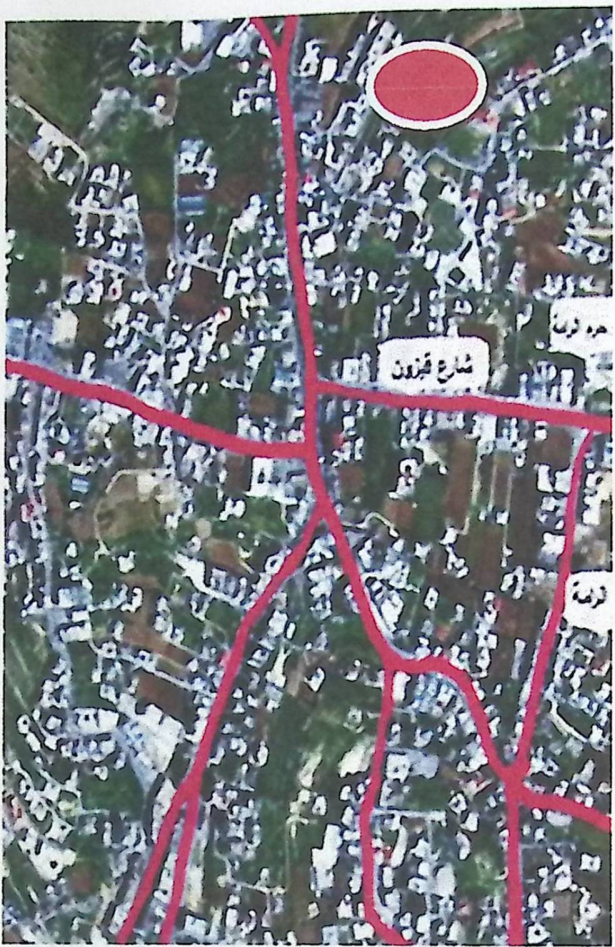
المشروع هو عبارة عن فيلا تقع في مدينة الخليل ، وصممت هذه الفيلا لتكون شاملة للمتطلبات الوظيفية المعمارية المذكورة انفا ، وقد تم الحصول على هذه المخططات من قبل دائرة الهندسة المدنية والمعمارية في جامعة بولتكنيك فلسطين ، ليتسنى لنا عمل التصميم الانساني واعداد المخططات التنفيذية لجميع العناصر الانسانية التي يشملها المبني .

يتكون المبني من ثلاثة طوابق ، بالإضافة الى طابق روف ، على مساحة قطعة ارض ٦٧٤ متر مربع .

## ٣.٢ موقع المشروع

لتصميم اي مشروع فإنه يتبع دراسة الموقع المراد البناء فيه بعناية فائقة ، مراعياً بذلك الموقع الجغرافي وتاثير الظروف المناخية السائنة في المنطقة بحيث تساند العناصر القائمة وتتالّف وتنسجم مع التصميم المقترن .

فإذاً يجب اعطاء فكرة عامة عن عناصر الموقع من توضيح لمقاسات الأرض المقترن للبناء ، وعلاقة الموقع بالشوارع والخدمات المحيطة ، ارتفاع المبني المحيط ، والصحيح مسار الشمس .



صورة (١.٢) : صورة تبين الموقع العام لقطعة الارض .

## ٤. ٢. أهمية الموقع

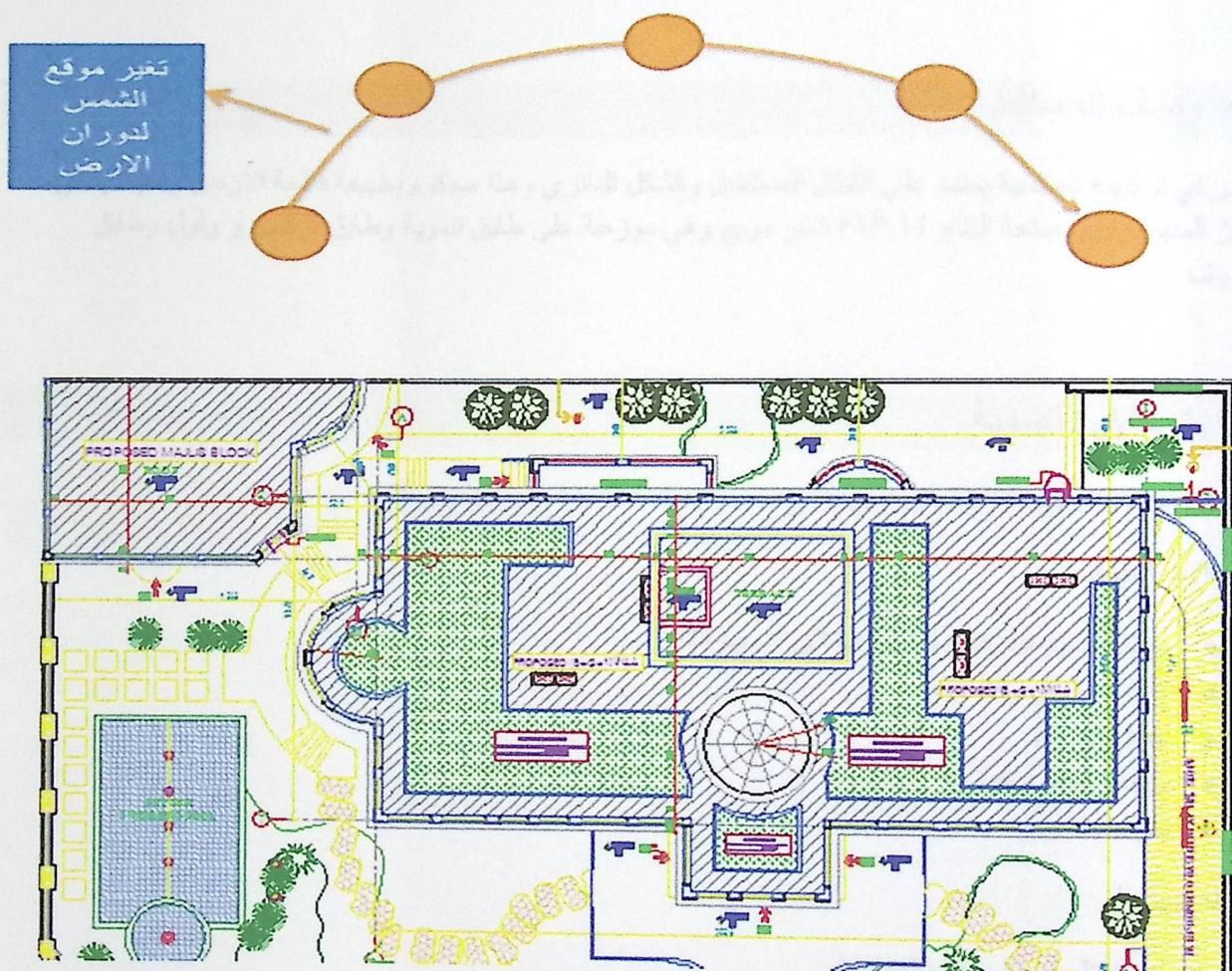
قطعة الارض تقع على الشمال من شارع قيزون ، في المنطقة القرية بئر حرمي الرامه ، ويحيط بالشارع ابنيه سكنية ومحال تجارية ، الابنية المجاورة تتكون في الغالب من طابق الى ثلاثة طوابق .

وقد تم مراعاة ما يلي في اختيار الموقع :

- ان تكون الفيلا في مكان بعيد عن ضجيج المدينة .
- مساحة قطعة الارض جميله خضراء وكافية لانشاء المشروع وما يلزم من متطلبات .
- توفر وسائل النقل والمواصلات .
- توفر ما يلزم من خدمات مثل : (كهرباء وماء ) .

## ٤.١.٢ حركة الشمس

تعتبر حركة الشمس والرياح من العوامل المهمة في تحليل المبنى ، فيجب مراعاة تأثير الشمس والرياح على المبنى ليتسنى تقسيمه إلى فراغات تتناسب و توجيه المناخي بحيث يلبي شروط التصميم المتعلقة بالتهوية والاضاءة الطبيعية .



صورة (٢.٢) : صورة تبين قطعة الأرض وموقع الشمس .

## ٤، ٢، الفاصل المعمارية

مدينة الخليل تقع الى الجنوب من الضفة الغربية محاطة بقم الجبال العالية ، وهذا ما اكسبها مقومات معينة جعلها تحكم بالبوابه الطبيعية من النقب جنوبا الى مرتفعات القدس شمالا ، وشهدت مدينة الخليل في العقود الاخيره تزايدا في عدد السكان ، وفي عدد الابنية و المنشآت ، وهذا بالإضافة الى طبيعة نشاطها الاقتصادي الذي هو في معظمها تجاري وصناعي ، مما اكسب طرازها المعماري طرازا فريدا يتماشى مع طبيعتها .

## ٥، وصف المساقط الافقية

المبني في تركيبته الهندسية يعتمد على الشكل المستطيل والشكل الدائري وهذا محکوم بطبيعة قطعة الارض و موقعها في مركز المدينة وتبلغ مساحة البناء ١٥١٣.١٤ متر مربع وهي موزعة على طابق تسوية وطابق ارضي و أول و طابق الرووف .

## ٦.١ طابق التسوية

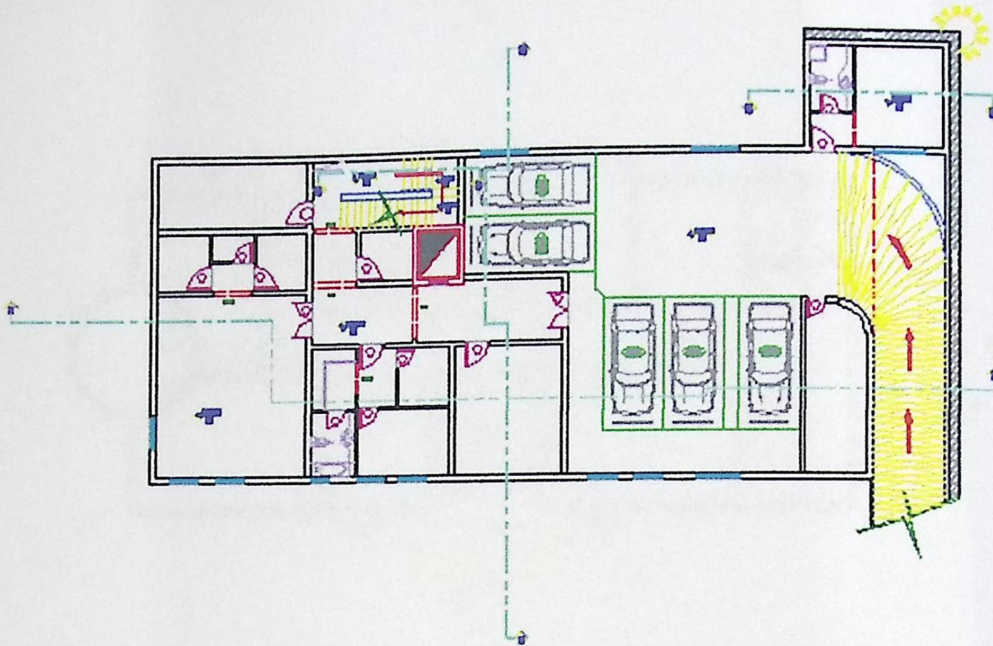
مساحة هذه الطابق هي ٦٦.٥ متر مربع .

استعمالات الطابق :

- موقف للسيارات يتسع لما يقارب الى ٥ سيارات .
- غرف للغسيل والتنظيف .
- غرفة كهرباء .
- سونا و حمام جاكوزي .
- بئر ماء .

طريقة الوصول :

- من خلال مدخل موقف السيارات .
- الدرج الداخلي .
- المصعد .



صورة (٣.٢) : مسقط طابق التسوية .

## ٥، الطابق الارضي

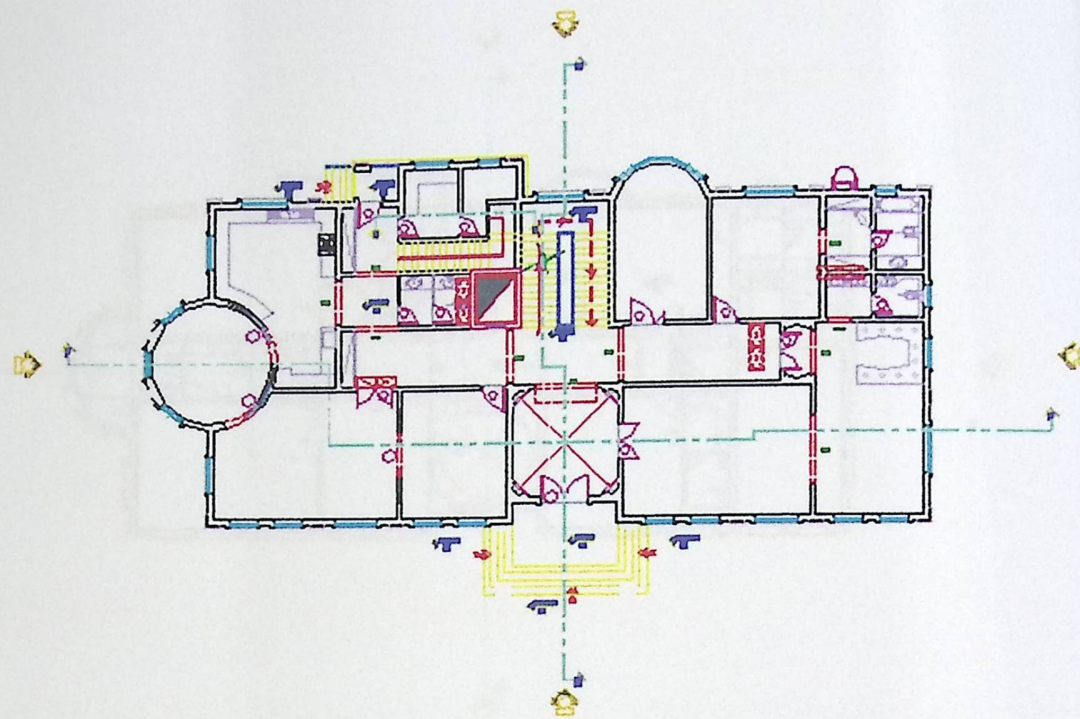
مساحة هذا الطابق  $45.17$  متر مربع .

استعمالات الطابق :

- مطبخ كبير ومطبخ اخر صغير .
- عدد من الغرف متعددة الاستعمال .
- قاعة استقبال لاستقبال الضيوف .
- مكتب وغرفة طعام كبيرة .

طريقة الوصول :

- المدخل الرئيسي
- الدرج والمصاعد من طابق التسوية .



GROUND FLOOR.

صورة (٤.٢) : مسقط الطابق الأرضي .

## ٤.٣.٥ الطابق الأول

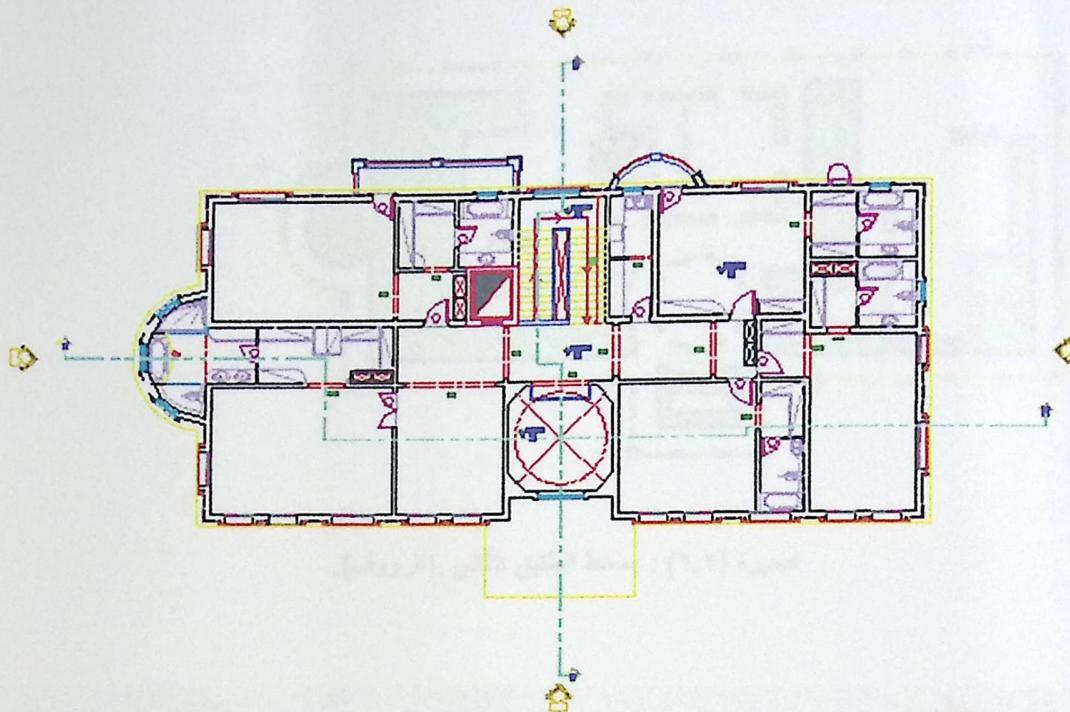
مساحة هذا الطابق ٦٧٠٥ متر مربع .

استعمالات الطابق :

- غرف متعددة الاستعمال .
- حمامات متعددة .
- مجلس للعائلة .

طريقة الوصول :

- من خلال الدرج .
- مصاعد كهربائية .



FIRST FLOOR PLAN.

صورة (٥.٢) : مسقٌط الطابق الاول .

#### ٤.٤.٥ الطابق الثاني (الرووف)

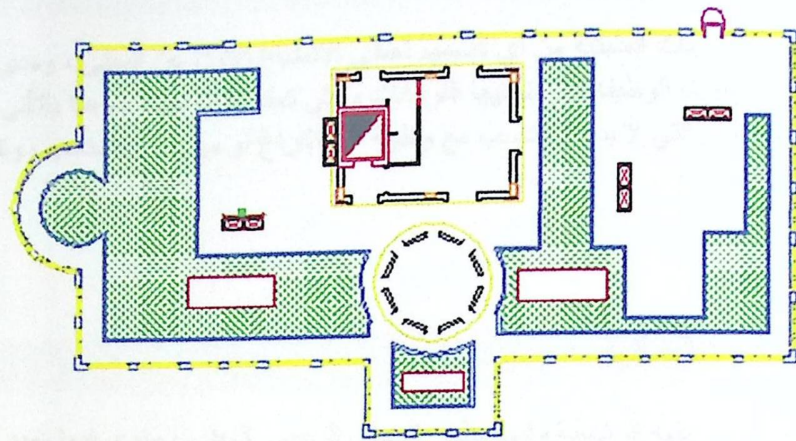
مساحة هذا الطابق ٤٦.٦٩ متر مربع .

استعمالات الطابق :

- منطقة خضراء (تراس) .
- غرفه رياضيه وخدماتها .

طريقة الوصول :

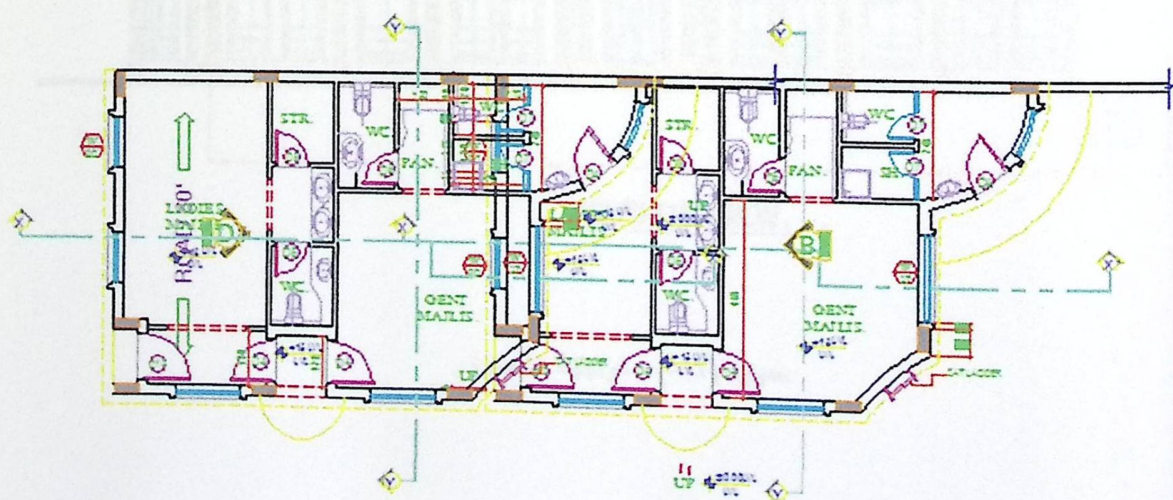
- مصاعد كهربائية
- ادراج .



صورة (٦.٢) : مسقط الطابق الثاني .(الرووف).

## ٦.٢ غرفة المجلس

غرفة المجلس تعتبر غرفه مهمه في الحياة العمليه ، حيث تستخدم لاجتماعات وتكون خارج اطار المبنى ..  
حيث تكون من صالح اجتماعات للرجال وصاله للنساء ، ويحتوي على كل مستلزمات هذه الصالات من حمامات وغيرها .



صورة (٧.٢) : مسقط غرفة المجلس.

## ٦.٢ وصف الواجهات

لا شك في ان الواجهات المنبقة من اي تصميم تعطي الانطباع الاول عن المبنى ، ومدى علاقته مع البيئة المحيطة بل وانها تظهر اختلافات الوظيفة التي تؤديها الفراغات والتي تعكسها الواجهه ، وهذا يتاتى من خلال نظام الفتحات التي تظهر في الواجهه والتي لا بد ان تتناسب مع وظيفة هذا الفراغ او من خلال المناسب وتفاوتها .

## ٦.١.٢ الواجهة الشمالية

تعد هذه الواجهه هي الواجهه الرئيسية وفيها يظهر المدخل الرئيسي للمبنى ، ونرى فيها تعدد انظمة الفتحات المستخدمة ، وهذا بدوره يعكس اختلاف الوظيفة التي تحتويها فراغات المبنى . كما نلاحظ استخدام متعدد لمواد البناء مثل : الحجارة والخرسانة والزجاج ، و ذلك لكسر الملل الذي قد يتولد لدى الناظر ، هذا بالإضافة الى ان استخدام الزجاج اضفى نوع من الحداثه من جهة ومن جهة اخرى اضفى جانب جمالي ، بالإضافة الى مساهمته في توفير جزء من الاضاءة الطبيعية .

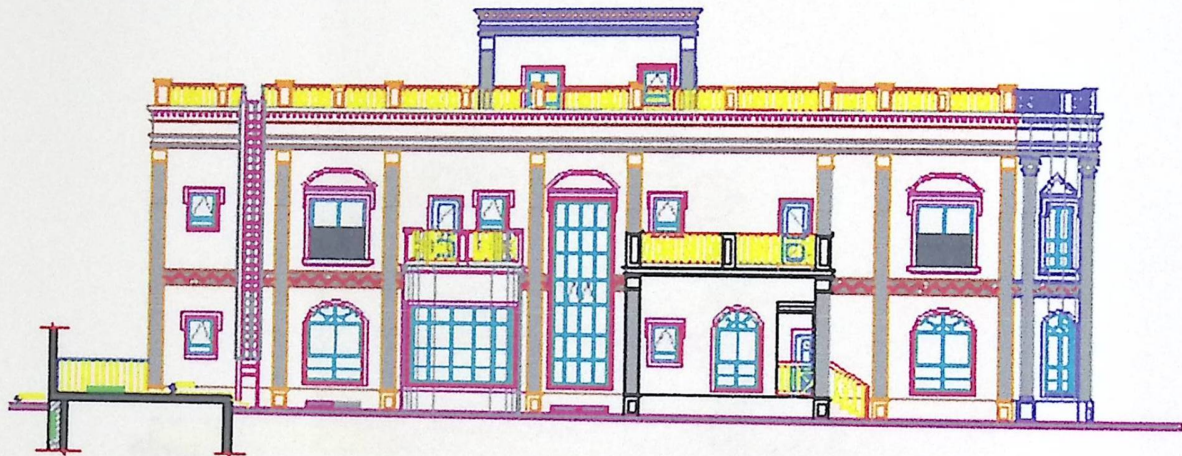


NORTH ELEVATION.

صورة (٦.٢) : الواجهة الشمالية .

## ٦.٢.٢ الواجهة الجنوبية

تعدت في هذه الواجهة ايضاً انظمة الفتحات ، هذا بالإضافة إلى اختلاف المنسوب ، وتعدد استعمالات الزجاج والالمنيوم ، التي ساهم ايضاً في كسر الملل لدى الناظر للواجهة .

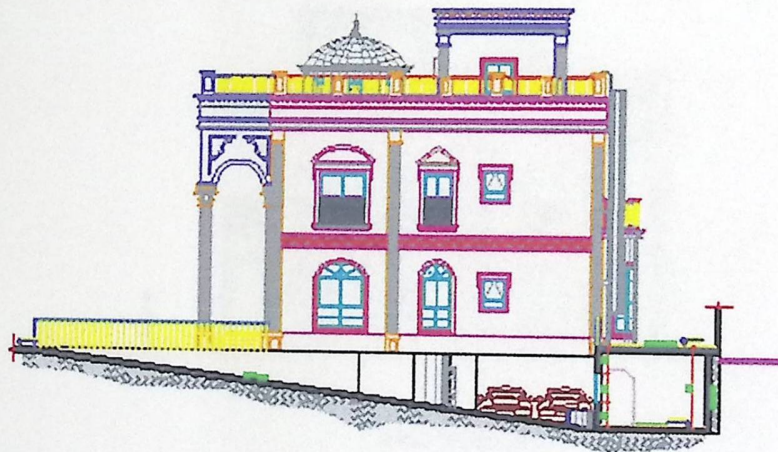


SOUTH ELEVATION.

صورة (٩.٢) : الواجهة الجنوبية .

## ٦.٣.٢ الواجهة الغربية

استعمل في هذه الواجهة الحجارة والزجاج ، وحاول استخدام اشكال متعددة من الفتحات ، واستعمال المنحنيات (Curves) ، التي تعد قصيرة بالمقارنة مع الواجهتين الشمالية والجنوبية .



WEST ELEVATION.

صورة (١٠.٢) : الواجهة الغربية .

## ٦.٤.٢ الواجهة الشرقية

استعمل في هذه الواجهة الحجارة والزجاج ، وحاول استخدام اشكال متعددة من الفتحات ، واستعمال المنحنيات (Curves) ، لاغناء واثراء الواجهة ، التي تعد قصيرة بالمقارنة مع الواجهتين الشمالية والجنوبية .



EAST ELEVATION.

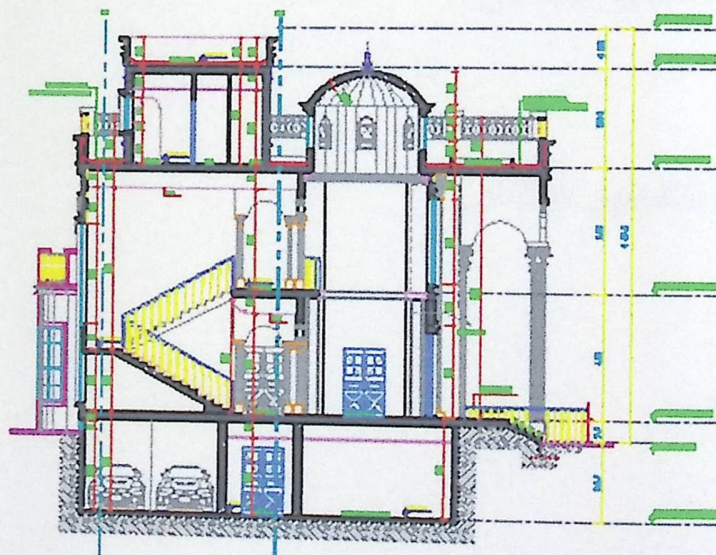
صورة (١١.٢) : الواجهة الشرقية.

## ٧.٢ وصف الحركة

تأخذ الحركة اشكالا عده ، سواء من الخارج او من الداخل ، فالحركة من الخارج الى الداخل تتم بشكل سلس نظرا لعدم وجود فرق كبير في المنسوب الخارجي للمنبى ومسوبه الداخلي (طابق الاول) .

ويمكننا الوصول للمنبى من الدرج ، وهذا بدوره يتبع حرية الدخول والخروج من والى المنبى ، اما بالنسبة للحركة داخل المنبى فنقسم الى حركة افقية داخل الطابق الواحد ، وحركة راسية ما بين الطوابق المختلفة.

فالحركة في الطابق الارضي تأخذ شكل خطى في الممرات ، بالإضافة الى الحركة الراسية بين الطوابق فانها تتم من خلال الادراج والمصاعد الكهربائية المتوفرة في اماكن متعددة في المنبى وهذا بدوره يسهل الحركة الافقية داخل الطوابق والحركة الراسية بينهما .



صورة (١٢.٢) : مقطع Y-Y يبين بعض انواع الحركة.

## الفصل الثالث

### الوصف الانشائي

3

١.٣ المقدمة.

٢.٣ هدف التصميم الانشائي .

٣.٣ مراحل التصميم الانشائي.

٤.٣ الأهمال .

٥.٣ الدراسات الجيوبقنية.

٦.٣ العناصر الانشائية.

٧.٣ البرامج الحاسوبية المستخدمة .



## ١.٣ المقدمة

بعد دراسة المشروع من الناحية المعمارية لابد من الانتقال للجانب الإنسائي لدراسة العناصر الإنسانية ووصفها وصفا دقيقا، حيث يتم دراسة طبيعة الأحمال المسلطة على المبنى وكيفية التعامل معها للخروج بتصميم إنساني يلبي جميع متطلبات الأمان ويراعي الجانب الاقتصادي للمشروع.

كما يتطلب التصميم الإنساني اختيار العناصر الإنسانية المناسبة للمشروع المراد إنشاؤه ومراعاة قابلية تتنفيذها على أرض الواقع بحيث يكون المبنى آمناً، ومحافظاً على التصاميم المعمارية.

## ٢.٣ الهدف من التصميم الانشائي

التصميم الإنساني عملية متكاملة تعتمد على بعضها البعض حيث تلبي مجموعة من الأهداف والعوامل التي من شأنها الخروج بمنشأ يحقق الهدف المرجو منه، وهذه الأهداف هي على النحو التالي:-

- ١-الأمان(Safety) : حيث يكون المبنى آمن في جميع الأحوال ومقاوم للتغيرات الطبيعية المختلفة.
- ٢- والتكلفة الاقتصادية(Economical) : وهي تحقيق أكبر قدر من الأمان للمنشأ بأقل تكلفة اقتصادية.
- ٣- ضمان كفاءة الاستخدام (Serviceability) : تجنب أي خلل في المنشأ كوجود بعض التشققات وبعض أنواع الهبوط التي من شأنها أن تضيق مستخدمي المبنى .
- ٤- الحفاظ على التصميم المعماري للمنشأ .

## ٣.٣ مراحل التصميم الانشائي

يمكن تقسيم مراحل التصميم الانشائي إلى مرحلتين رئيسيتين:

١. المرحلة الأولى: وهي الدراسة الأولية للمشروع من حيث طبيعة المشروع وحجمه، بالإضافة لفهم المشروع من جميع جوانبه المختلفة ، وتحديد مواد البناء التي سوف يتم اعتمادها للمشروع، ثم عمل التحاليل الإنسانية الأساسية لهذا النظام ، والأبعاد الأولية المتوقعة منه.
٢. المرحلة الثانية: تتمثل في التصميم الانشائي لكل جزء من أجزاء المنشآ ، بشكل مفصل ودقيق وفقاً للنظام الانشائي الذي تم اختياره وعمل التفاصيل الإنسانية الالزمة له من حيث رسم المساقط الأفقية والقطاعات الرئيسية وتفاصيل تفريغ حديد التسليح.

## ٤.٤ الأحمال

تقسم الأحمال التي يتعرض لها المبنى إلى أنواع مختلفة وهي كما يلي:-

## ٤.٤.١ الأحمال الميتة

هي الأحمال الناتجة عن الوزن الذاتي للعناصر الرئيسية التي يتكون منها المنشآ ، بصورة دائمة وثابتة، من حيث المقدار والموقع ، بالإضافة لأجزاء إضافية كالقواطع الداخلية باختلافها وأي أعمال ميكانيكية أو إضافات تتفذ بشكل دائم وثبتت في المبنى :-

ويمكن حسابها من خلال تحديد أبعاد العنصر الانشائي، وكثافات المواد المكونة له ، والجدول (٣.١) يبين الكثافات النوعية للمواد المستخدمة في المشروع .

الرقم	المادة المستخدمة	الكتافة المستخدمة KN/m <sup>3</sup>
1	المونه والبلاط	23
2	الخرسانه المسلحة	25
3	الطوب	10
4	القصارة	22
5	الرمل	16

جدول (١.٣) : جدول الكثافة النوعية للمواد المستخدمة .

#### ٤.٢.٣ الاحمال الحية

وهي الأحمال التي تتغير من حيث المقدار والموقع بصورة مستمرة كالأشخاص، الأثاث، الاجهزه ، والمعدات ، وتعتمد قيمة هذه الأحمال على طبيعة الاستخدام للمنشأ و يؤخذ عادة مقدارها من جداول خاصة في الكودات المختلفة، والجدول (٣.٢) يبين الأحمال الحية في المشروع والمحددة بالرجوع إلى الكود الأردني.

الحمل الحي (KN/m <sup>2</sup> )	الاستخدام
2.0	<p>مباني الشقق السكنية التي لا يزيد ارتفاعها عن ثلاثة طوابق ولا يزيد عدد الشقق التي يمكن الوصول إليها من خلال درج مشترك عن أربع شقق للطابق الواحد. جميع الغرف بما في ذلك غرف النوم والمطابخ وغرف الغسيل وما شابه ذلك ( All usage )</p>

جدول (٢٠.٣) : جدول الأحمال الحية لعناصر المبني .

#### ٤.٣.٣ الأحمال البيئية

وتشمل الأحمال التي تنتج بسبب التغيرات الطبيعية التي تمر على المنشآت كالثلوج والرياح وأحمال الهزات الأرضية، والأحمال الناتجة عن ضغط التربة، وهي تختلف من حيث المقدار والاتجاه ومن منطقة لأخرى، و يمكن اعتبارها جزءاً من الأحمال الحية وهي كما يلي:-

#### ٤.٣.١.٣ أحمال الرياح

عبارة عن قوى افقية تؤثر على المبني ويزداد تأثيرها في المبني بازدياد ارتفاعها . وهي القوى التي تؤثر بها الرياح على الأبنية أو المنشآت أو أجزائها، وتكون موجبة إذا كانت ناتجة عن ضغط وسالبة إذا كانت ناتجة عن شد، وتقاس بالكيلو نيوتن للمتر المربع ( $\text{KN}/\text{m}^2$ ). وتحدد أحمال الرياح اعتماداً على السرعة وارتفاع المبني عن سطح الأرض، والموقع من حيث الإحاطة من مبني سواء كانت مرتفعة أو منخفضة، والعديد من العوامل الأخرى.

#### ٤.٣.٢.٣ أحمال الثلوج

هي الأحمال التي يمكن أن يتعرض لها المنشآت بفعل تراكم الثلوج، ويمكن تقييم أحمال الثلوج اعتماداً على الأسس التالية:

- ارتفاع المنشأة عن سطح البحر.
- ميلان السطح المعرض لتساقط الثلوج.

و الجدول التالي يبين قيمة أحمال الثلوج حسب الارتفاع عن سطح البحر حسب الكود الأردني.

## الفصل الثالث

الارتفاع عن سطح البحر "h" (المتر)	احمال الثلوج (KN/m <sup>2</sup> )
$h < 250$	0
$500 > h > 250$	$(h-250)/1000$
$1500 > h > 500$	$(h-400) / 400$
$2500 > h > 1500$	$(h - 812.5) / 250$

جدول (٣.٣) : احمال الثلوج حسب الارتفاعات عن سطح البحر .

**٤.٣.٣.٣ احمال الزلازل**

تنتج الزلازل عن اهتزازات أفقية وعمودية، وذلك بسبب الحركة النسبيّة لطبقات الأرض الصخرية، فتتّجّع عنها قوى قص تؤثّر على المنشآت، ويجب أن تؤخذ هذه الأحمال بعين الاعتبار عند التصميم بحيث تصمّم على القوّة الاقعية وذلك لضمان مقاومة المبني للزلازل في حال حدثت ، وبالتالي التقليل من الأضرار المحتملة نتيجة حدوث الزلازل.

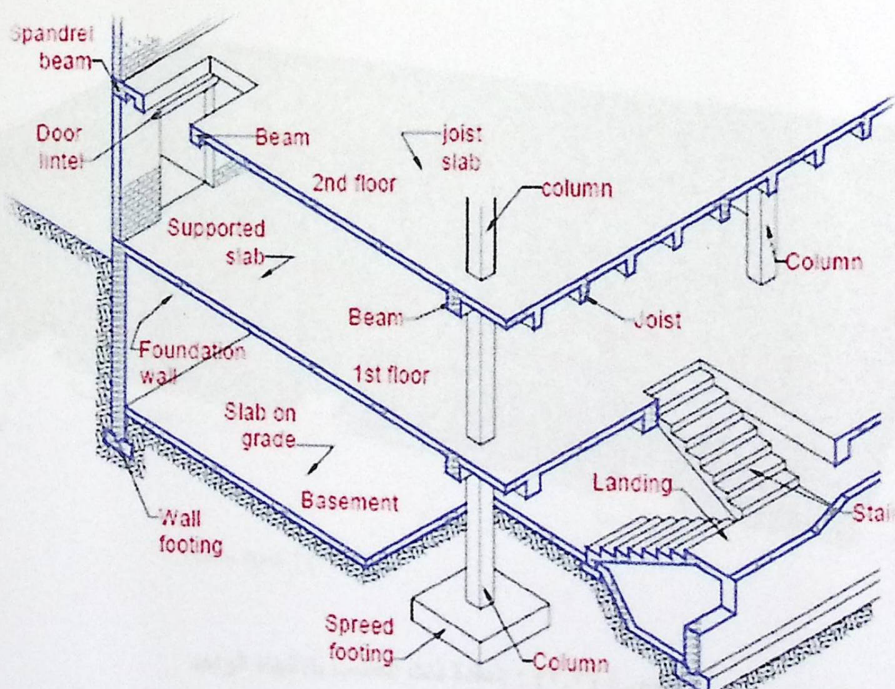
وسينتمي التعامل معها في هذا المشروع عن طريق جدران القص الموزعة في المبني بناءً على الحسابات الإنسانية لها.

## ٦.٣ الدراسات الجيوتقنية

يسبق الدراسة الإنسانية لأي مبنى ، عمل الدراسات الجيوتقنية للموقع، ويعنى بها جميع الأعمال التي لها علاقة باستكشاف الموقع ودراسة التربة والصخور والمياه الجوفية ، وتحليل المعلومات وترجمتها للتبؤ بطريقة تصرف التربة ، عند (البناء عليها)، وأكثر ما يهتم به المهندس الإنسائي هو الحصول على قوة تحمل التربة (Bearing Capacity) اللازمة لتصميم أساسات المبني.

## ٦.٣ العناصر الانشائية

ت تكون المبني عادةً من مجموعة عناصر إنسانية تتقاطع مع بعضها لتقاوم الأحمال الواقعة على البناء، وتشمل: العقدات، والجسور، والأعمدة، وجدران القص، والأدراج، والأساسات.



صورة (١.٣) : توضيح لبعض العناصر الانشائية للمبني .

و يحتوي المشروع العناصر التالية :

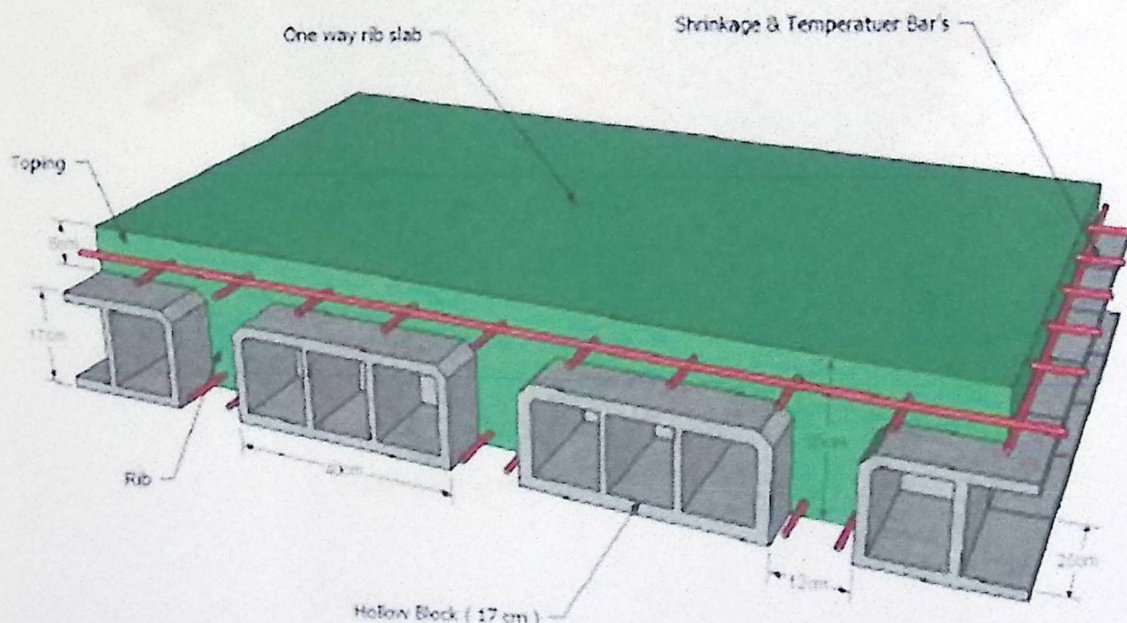
### ٦.١.٣ العقدات

نظراً لوجود العديد من الفعاليات المختلفة في المبني و مراعاه للمتطلبات المعمارية فإنه سيتم استخدام أنواع العقدات التالية في المشروع:

١. عقدات العصب ذات الاتجاه الواحد (One way ribbed slab).
٢. عقدات العصب ذات الاتجاهين (Two way ribbed slab).
٣. العقدات المصمتة ذات الاتجاهين (Two way solid slab).

### ٦.١.٣.١ عقدة العصب الواحد ذات الاتجاه الواحد (One way ribbed slab)

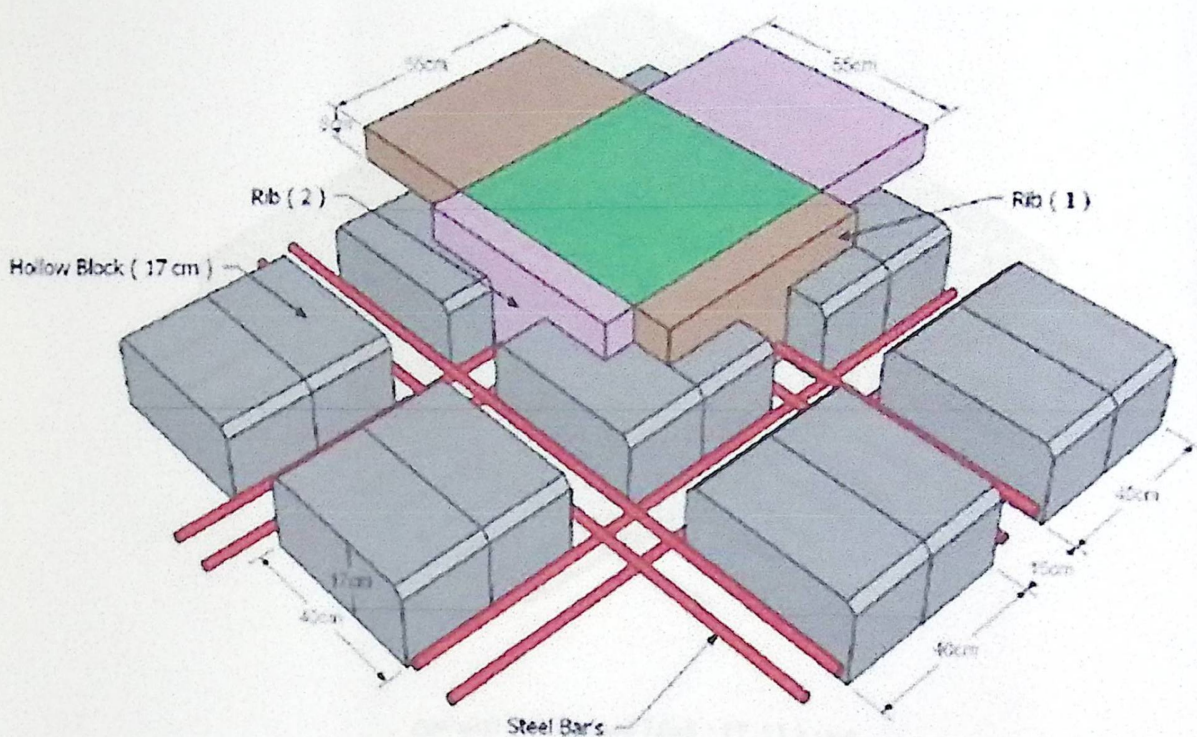
إحدى أشهر الطرق المستخدمة في تصميم العقدات في هذه البلاد وتكون من صنف من الطوب يليها العصب، ويكون التسلیح باتجاه واحد كما هو مبين في الشكل (٢.٣).



صورة (٢.٣) : العقدة ذات العصب بالاتجاه الواحد .

### ٦.١.٢.٣ عقدة العصب ذات الاتجاهين (Two way ribbed slab)

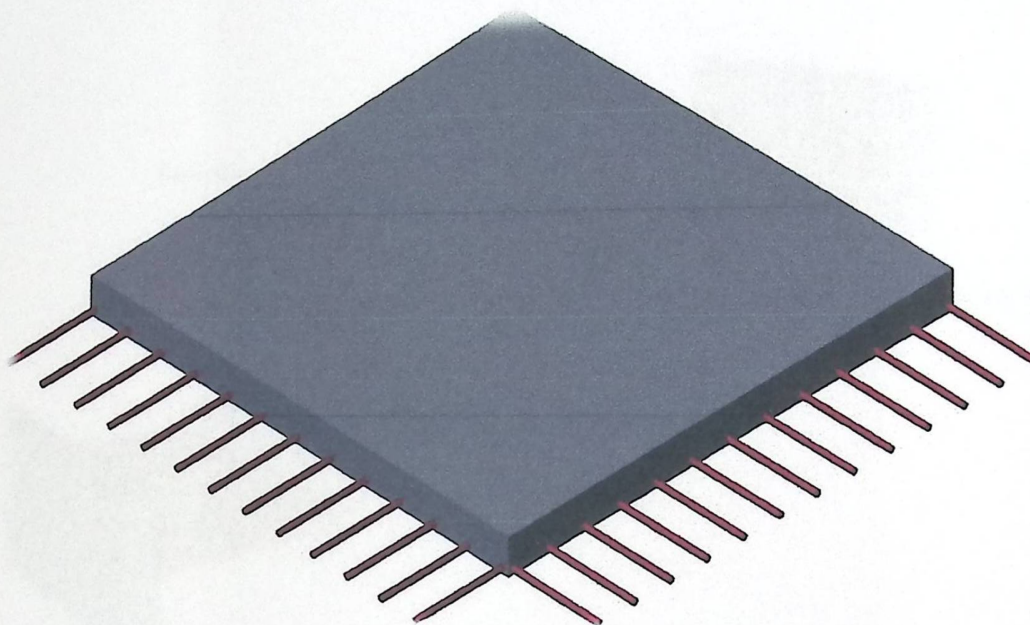
تشبه السابقة من حيث المكونات ولكنها تختلف من حيث كون التسلیح باتجاهين ويتم توزيع الحمل في جميع الاتجاهات، ويراعى عند حساب وزنها طوبتين وعصب في الاتجاهين، كما يظهر في الشكل (٣.٣) :



صورة (٣.٣) : العقدة ذات العصب بالاتجاهين .

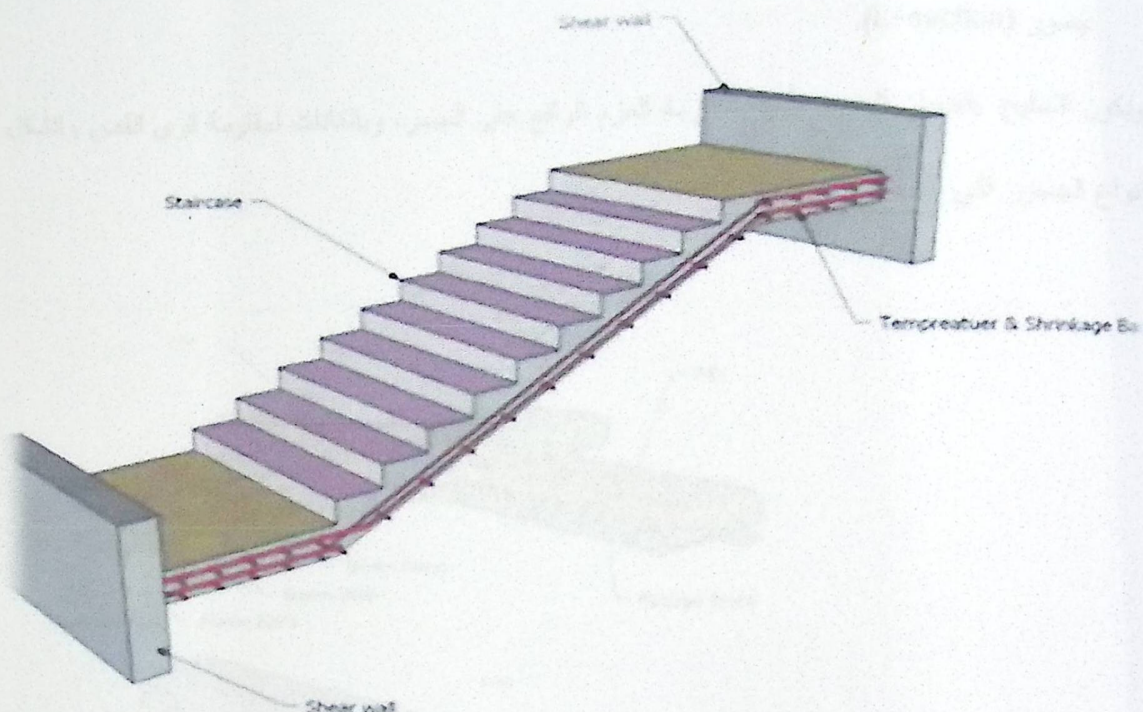
### ٦.٣.٣ العقدات المصمتة ذات الاتجاهين (Two way solid slab)

تستخدم في حال كانت الأحمال المؤثرة أكبر من المقدار الذي تستطيع العقدة المصمتة ذات الاتجاه الواحد مقاومتها، وعند ذلك يتم اللجوء إلى تصميم هذا النوع من العقدات و ذلك لأنها تستطيع مقاومة الأحمال بشكل أكبر حيث يوزع التسليح الرئيسي فيها باتجاهين موضحه في الشكل (٤-٣).



صورة (٤) : العقدة المصمتة ذات الاتجاهين .

الأدراج عنصر معماري يوجد في المباني للانتقال بين مستويين في نفس الطابق أو بين عدد من الطوابق عبر المبنى، ويتم عادةً تصميم الدرج إنشائياً باعتباره عقدة مصممة في اتجاه واحد الشكل (٥-٣).



صورة (٣.٥) : الدرج .

وهي عناصر أساسية في المبني تقوم بنقل الأحمال الواقعة على الأعصاب إلى الأعمدة، حيث تقسم إلى:

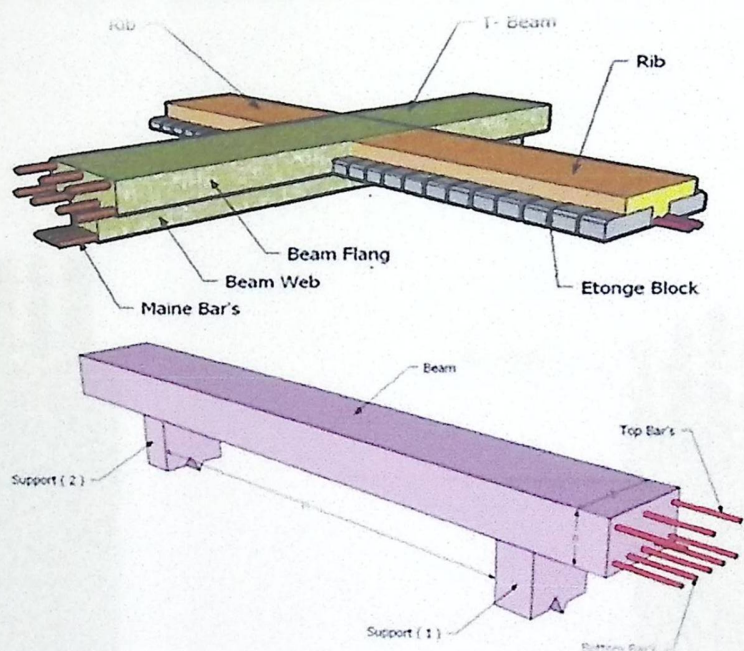
-١ جسور مسحورة.

-٢ وجسور متذليلة (T-section).

-٣ جسور (L-section).

ويكون التسلیح بقضبان الحديد الأفقيه لمقاومة العزم الواقع على الجسر، وبالکانات لمقاومة قوى القص والشكل (٦-٣)

يبين أنواع الجسور التي استخدمت في المشروع.



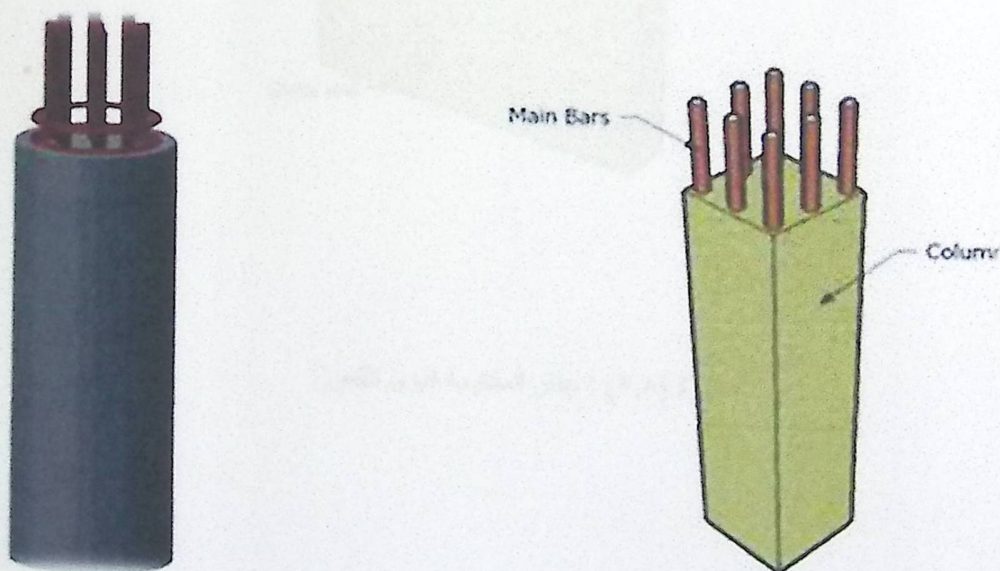
صورة (٦.٣) : أنواع الجسور المستخدمة في المشروع .

هي عنصر أساسى ورئيسى في المنشأ ، حيث تنتقل الأحمال من العقدة إلى الجسور ، وتنتقلها الجسور بدورها إلى الأعمدة ، ثم إلى أساسات المبنى، لذلك فهي عنصر وسطي وأساسى، فيجب تصميمها بحرص لتكون قادرة على نقل وتوزيع الأحمال الواقعة عليها، والأعمدة نوعين من حيث التعامل معها في التصميم الإنشائي:

- ١ الأعمدة القصيرة (short column).
- ٢ الأعمدة الطويلة (long column).

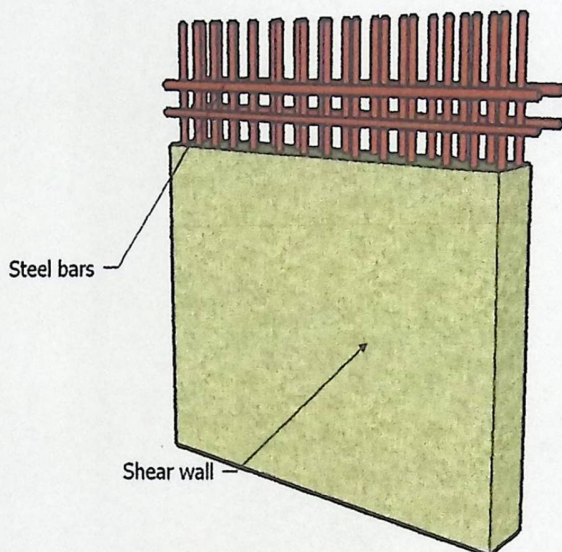
أما من حيث الشكل المعماري أو المقطع الهندسي:

منها المستطيل والدائري، والمربع ، والمشروع يحتوي على نوعين من الأعمدة هما المستطيلة والدائيرية كما في الشكل (٣) .(٧)



صورة (٣.٧) : انواع الاعمده المستخدمه في المشروع .

هي الجدران التي تحيط بيت الدرج، وجدران المصاعد، وأحياناً في بعض المناطق في المبنى حسب ما تقتضي الحاجة ، ووظيفة جدران القص مقاومة قوى القص الأفقية التي قد يتعرض لها المنشأ نتيجة لأحمال الزلزال والرياح إضافة إلى كونها جدران حاملة، ويراعى توفرها في اتجاهين متتعامدين في المبنى لتوفير ثبات كامل للمبنى والشكل التالي يبين جدار قص مسلح (الشكل ٨-٣).



صورة (٣.٨) : جدار المقاومة لقوى القص .

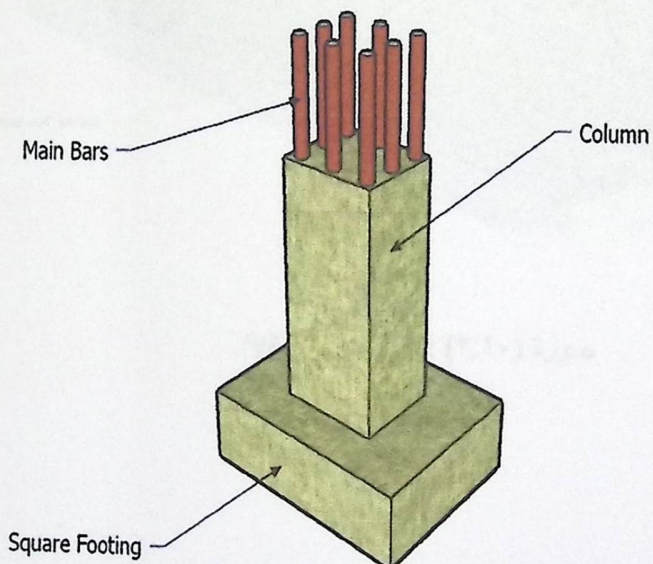
الأساسات هي أول ما يبدأ بتنفيذها عند بناء المنشآت، إلا أن تصميمها يتم بعد الانتهاء من تصميم كافة العناصر الإنسانية في المبني، حيث تقوم الأساسات بنقل الأحمال من الأعمدة والجدران الحاملة إلى التربة على شكل قوة ضغط، وهي على عدة أنواع كما يلي:-

-١ أساسات منفصلة (Isolated)

-٢ أساسات مزدوجة (Combined)

-٣ أساسات شريطية (Strip).

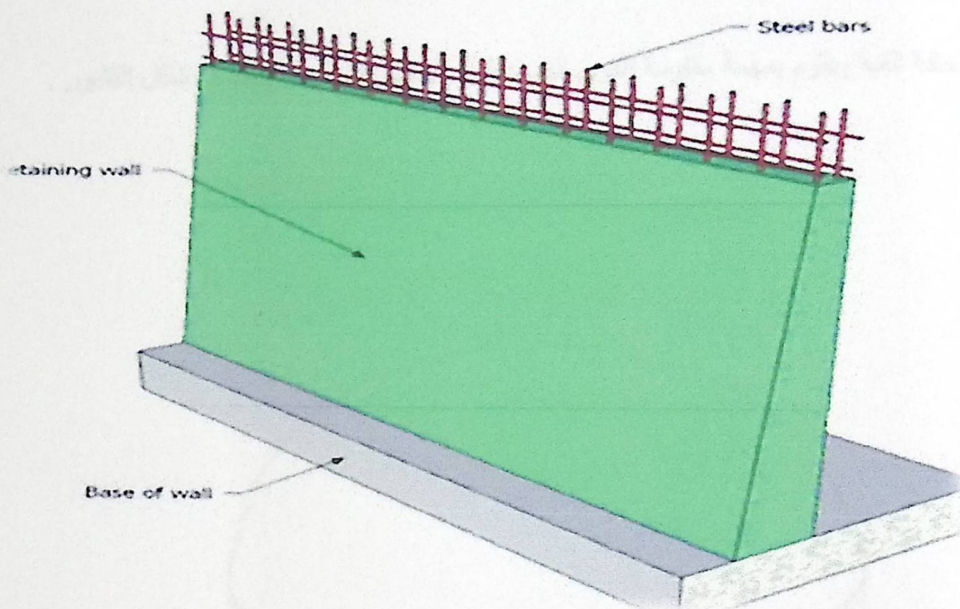
وسوف يتم استخدام أساسات من أنواع مختلفة وذلك تبعاً لنوع التربة وقوتها تحملها والأحمال الواقعة عليها.



صورة (٣.٩) : الأساسات .

## ٦.٧.٣ الجدران الاستنادية

نظراً لوجود مناسبات مختلفة في موقع المشروع وقطعة الأرض، فكان لابد من عمل جدران استنادية تعمل على تحديد مناسب موقع المشروع، وتمنع أي انزلاق في الموقع حيث تصمم وتتفذ الجدران الاستنادية على أسس ومعايير يحددها الكود الأمريكي كما في الشكل (١٠-٣).



صورة (٣.١٠) : الجدران الاستنادية .

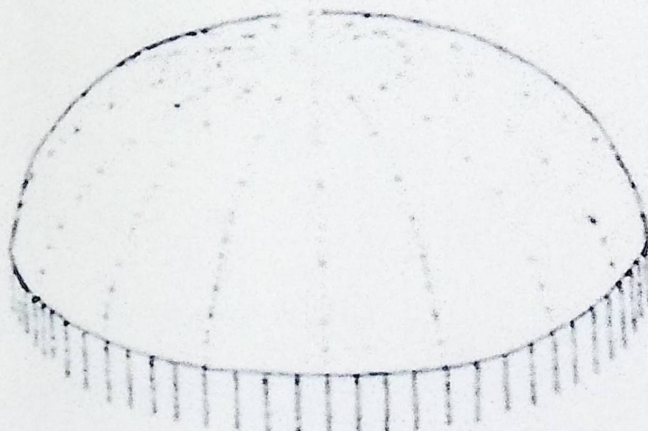
## ٦.٨.٣ القبة القشرية (shell structure)

تستخدم القبة القشرية لتغطية البحور الواسعة دون الحاجة لوجود أعمدة داخلها ( مثل المساجد وصالات المعارض ..... الخ ) .

القبة يمكن أن تكون من الخرسانة أو المعدن أو الخشب ، قوى الرياح التي تتعرض لها القبة الخرسانية لا تمثل خطورة لها ولكن قد يظهر تأثيرها عند تعرض القبة ذات الإطارات المعدنية أو الخشبية لها ، ذلك بسبب وجود فرق بين السلوك الإنساني للمواد المشيدة منها هذه القباب .

يوجد جسر دائري عند حافة القبة ويقوم بمهام مقاومة القوى العمودية أو الأفقية التي قد تنتج حسب شكل القشور .

كما في الشكل (١١-٣)



صورة (٣.١١) : الجدران الاستنادية .

٧.٣ برامج الحاسوب التي تم استخدامها

- |    |   |
|----|---|
| .١ | .AutoCAD (2007) for Drawings Structural and Architectural |
| .٢ | .Microsoft Office (2010) For Text Edition                 |
| .٣ | .Atir Software for Structural Calculations                |
| .٤ | .BeamD, safe,Etabs&Sap                                    |

# **Chapter Four**

## **Structural Analysis & Design**

### **4**

- 4-1 Introduction.**
- 4-2 Determination of Slab Thickness.**
- 4-3 Determination of Factored Load of ribs**
- 4-4 Design of topping.**
- 4-5 Design of Rib.**
- 4-6 Design of Beam.**
- 4-7 Design of two way ribbed slab .**
- 4-8 Design of two way solid slab.**
- 4-9 Design of stairs.**
- 4-10 Design of basement wall .`**
- 4-11 Design of Retaining wall.**
- 4-12 Design of Shear wall .**
- 4-13 Design of column.**
- 4-14 Design of Isolated footing .**
- 4-15 Design of shell spherical.**

#### **4-1 Introduction.**

In This Project, there are three types of slabs : solid slab , one-way ribbed and two-way ribbed slabs. They would be analyzed and designed by using finite element programs of such as " BeamD, safe & Etabs" to find the internal forces, deflections and moments for ribbed slabs, and then hand calculation would be made to be find the required steel for some members .

The design strength provided by a member, its connections to other member, and its cross-sections in terms of flexure, and load, shear, and torsion is taken as the nominal strength calculated in accordance with the requirements and assumptions of ACI-code .

## 4.2 Determination of Slab Thickness:-

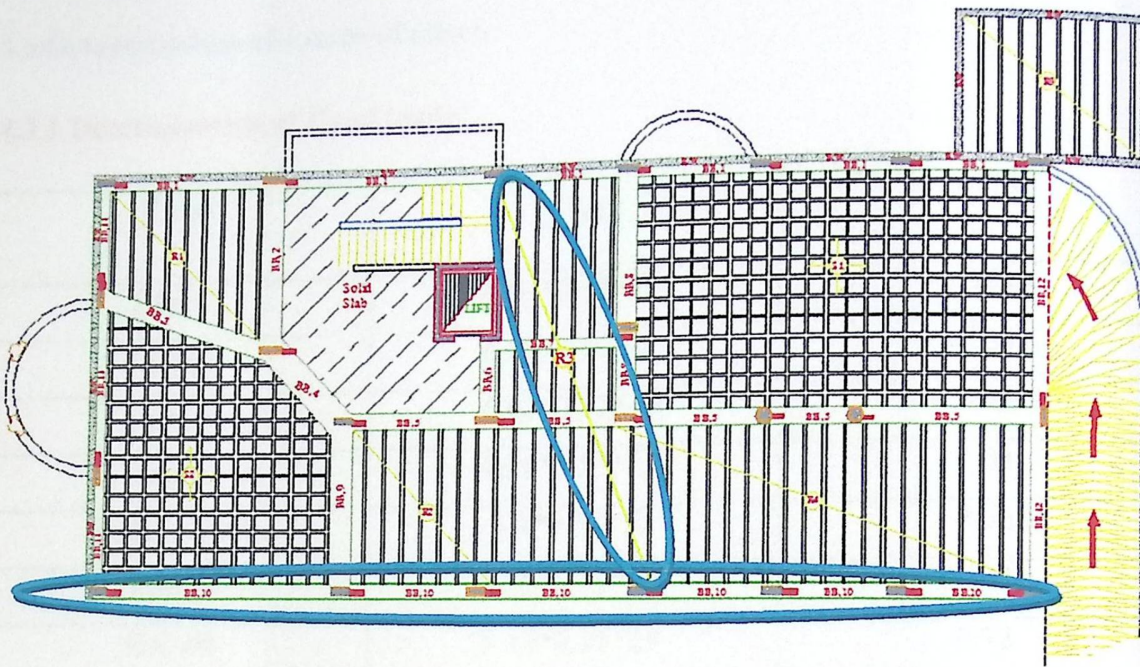


Figure (4-1): Rib(3) Basement floor slab

According to ACI-Code-318-05, the minimum thickness of nonprestressed beams or one way slabs unless deflections are computed as follow:

$$h_{\min} \text{ for one-end continuous} = L/18.5$$

$$= 550/18.5 = 29.729 \text{ cm.}$$

$$h_{\min} \text{ for both-end continuous} = L/21$$

$$= 240/21 = 11.4285 \text{ cm}$$

$$h_{\min} \text{ for simple beam} = L/16$$

$$= 445/16 = 27.8125 \text{ cm}$$

The controller slab thickness is 29.729 cm.

Select Slab thickness  $h = 32 \text{ cm}$  with block 24 cm & Topping 8cm.

### 4.3 Determination of Loads of ribs :-

#### 4.3.1 Determination of Dead load:-

Type	$\square \text{ b h}$	KN/m
Tiles	$0.03*0.52*23$	0.3588
Mortar	$0.02*0.52*22$	0.2288
Sand	$0.07*0.52*16$	0.59696
Topping	$0.08*0.52*25$	1.04
Hollow block	$0.4*0.24*10$	0.96
Plaster	$0.03*0.52*22$	0.3432
R.C rib	$0.12*0.24*25$	0.72
Partitions	$2.38*0.52$	1.2376
<b>Sum</b>		<b>5.4853</b>

#### 4.3.1 Determination of live load:-

Nominal Total live load =  $2 * 0.52 = 1.04 \text{ kN/m}$  of rib

#### 4.3.2 Determination of factored dead & live load

Factored dead load =  $1.2 * \text{Dead load} = 1.2 * 5.4853 = 6.58236 \text{ KN/m}$ .

Factored Live load =  $1.6 * \text{live load} = 1.6 * 1.04 = 1.664 \text{ KN/m}$

## 4.4 Design of Topping:-

## Determination of dead load of topping

Type	$\square b h$	KN/m
Tiles	0.03*1*23	0.69
Mortar	0.02*1*22	0.44
Sand	0.07*16*1	1.148
Topping	0.08*1*25	2
Partitions	2.38*1	2.38
Sum		6.658

Live Load = 2 KN/m.

$$q_u = 1.2 \text{ DL} + 1.6 \text{ LL}$$

$$= 1.2 * 6.658 + 1.6 * 2 = 11.1896 \text{ KN/m. (Total Factored Load)}$$

$$\rightarrow Mu = \frac{q_u * l^2}{12} = 11.1896 * 0.4^2 / 12 \\ = 0.149 \text{ KN.m.}$$

$$\rightarrow Mn = 0.42 \sqrt{fc'} * \frac{bh^2}{6} \\ = 0.42 \sqrt{24} * \frac{1000 * 80^2}{6} = 2.19 \text{ KN.m.}$$

$$\rightarrow \phi * Mn = 0.55 * 2.19 = 1.2 \text{ KN.m.} \\ \phi * Mn = 1.2 > Mu = 0.149 \text{ KN.m. OK!}$$

No structural reinforcement is needed. Therefore, shrinkage and temperature reinforcement must be provided.

For the shrinkage and temperature reinforcement:

$$\rho = 0.0018$$

$$As = \rho * b * h = 0.0018 * 1000 * 80 = 144 \text{ mm}^2 / \text{1m.}$$

$$n = As/100 = 144/50 = 3 \text{ bars}$$

$$S = 1000/3 = 300 \text{ mm}$$

$$S = 3 h = 3 * 80 = 240 \text{ mm (control)}$$

$$S = 450 \text{ mm}$$

$$S = 300 * 280 / fs - 2.5 C_c = 300 * 280 * 3 / 2 * 420 - 2.5 * 20 = 250 \text{ mm}$$

$$S = 300 * 280 / fs = 300 * 280 * 3 / 2 * 420 = 300 \text{ mm}$$

Use  $S = 200 \text{ mm} < S_{\max} = 240 \text{ mm}$

Use  $\Phi 8 @ 20 \text{ cm c/c}$  in both directions.

#### 4.5 Design of Rib3 :-

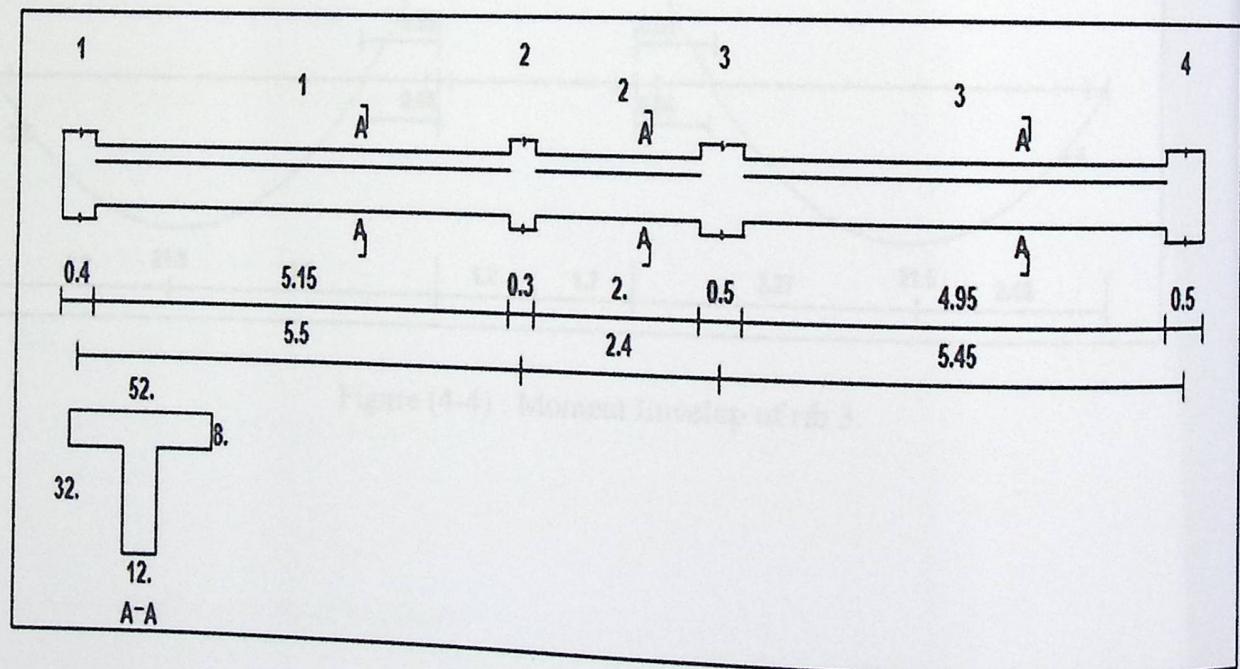


Figure (4-2): Rib3 geometry.

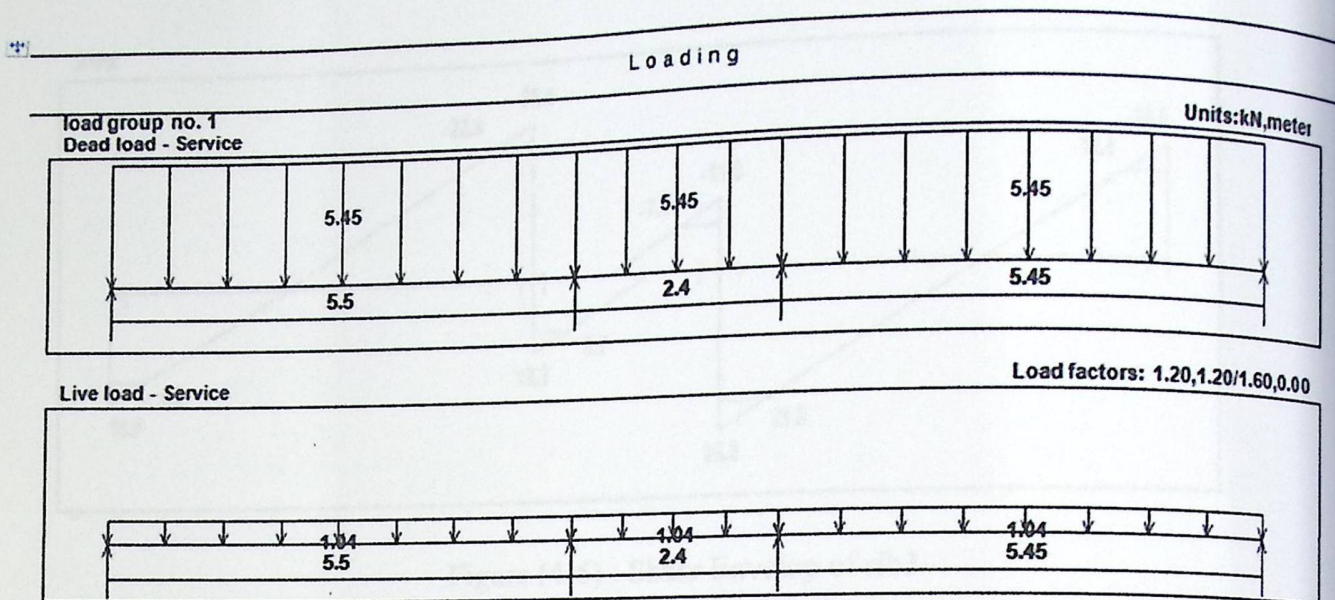


Figure (4-3) : loading of Rib 3

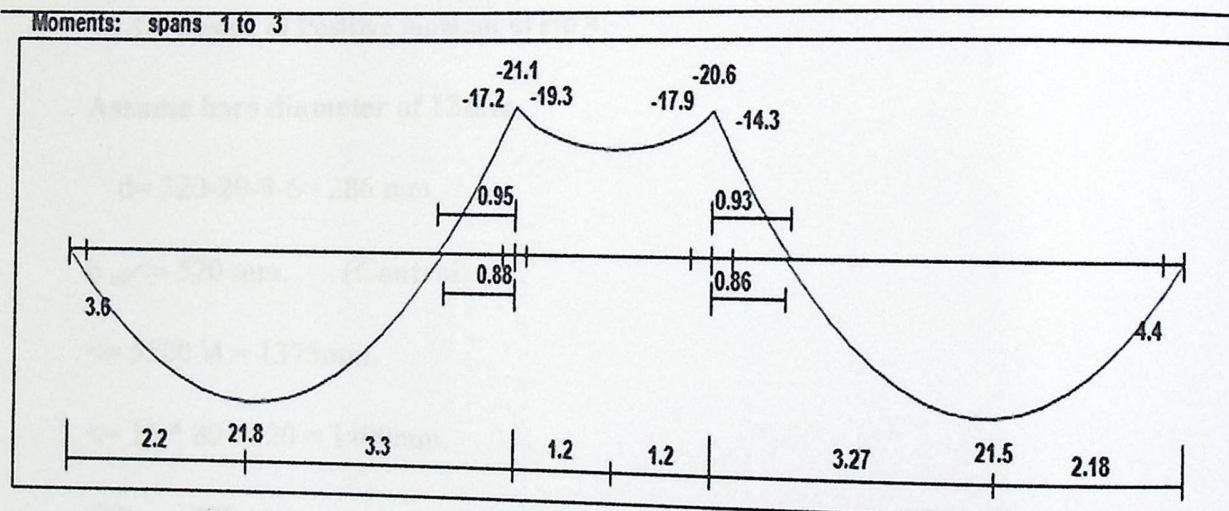


Figure (4-4) : Moment Envelop of rib 3.

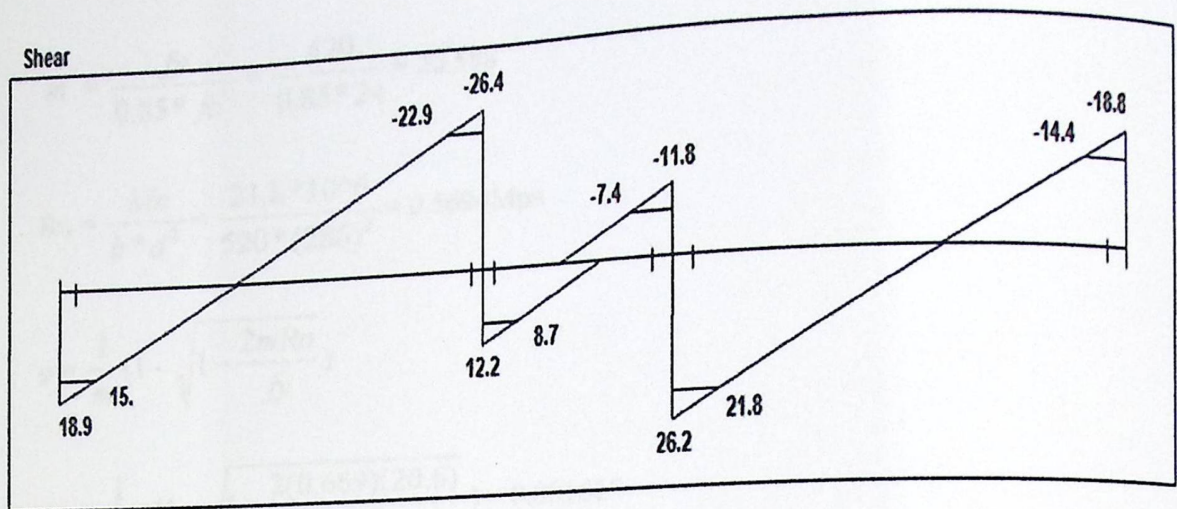
Chapter 4:

Figure (4-5) : Shear Envelop of rib3.

**4.5.1 Design of flexure:-****4.5.1.1 Design of Positive moment of rib 4:-****Assume bars diameter of 12mm**

$$d = 320 - 20 - 8 - 6 = 286 \text{ mm.}$$

$$b_{\text{eff}} \leq 520 \text{ mm. } (\text{Control})$$

$$\leq 5500 \sqrt{4} = 1375 \text{ mm.}$$

$$\leq 16 * 80 + 120 = 1400 \text{ mm.}$$

$$\rightarrow b_{\text{eff}} = 520 \text{ mm.}$$

$$\phi * M_{nf} = 0.9 * 0.85 * 24 * 0.08 * 0.52 * (0.286 - 0.08 / 2) * 1000 = 187.9 \text{ KN.m.}$$

$$\phi * M_n > m_u$$

$$187.9 > 21.8$$

$\rightarrow$  Rectangular section. ( $b=520 \text{ mm}$ )

Maximum positive moments  $M_u = 21.8 \text{ kN.m} \rightarrow \text{Span (3)}$   
 $M_n = 21.8 / 0.9 = 24.22 \text{ KN.m}$

Chapter 4:

$$m = \frac{f_y}{0.85 * f_{c'}} = \frac{420}{0.85 * 24} = 20.588$$

$$R_n = \frac{Mn}{b * d^2} = \frac{21.8 * 10^6}{520 * (286)^2} = 0.5694 \text{ MPa}$$

$$\rho = \frac{1}{m} \left( 1 - \sqrt{1 - \frac{2mR_n}{f_y}} \right)$$

$$\rho = \frac{1}{20.6} \left( 1 - \sqrt{1 - \frac{2(0.669)(20.6)}{420}} \right) = 0.001619$$

$$A_s = 0.001619(520)(286) = 240.8 \text{ mm}^2$$

$$A_{s\min} = \frac{\sqrt{f_{c'}}}{4(f_y)} (bw)(d) \geq \frac{1.4}{f_y} (bw)(d) \dots \dots \dots (ACI - 10.5.1)$$

$$A_{s\min} = \frac{\sqrt{24}}{4(420)} (120)(286) \geq \frac{1.4}{420} (120)(286)$$

$$A_{s\min} = 100.08 < 114.4$$

$$A_{s\min} = 114.4 \text{ mm}^2$$

$$240.8 \text{ mm}^2 > A_{s\min} = 114.4 \text{ mm}^2$$

$$\# \text{ of bars} = A_s / A_{s\bar{b}ar} = 240.8 / 153.86 = 2 \text{ bars}$$

\* Note  $A_{\Phi 14} = 153.86 \text{ mm}^2$

Select 2  $\Phi 14 \text{ mm}$ .

- Check for strain :

Tension = compression

$$A_s * f_y = 0.85 * f_{c'} * b * a$$

Chapter 4:

$$307.786 * 420 = 0.85 * 520 * 24 * a$$

$$a = 12.1896 \text{ mm}$$

$$c = \frac{a}{\beta_1} = \frac{12.1896}{0.85} = 14.34 \text{ mm}$$

$$\varepsilon_s = \frac{286 - 14.34}{14.34} \times 0.003$$

$$\varepsilon_s = 0.0568 > 0.005 \quad \text{OK}$$

**4.5.1.2 Design of Negative moment of rib 3:**

1) Maximum negative moment  $M_u = 19.3 \text{ KN.m}$

$$M_n = 19.3 / 0.9 = 21.44 \text{ KN.m}$$

$$m = \frac{f_y}{0.85 * f_{c'}} = \frac{420}{0.85 * 24} = 20.588$$

$$R_n = \frac{M_n}{b * d^2} = \frac{21.44 * 10^6}{120 * (286)^2} = 2.1847 \text{ MPa}$$

$$\rho = \frac{1}{m} \left( 1 - \sqrt{1 - \frac{2mR_n}{f_y}} \right)$$

$$\rho = \frac{1}{20.588} \left( 1 - \sqrt{1 - \frac{2(2.1847)(20.588)}{420}} \right) = 0.005515$$

$$A_s = 0.005515 (120) (286) = 189.275 \text{ mm}^2$$

$$A_{s_{\min}} = \frac{\sqrt{f_{c'}}}{4(f_y)} (bw)(d) \geq \frac{1.4}{f_y} (bw)(d)$$

$$A_{s_{\min}} = \frac{\sqrt{24}}{4(420)} (120)(286) \geq \frac{1.4}{420} (120)(286)$$

Chapter 4:

$$A_s_{\min} = 100.08 < 114.4$$

$$A_s_{\min} = 114.4 \text{ mm}^2$$

$$189.275 \text{ mm}^2 > A_s_{\min} = 114.4 \text{ mm}^2$$

$$\# \text{ of bars} = A_s_{\min} / A_s_{\text{bar}} = 189.275 / 113.1 = 2 \text{ bars}$$

Select 2  $\Phi 12 \text{ mm}$ .

- Check for strain :

Tension = compression

$$A_s * f_y = 0.85 * f_{c'} * b * a$$

$$226.2 * 420 = 0.85 * 120 * 24 * a$$

$$a = 38.8079 \text{ mm}$$

$$c = \frac{a}{\beta_1} = \frac{38.8079}{0.85} = 45.656 \text{ mm}$$

$$\varepsilon_s = \frac{286 - 45.656}{45.656} \times 0.003$$

$$\varepsilon_s = 0.01579 > 0.005$$

OK

#### 4.5.2 Design of shear of rib 3 :

1)  $V_{ud} = 22.9 \text{ KN} \rightarrow \text{at Support 2}$

$$\Phi V_c = \Phi * \frac{\sqrt{f_{c'}}}{6} b_w * d$$

$$= 0.75 * \frac{\sqrt{24}}{6} 120 * 0.286$$

$$= 21.0166 \text{ KN}$$

$$1.1 * \Phi V_c = 1.1 * 21.0166 = 23.118 \text{ KN.}$$

$\Phi V_{nmax} = 5 \Phi V_c = 105.083 > V_u = 22.9$  The Section is large enough

Chapter 4:

Check for items:-

$$V_s = V_n - V_c = (22.9/.75) - 30.824 = 5.303 \text{ KN}$$

$$\Phi V_{smin} \geq 0.75 \left(\frac{1}{3}\right) * bw * d = 0.75 * \left(\frac{1}{3}\right) * 120 * 0.286 = 8.58 \text{ KN. (control)}$$

$$\geq 0.75 \left(\frac{\sqrt{24}}{16}\right) * bw * d = 0.75 * \frac{\sqrt{24}}{16} * 0.286 * 120 = 7.88 \text{ KN}$$

$$\Phi V_{smin} = 8.58 \text{ KN.}$$

$$\Phi V_c \leq V_u \leq \Phi V_c + \Phi V_{smin}$$

$$\Phi V_c = 21.02 \leq V_u = 25.3 < (\Phi V_c + \Phi V_{smin}) = 29.6 \quad \text{Ok}$$

So item, 3 satisfy

$$S = d/2 = 286/2 = 143 \text{ mm} \quad (\text{control})$$

$$S = 600 \text{ mm}$$

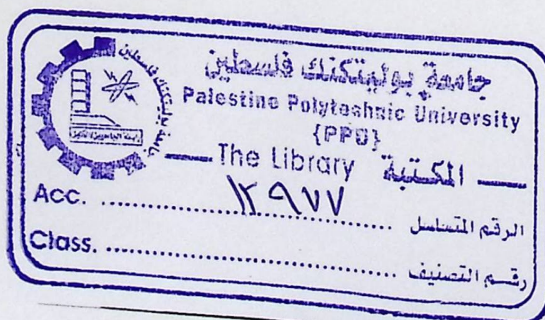
$$\text{Take } A_v = 2 \Phi 8 = 2 * 50 = 100 \text{ mm}^2$$

$$A_v / s = V_s / f_y * d$$

$$2 * 50 / s = 5.303 * 1000 / (286 * 420) \rightarrow s = 2265 \text{ mm}$$

$$\text{Take } S = 150 \text{ mm}$$

Use 2  $\Phi 8$  @ 15 cm c/c.



Chapter 4:4.6 Design of Beam: → Beam (BB,10)**Determination of Dead load of beam:- (From Rib Two Way (S2))**

Total dead load from S2 = 53.3KN (from safe pro.)

Total live load from S2 = 4.77KN (from safe pro.)

Own weight wall =  $25 * 0.25 * 4.2 = 26.25 \text{ KN/m}$

RC wall =  $0.25 * 3.725 * 24 = 22.35 \text{ KN/m}$

**Determination of Dead load of beam:- (From Rib One Way (R3))**

Reaction From Rib2 / 0.52 =

$13.58 / 0.52 = 26.12 \text{ KN/m}$

**Determination of live load of beam:-**

Total live load from S2 = 4.77KN (from safe pro.)

From Rib one way (R3) =  $2.57 / 0.52 = 4.94 \text{ KN/m}$

Chapter 4:

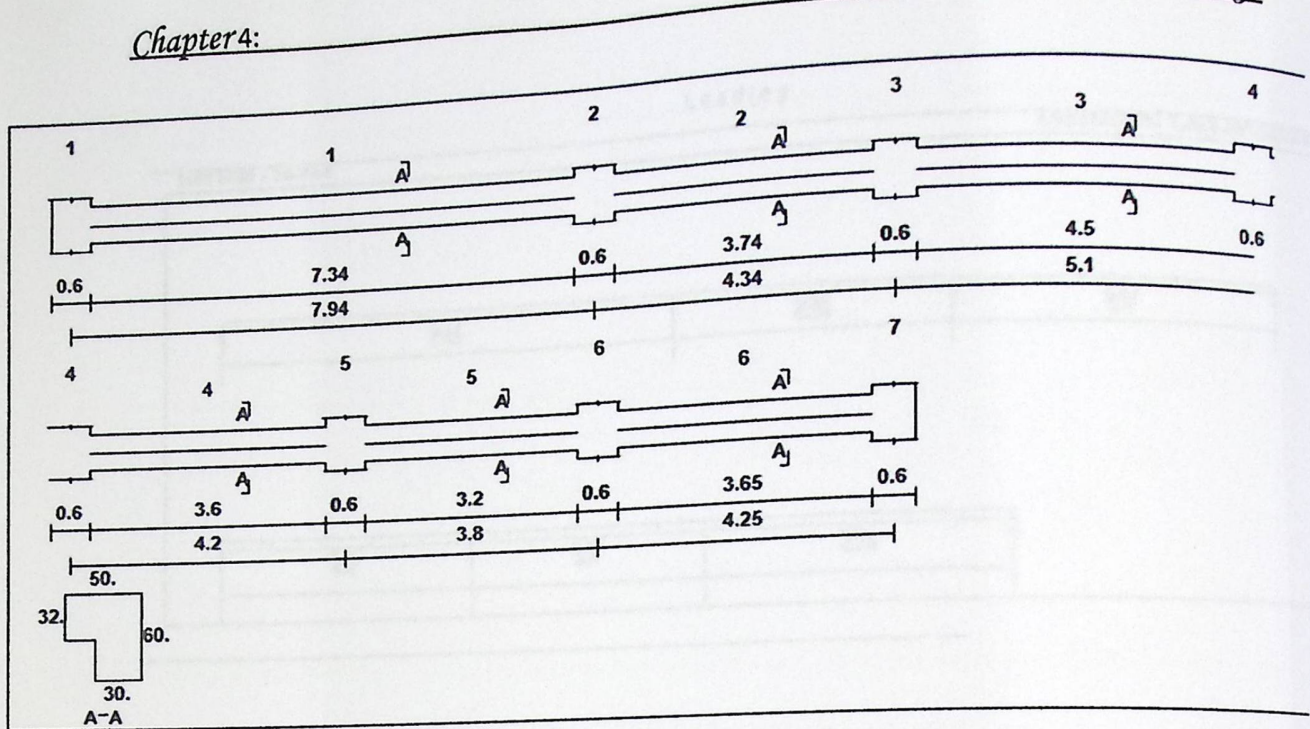
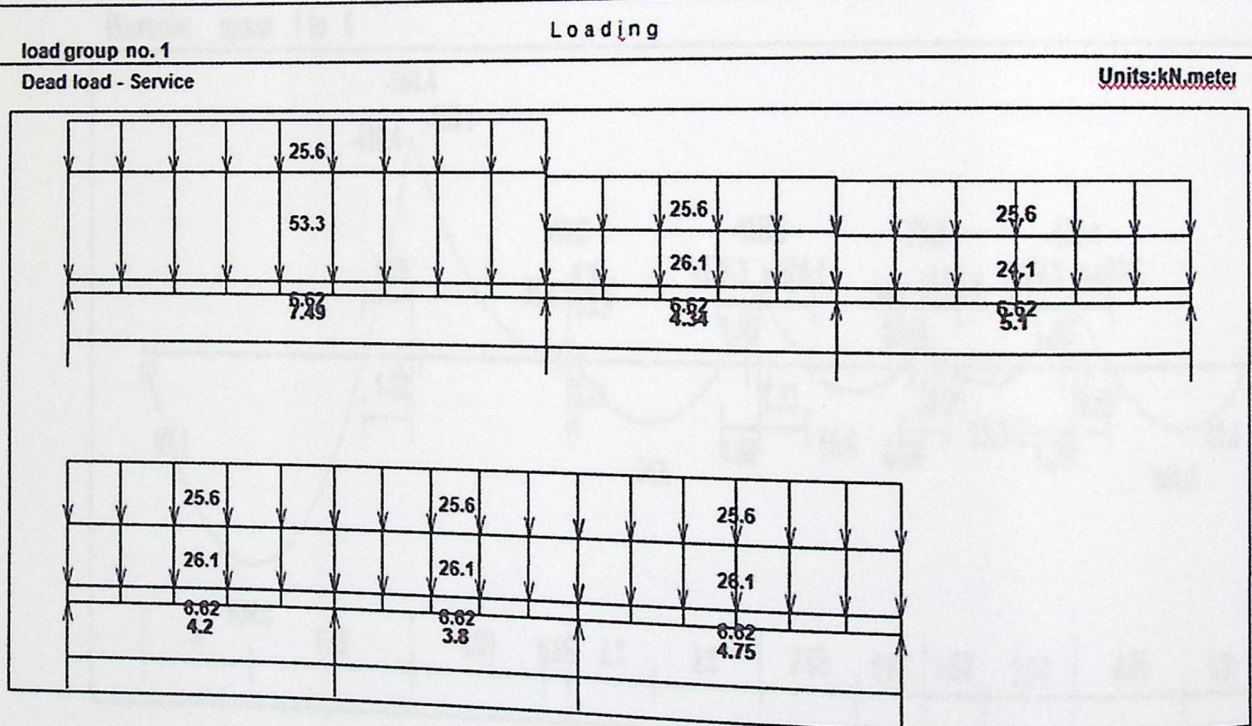


Figure (4-6) : Beam Geometry



Chapter 4:

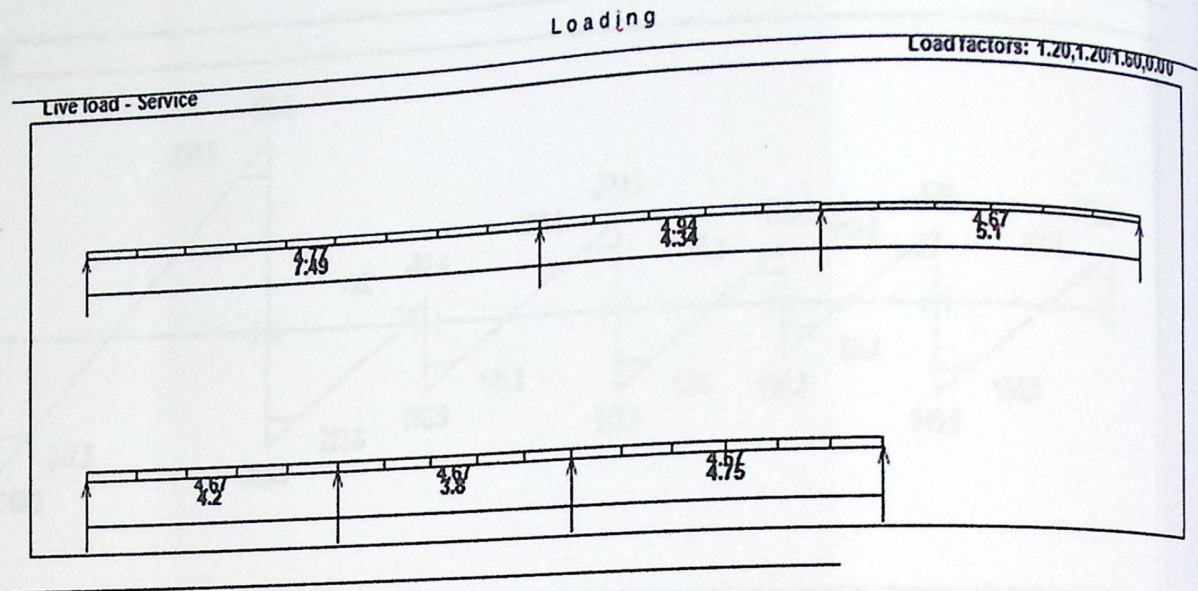


Figure (4-7) : Load of beam

Moments: spans 1 to 6

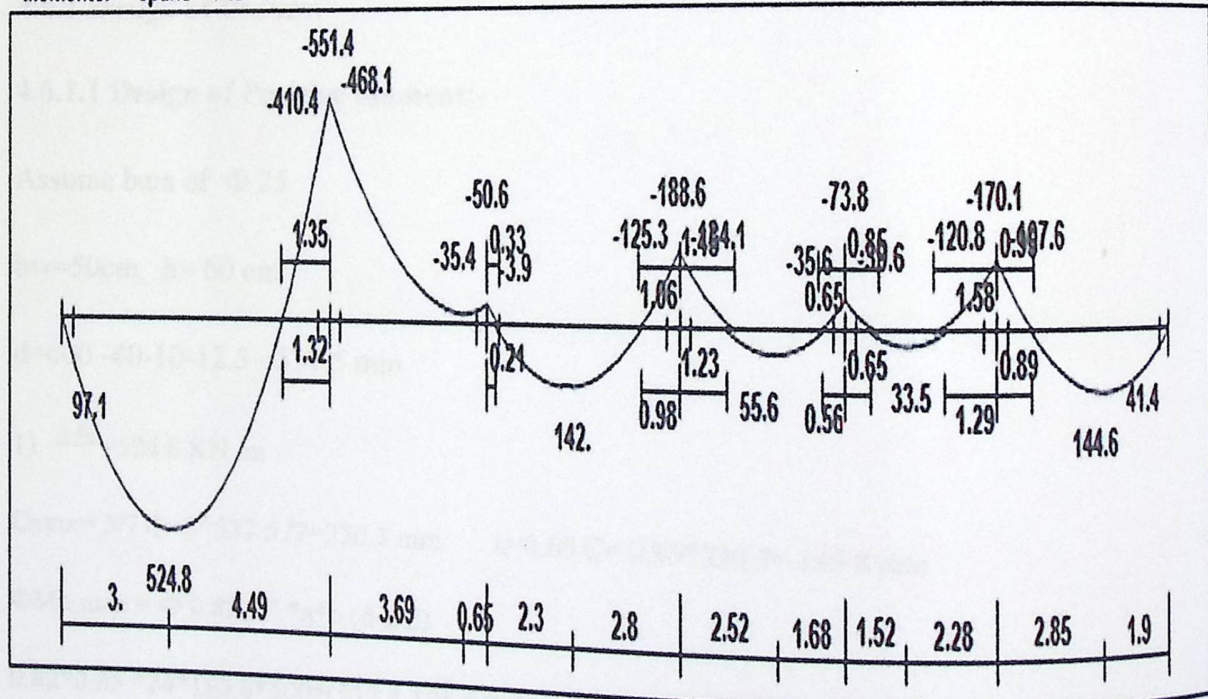


Figure (4-8): Moment Envelop for Beam

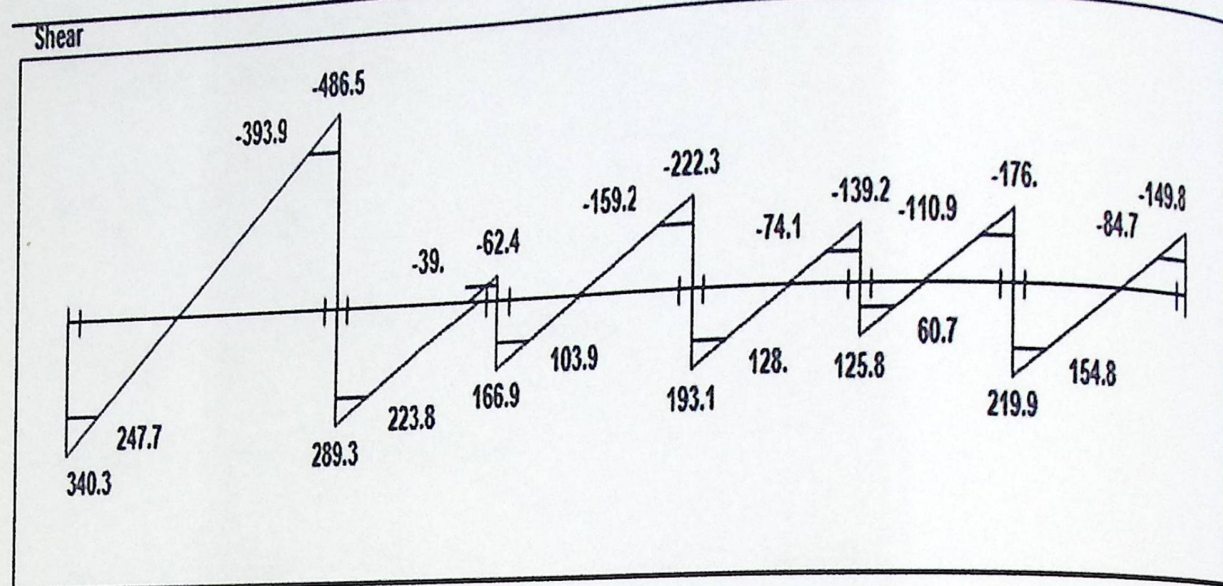


Figure (4-9) : Shear Envelop for Beam

#### 4.6.1 Design of flexure:-

##### 4.6.1.1 Design of Positive moment:-

Assume bars of Φ 25

$bw=50\text{cm}$   $h=60\text{ cm}$

$$d=600 -40-10-12.5 = 537.5 \text{ mm}$$

$$1) Mu=524.8 \text{ KN.m}$$

$$C_{max} = \frac{3}{7} d = \frac{3}{7} \times 537.5 = 230.3 \text{ mm} \quad a=0.85 C = 0.85 \times 230.3 = 195.8 \text{ mm}$$

$$\Phi M_{n max} = \Phi 0.85 f_c' * a * b (d-a/2)$$

$$0.82 * 0.85 * 24 * 195.8 * 500 * (537.5 - 195.8/2) * 10^{-6} = 719.92 \text{ KN.m} > Mu = 524.8 \text{ KN.m ok}$$

Design as singly

$$M_n = Mu / 0.9 = 524.8 / 0.9 = 583.11 \text{ KN m}$$

Chapter 4:

$$R_n = \frac{Mn}{b * d^2} = \frac{583.11 * 10^6}{500 * (537.5)^2} = 4.036 \text{ MPa}$$

$$\rho = \frac{1}{m} \left( 1 - \sqrt{1 - \frac{2mR_n}{f_y}} \right)$$

$$\rho = \frac{1}{20.6} \left( 1 - \sqrt{1 - \frac{2(4.036)(20.6)}{420}} \right) = 0.0108$$

$$A_s = 0.0108 (500) (537.5) = 2902.5 \text{ mm}^2$$

$$A_{s\min} = \frac{\sqrt{fc'}}{4(fy)} (bw)(d) \geq \frac{1.4}{fy} (bw)(d) \dots \dots \dots (ACI - 10.5.1)$$

$$A_{s\min} = \frac{\sqrt{24}}{4(420)} (500)(537.5) \leq \frac{1.4}{420} (500)(537.5)$$

$$A_{s\min} = 895.83 \text{ mm}^2$$

$$2902.5 \text{ mm}^2 > A_{s\min} = 895.83 \text{ mm}^2 \quad \text{OK}$$

$$\# \text{ of bars} = A_s / A_{s\bar{b}ar} = 2902.5 / 380.13 = 8 \text{ bars}$$

\* Note  $A_{\Phi 22} = 380.139 \text{ mm}^2$

Select 8  $\Phi 22 \text{ mm}$  with  $A_s = 3041.04 > A_s \text{ req ok in two layers.}$

- Check for strain:

Tension = compression

$$A_s * f_y = 0.85 * f_{c'} * b * a$$

$$3041.04 * 420 = 0.85 * 500 * 24 * a$$

$$a = 125.219 \text{ mm}$$

$$c = \frac{a}{\beta_1} = \frac{125.219}{0.85} = 147.316 \text{ mm}$$

$$\varepsilon_s = \frac{537.5 - 147.316}{147.316} \times 0.003$$

$$\varepsilon_s = 0.00794 > 0.005$$

## Chapter 4:

check for bars spacing:

check for bars spacing:

$$S = (500 - 40*2 - 2*10 - 8*22) / 7 = 32 \text{ mm} > 25 \text{ mm} \quad \text{Ok}$$

#### **4.6.1.2 Design of Negativee moment :**

1) Maximum positive moment  $M_u = 468.1 \text{ KN.m}$

$$M_p = M_{11}/0.9 = 468.1/0.9 = 520.11 \text{ KN m}$$

Assume bars of  $\Phi$  25

$$be = 30\text{cm}, h = 60\text{cm}$$

$$d = 600 - 10 - 12.5 = 537.5 \text{ mm}$$

$$R_n = \frac{Mn}{b^3 d^2} = \frac{520.11 * 10^6}{300 * (537.5)^2} = 6 \text{ MPa}$$

$$\rho = \frac{1}{m} \left( 1 - \sqrt{1 - \frac{2mRn}{fy}} \right)$$

$$p = \frac{1}{20.6} \left(1 - \sqrt{1 - \frac{2(6)(20.6)}{420}}\right) = 0.0174$$

$$As = 0.0174 (300) (537.5) = 2805.8 \text{ mm}^2$$

$$As_{\min} = \frac{\sqrt{fc'}}{4(fy)}(bw)(d) \geq \frac{1.4}{fy}(bw)(d) \dots \dots \dots (ACI - 10.5.1)$$

$$As_{\min} = \frac{\sqrt{24}}{4(420)}(300)(537.5) \leq \frac{1.4}{420}(300)(537.5)$$

$$470.2 \text{ } mm^2 < As_{\min} = 537.5 \text{ } mm^2$$

$$As_{\min} = 537.5 \text{ mm}^2$$

$$\# \text{ of bars} = As / As_{\text{bar}} = 2805.8 / 490.9 = 6 \text{ bars}$$

\* Note  $A_{\phi 25} = 490.9 \text{ mm}^2$

Select 6  $\Phi$  25 mm with  $A_s = 2945.2 > A_s$  req ok in two layers

Chapter 4:

- Check for strain

Tension = compression

$$A_s \cdot f_y = 0.85 \cdot f'_c \cdot b \cdot a$$

$$2945.2 \cdot 420 = 0.85 \cdot 300 \cdot 24 \cdot a$$

$$a = 202.12 \text{ mm}$$

$$c = \frac{a}{\beta_1} = \frac{202.12}{0.85} = 237.8 \text{ mm}$$

$$\varepsilon_s = \frac{537.5 - 237.8}{237.8} \times 0.003$$

$$\varepsilon_s = 0.0038 > 0.005$$

Check for bars placement:

$$S = (300 - 40 \cdot 2 - 2 \cdot 10 - 3 \cdot 25) / 2 = 62.5 \text{ mm} > 25 \text{ mm} \quad \text{Ok}$$

#### 4.6.2 Design of shear

1)  $V_u = 247.7 \text{ KN} \rightarrow \text{support (1)}$

$$\Phi V_c = \Phi \cdot \frac{\sqrt{f'_c}}{6} b_w \cdot d$$

$$= 0.75 \cdot \frac{\sqrt{24}}{6} 500 \cdot 537.5 \cdot 10^{-3} = 164.57 \text{ KN}$$

$$\Phi V_{s\min} \geq 0.75 \left(\frac{1}{3}\right) \cdot b_w \cdot d$$

$$= 0.75 \left(\frac{1}{3}\right) \cdot 500 \cdot 537.5 \cdot 10^{-3} = 67.1875 \text{ KN. (control)}$$

$$\geq 0.75 \left(\frac{\sqrt{24}}{16}\right) \cdot b_w \cdot d$$

$$= 0.75 \cdot \frac{\sqrt{24}}{16} \cdot 500 \cdot 537.5 \cdot 10^{-3} = 61.72$$

$$\Phi V_{s\min} = 67.1875$$

Chapter 4:

$$3) \Phi V_c \leq V_u \leq \Phi V_c + \Phi V_{s\min}$$

$$164.75 < 247.7 < 250.75 \Rightarrow \text{ok}$$

$$\text{Take } A_v = 2\Phi 10 = 2 * 78.5 = 157 \text{ mm}^2$$

$$A_v/s = V_s/f_y * d$$

$$157/s = 2.44 / 537.5 * 420 \rightarrow s = 299.336 \text{ mm}$$

$$s = 299.33 < d/2 = 268.75 \text{ mm} \leq 600 \text{ mm.}$$

Select  $s = 15 \text{ cm}$

Use  $\Phi 10$  (2legs) @ 15 c/c for 140cm after the critical section and  $\Phi 10$  (2legs) at

(20 ) cm c/c at the mid

---

4-7 Design of Two Way Rib Slab:

**Determination of Thickness for Two Way Rib Slab:**

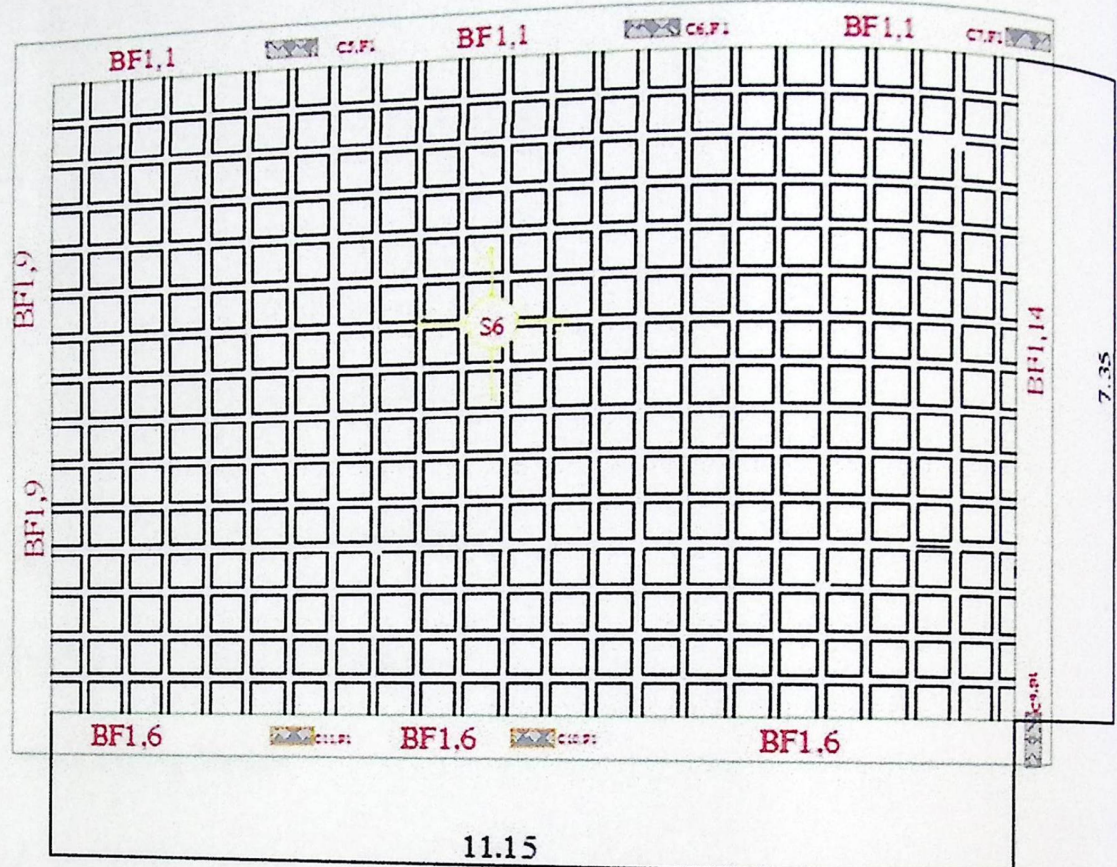
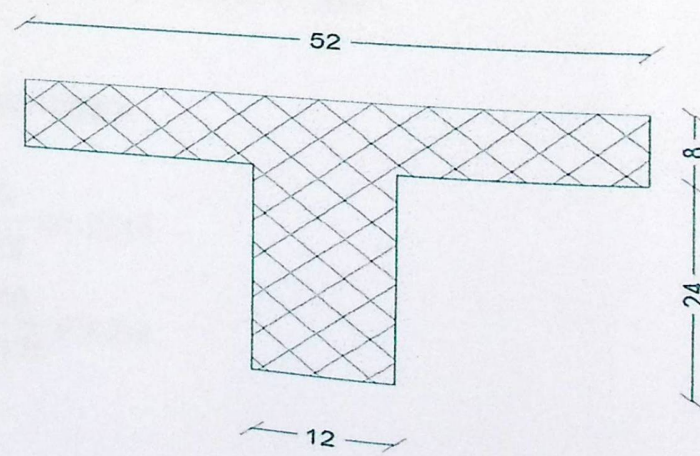


Figure (4-10): two-way rib slab.



Chapter 4:

$$\bar{Y} = \frac{\sum A.Y}{\sum A}$$

$$\bar{Y} = \frac{40*8*4 + 32*12*16}{40*8 + 32*12} = 10.55 \text{ cm}$$

$$I_{rib} = \frac{52 \times (10.55)^3}{3} - \frac{(40) \times 2.55^3}{3} + \frac{12 \times (21.45)^3}{3}$$

$$I_{rib} = 59609 \text{ cm}^4$$

$$I_{b1-14} = \frac{1}{12} b h^3 = \frac{1}{12} * 60 * (32)^3 = 163840 \text{ cm}^4$$

$$I_{b1-6} = \frac{1}{12} b h^3 = \frac{1}{12} * 60 * (32)^3 = 163840 \text{ cm}^4$$

The direction = 11.15 m = 1115cm

The exterior beam

$$I_{s1} = (59609 \times (\frac{1115}{2} + 60)) / 52 = 707856.8 \text{ cm}^4$$

The direction 7.35 m = 735cm

$$I_{s2} = (59609 \times (\frac{735}{2} + 60)) / 52 = 490054.75 \text{ cm}^4$$

The exterior beam

$$\alpha_1 = \frac{I_{b1}}{I_{s1}} = \frac{163840}{707856.8} = 0.2314$$

$$\alpha_2 = \frac{I_{b2}}{I_{s2}} = \frac{163840}{490054.75} = 0.334$$

Chapter 4:

$$\alpha_3 = \frac{I_{b1}}{I_{s1}} = \frac{163840}{707856.8} = 0.2314$$

$$\alpha_4 = \frac{I_{b2}}{I_{s2}} = \frac{163840}{490054.75} = 0.334$$

$$\alpha_{fm} = \frac{\alpha_1 + \alpha_2 + \alpha_3 + \alpha_4}{4} = \frac{0.2314 + 0.334 + 0.2314 + 0.334}{4} = 0.2828$$

$$0.2 < \alpha < 2 \implies 0.2 < 0.2355 < 2$$

According to ACI-code:

$$h_m = \frac{l(0.8 + f_y/1400)}{36 + 5\beta(\alpha_{fm} - 0.2)}$$

$$\beta = \frac{L_a}{L_b} = \frac{1115}{735} = 1.517$$

$$h_m = \frac{11150 * (0.8 + 420/1400)}{36 + 5 * 1.517 * (0.2828 - 0.2)} = 312.8 \text{ mm}$$

312.8 mm > 125 mm ... ok

First trial thickness h=320mm > 312.8mm -ok

Take slab thickness h=32, 80mm - topping, 240mm concrete block.

**4-7.2 Load Calculation:-****4-7.2.1 Determination of Dead load:-**

Type	$\square \ b \ h$	KN/Rib
Tiles	$0.03*0.52^2*23$	0.187
Mortar	$0.02*0.52^2*22$	0.119
Sand	$0.07*0.52^2*16.4$	0.31
Topping	$0.08*0.52^2*25$	0.541
Hollow block	$0.4^2*0.24*9$	0.346
Plaster	$0.02*0.52^2*22$	0.119
R.C rib	$0.12*0.24*25*(0.52+0.4)$	0.662
Partitions	$2.38*0.52^2$	0.643
<b>Sum</b>		<b>2.927</b>

Nominal Total Dead Load = 2.927KN/Rib

$$2.927/(0.52^2) = 10.8247 \text{ KN/m}^2$$

Nominal Total live load = 2 KN/m<sup>2</sup>

**4-7.2.2 Determination of factored dead & live load**

$$\text{Factored dead load} = 1.2 * \text{Dead load} = 1.2 * 10.8247 = 12.99 \text{ KN/m}^2.$$

$$\text{Factored Live load} = 1.6 * \text{live load} = 1.6 * 2 = 3.2 \text{ KN/m}^2.$$

**4-7.3 Design for moment:**

Chapter 4:

- The slab is discontinuous from all sides , so it will be assumed as :  
(case 1 in analysis for moments )
- The moment at discontinuous edges will be taken as  $\{ (1/3)*M^{+ve}$  in each direction,

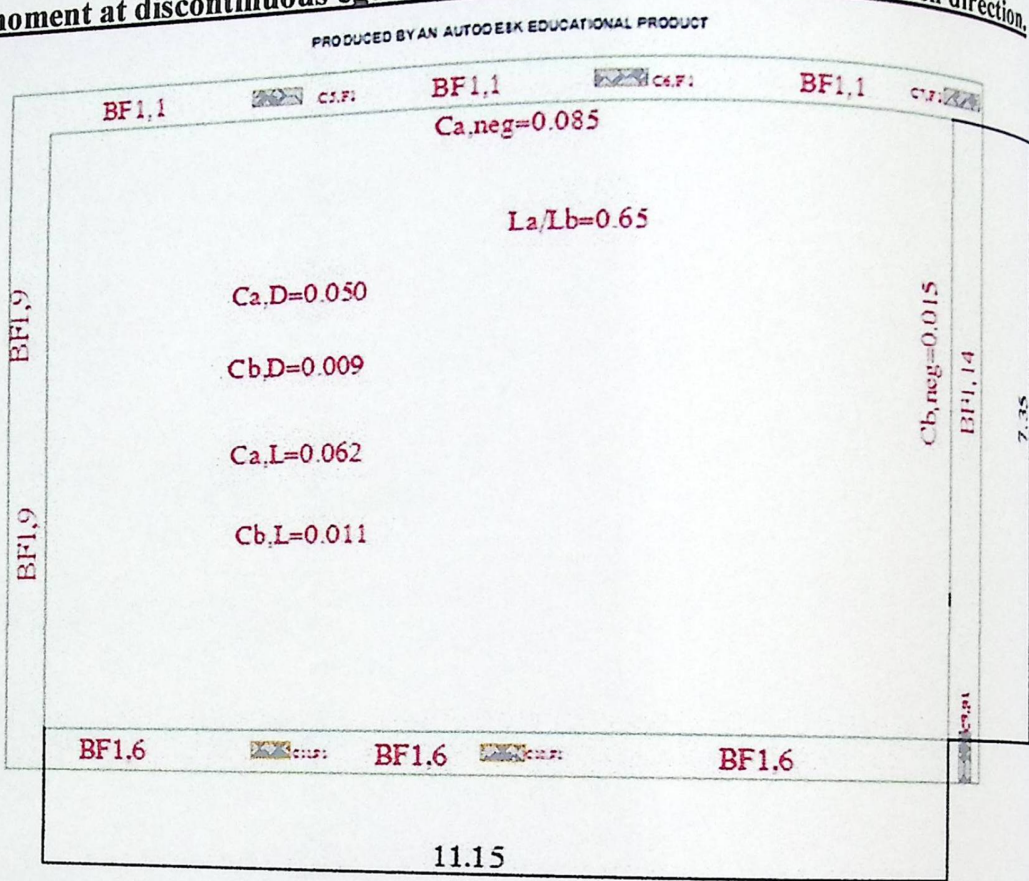


Figure (4-11): Moment Slab

Short - direction (a)5 Assume  $\Phi 12$ 

$$d = 380 - 20 - 10 - 12/2 = 344 \text{ mm}$$

$$L_a/L_b = 7.35/11.15 = 0.65 \dots \dots \dots \text{Case 4}$$

$$C_{a, pos/d} = 0.050$$

$$C_{a, pos/l} = 0.062$$

$$M_{a(+ve)} = (C_{a,d} * W_d * L_a^2 * 0.52) + (C_{a,l} * W_l * L_a^2 * 0.52)$$

Chapter 4:

$$= (0.050 * 12.99 * 7.35^2 * 0.52) + (0.062 * 3.2 * 7.35^2 * 0.52) = 20 \text{ KN.m/Rib}$$

Positive moment for a-direction = +20 KN.m/Rib.

$$m = \frac{f_y}{0.85 * f'_c} = \frac{420}{0.85 * 24} = 20.6$$

$$R_n = \frac{Mn}{b * d^2} = \frac{(20/0.9) * 10^6}{520 * (344)^2} = 0.36 \text{ MPa}$$

$$\rho = \frac{1}{m} \left( 1 - \sqrt{1 - \frac{2mR_n}{f_y}} \right)$$

$$\rho = \frac{1}{20.6} \left( 1 - \sqrt{1 - \frac{2(0.36)(20.6)}{420}} \right) = 0.000865$$

$$A_s = 0.000865 * 520 * 284 = 127.7 \text{ mm}^2$$

$$A_{s_{\min}} = \frac{\sqrt{f'_c}}{4(f_y)} (bw)(d) \geq \frac{1.4}{f_y} (bw)(d)$$

$$A_{s_{\min}} = \frac{\sqrt{24}}{4(420)} (120)(284) \geq \frac{1.4}{420} (120)(284)$$

$$A_{s_{\min}} = 99.379 < 113.6$$

$$\text{So: } A_{s_{\min}} = 1136 \text{ mm}^2$$

$$A_{s_{\min}} < A_s = 127.7 \text{ mm}^2$$

select (2) bars Φ 12 with area = 226.08 mm<sup>2</sup>

Check for strain:

Tension = Compression

$$A_s \times f_y = 0.85 \times f'_c \times b \times a$$

Chapter 4:

$$226.08 \times 420 = 0.85 \times 24 \times 520 \times a$$

$$a = 8.95 \text{ mm}$$

$$c = \frac{8.95}{0.85} = 10.53$$

$$\varepsilon_s = \frac{284 - 10.53}{10.53} \times 0.003 = 0.0779 > 0.005 \dots ok$$

The negative moment for a-direction =  $(1/3) * Ma (+ve) = (1/3) * 20 = 6.66 \text{ KN.m/Rib.}$

Assume  $\Phi 12$

$$d = 380 - 20 - 10 - 12/2 = 344 \text{ mm}$$

$$m = \frac{f_y}{0.85 * f_{c'}} = \frac{420}{0.85 * 24} = 20.6$$

$$R_n = \frac{Mn}{b * d^2} = \frac{(6.66/0.9) * 10^6}{120 * (344)^2} = 0.52 \text{ Mpa}$$

$$\rho = \frac{1}{m} \left( 1 - \sqrt{1 - \frac{2mR_n}{f_y}} \right)$$

$$\rho = \frac{1}{20.6} \left( 1 - \sqrt{1 - \frac{2(0.52)(20.6)}{420}} \right) = 0.00125$$

$$A_s = 0.00125 * 120 * 344 = 51.77 \text{ mm}^2$$

$$A_{s\min} = \frac{\sqrt{f_{c'}}}{4(f_y)} (b_w)(d) \geq \frac{1.4}{f_y} (b_w)(d)$$

$$A_{s\min} = \frac{\sqrt{24}}{4(420)} (120)(344) \geq \frac{1.4}{420} (120)(344)$$

$$A_{s\min} = 120.37 < 137.6$$

Chapter 4:

$$A_s \text{min} = 137.6 \text{ mm}^2 - \text{cont}$$

$$A_s \text{min} = 113.6 > A_s = 51.77 \text{ mm}$$

Select (2) bars  $\Phi 10$  with area = 157.1 mm<sup>2</sup>

Check for strain:

Tension = Compression

$$A_s \times f_y = 0.85 \times f_c' \times b \times a$$

$$157.1 \times 420 = 0.85 \times 24 \times 120 \times a$$

$$a = 26.95 \text{ mm}$$

$$c = \frac{26.95}{0.85} = 31.71$$

$$\varepsilon_s = \frac{344 - 31.71}{31.71} \times 0.003 = 0.0295 > 0.005 \dots ok$$

Long - direction: (case 1)

Assume  $\Phi 12$

$$d = 380 - 20 - 10 - (12) - 12/2 = 332 \text{ mm}$$

$$L_a/L_b = 7.35/11.15 = 0.65$$

$$C_{b_{\text{pos/dl}}} = 0.009$$

$$C_{b_{\text{pos/l}}} = 0.011$$

$$\begin{aligned} Mb^{(+ve)} &= (C_{b_{\text{dl}}} * W_{\text{dl}} * L_b^2 * 0.52) + (C_{b_{\text{l}}} * W_{\text{l}} * L_b^2 * 0.52) \\ &= (0.009 * 12.99 * 11.15^2 * 0.52) + (0.011 * 3.2 * 11.15^2 * 0.52) = 9.833 \text{ KN.m/Rib} \end{aligned}$$

Chapter 4:

Positive moment for b-direction = + 9.833 KN.m/Rib.

$$m = \frac{f_y}{0.85 * f_c} = \frac{420}{0.85 * 24} = 20.6$$

$$R_n = \frac{Mn}{b * d^2} = \frac{(9.833/0.9) * 10^6}{520 * (332)^2} = 0.19 \text{ Mpa}$$

$$\rho = \frac{1}{m} \left( 1 - \sqrt{1 - \frac{2mR_n}{f_y}} \right)$$

$$\rho = \frac{1}{20.6} \left( 1 - \sqrt{1 - \frac{2(0.19)(20.6)}{420}} \right) = 0.0004545$$

$$A_s = 0.0004545 * 520 * 332 = 78.46 \text{ mm}^2$$

$$A_{s\min} = \frac{\sqrt{f_c'}}{4(f_y)} (bw)(d) \geq \frac{1.4}{f_y} (bw)(d)$$

$$A_{s\min} = \frac{\sqrt{24}}{4(420)} (120)(332) \geq \frac{1.4}{420} (120)(332)$$

$$A_{s\min} = 116.17 < 132.8$$

$$A_{s\min} = 132.8 \text{ mm}^2 - \text{cont}$$

$$A_{s\min} = 132.8 > A_s = 78.47 \text{ mm}$$

Select (2) bars  $\Phi 10$  with area = 157.1 mm

Check for strain:

Tension = Compression

$$A_s \times f_y = 0.85 \times f_c' \times b \times a$$

Chapter 4:

$$157.1 \times 420 = 0.85 \times 24 \times 520 \times a$$

$$a = 6.22 \text{ mm}$$

$$c = \frac{26.95}{0.85} = 32$$

$$\varepsilon_s = \frac{332 - 7.32}{7.32} \times 0.003 = 0.133 > 0.005 \dots ok$$

The negative moment for b-direction =  $(1/3) * 9.833 = -3.277 \text{ KN.m/Rib}$

Assume  $\Phi 12$

$$d = 380 - 20 - 10 - (10) - 12/2 = 334 \text{ mm}$$

$$m = \frac{f_y}{0.85 * f_{c'}} = \frac{420}{0.85 * 24} = 20.6$$

$$R_n = \frac{Mn}{b * d^2} = \frac{(3.277 / 0.9) * 10^6}{120 * (334)^2} = 0.272 \text{ Mpa}$$

$$\rho = \frac{1}{m} \left( 1 - \sqrt{1 - \frac{2mR_n}{f_y}} \right)$$

$$\rho = \frac{1}{20.6} \left( 1 - \sqrt{1 - \frac{2(0.272)(20.6)}{420}} \right) = 0.000652$$

$$A_s = 0.000652 * 120 * 334 = 26.13 \text{ mm}^2$$

$$A_{s_{\min}} = \frac{\sqrt{f_{c'}}}{4(f_y)} (b_w)(d) \geq \frac{1.4}{f_y} (b_w)(d)$$

$$A_{s_{\min}} = \frac{\sqrt{24}}{4(420)} (120)(334) \geq \frac{1.4}{420} (120)(334)$$

$$A_{s_{\min}} = 116.87 < 133.6$$

$$A_{s_{\min}} = 1336 \text{ mm}^2 - \text{cont}$$

Chapter 4:

$$A_s \text{min} = 133.6 < A_s = 26.13 \text{ mm}$$

select (2) bars  $\Phi 10$  with area = 157.1 mm

Check for strain:

Tension = Compression

$$A_s \times f_y = 0.85 \times f_c' \times b \times a$$

$$157.1 \times 420 = 0.85 \times 24 \times 120 \times a$$

$$a = 26.95 \text{ mm}$$

$$c = \frac{26.95}{0.85} = 31.71$$

$$\varepsilon_s = \frac{334 - 31.71}{31.71} \times 0.003 = 0.02859 > 0.005 \dots ok$$

#### 4.7.4 Design for shear:

The shear in the slab calculated by using tributary area for shear:

$$w_u = 1.2 \text{ DL} + 1.6 \text{ LL} = 1.2 * 12.99 + 1.6 * 3.2 = 20.7 \text{ KN/m}^2$$

$$V_{ud} = w_u \times b_f (\ln/2 - d)$$

$$V_{ud} = 20.7 \times 0.52 \times (7.35/2 - 0.334) = 35.96 \text{ KN}$$

$$V_c = \frac{1.1}{6} \sqrt{f_c} \times b_w \times d$$

$$V_c = \frac{1.1}{6} \sqrt{24} \times 120 \times 334 * 10^{-3} = 35.997 \text{ KN}$$

$$\phi V_c = 0.75 * 35.99 = 26.99$$

$$\phi V_c = 26.99 < V_{ud} = 35.96$$

Chapter 4:

$$V_s \text{ min} = \frac{1}{3} b_w \times d \geq \frac{1}{16} \times \sqrt{f_c} \times b_w \times d$$

$$V_s \text{ min} = \frac{1}{3} \times 120 \times 334 \times 10^{-3} = 13.36$$

$$\geq \frac{1}{16} \times \sqrt{24} \times 120 \times 334 \times 10^{-3} = 12.27$$

item : 3  
 $\phi V_c = 26.99 < V_u = 35.69 \leq \phi(V_c + V_s \text{ min}) = 37.01$

Provide minimum shear reinforcement... use 2 Φ 10 for stirrups  $A_v = 2 * 78.5 = 157 \text{ mm}^2$

$$\frac{A_{v(\min)}}{s} = \frac{b_w}{3F_y t} = \frac{1}{3} * \frac{120}{420} = 0.09523$$

$$\frac{157}{s} = 0.09523 , , , , s = 1648.6 \text{ mm}$$

$s \leq d/2 = 334/2 = 167 \text{ mm -cont}$

$\leq 600 \text{ mm.}$

Use 2Φ 10 @ 170mm. For a distance 1m from the face of beam .

Chapter 4:4 – 8 :Design of two way solid slab.

Determination of Thickness for Two Way solid Slab:

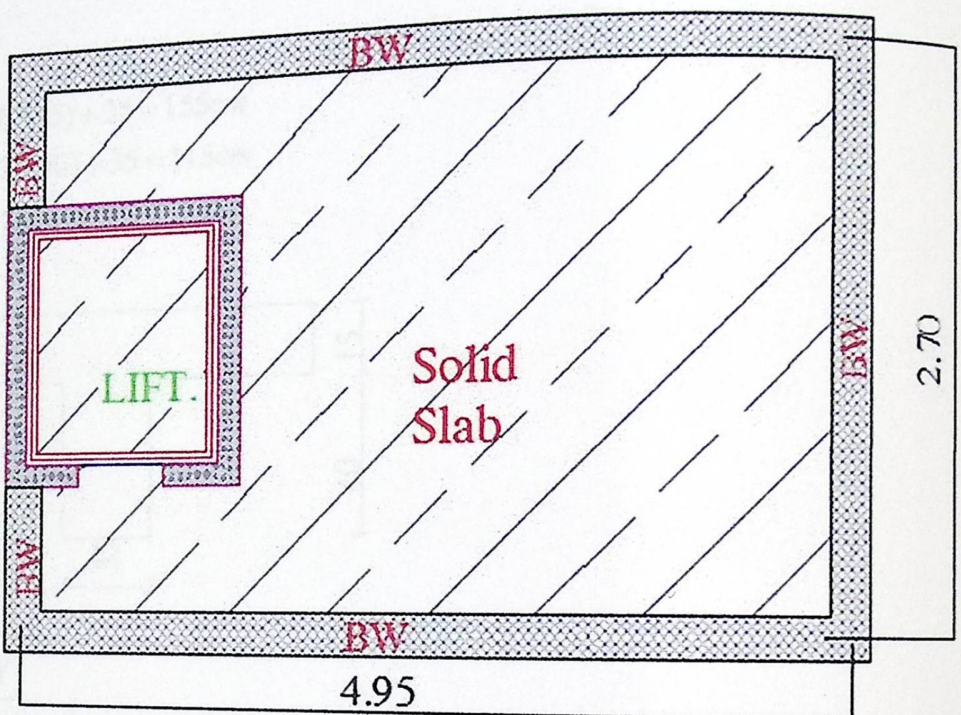


Figure (4-12): two-way solid slab

Chapter 4:

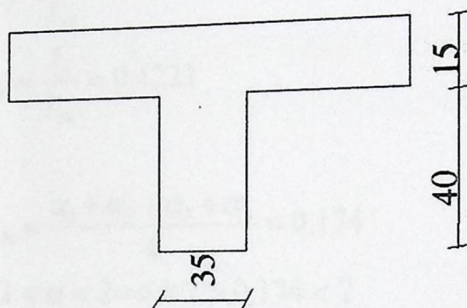
$$h_m \geq \frac{(2 * 4.60 + 2 * 6.85)}{180} = 0.127$$

$$h = 15\text{cm}$$

$$b_{eff} \leq (8 * 15) + 35 = 155\text{cm}$$

$$b_{eff} \leq (2 * 40) + 35 = 115\text{cm}$$

$$b_{eff} = 115\text{cm}$$



$$\bar{Y} = \frac{\sum A.Y}{\sum A}$$

$$\bar{Y} = \frac{(15 * 115 * 7.5) + (40 * 35 * 27.5)}{15 * 115 + 40 * 35} = 16.46\text{cm}$$

$$I_b = \frac{1}{12} b h^3 = \frac{1}{12} * 115 * (15)^3 + 15 * 115 * 8.96 * 8.96 = 170829.51\text{cm}^4$$

$$I_b = \frac{1}{12} b h^3 = \frac{1}{12} * 35 * (40)^3 + 35 * 40 * 23.54 * 23.54 = 962450.91\text{cm}^4$$

$$I_b = 1133280.42$$

The direction 2.70 m = 270cm

$$I_{sl} = \left( \frac{2.7 * 0.15 * 0.15}{12} \right) = 0.06075\text{cm}^4$$

Chapter 4:

$$I_{s1} = \left( \frac{2.7 * 0.15 * 0.15}{12} \right) = 0.005 \text{ cm}^4$$

$$I_{s2} = \left( \frac{4.95 * 0.15 * 0.15}{12} \right) = 0.00928 \text{ cm}^4$$

$$\alpha_1 = \frac{I_{b1}}{I_{s1}} = \frac{1133280.42}{0.005} = 0.226$$

$$\alpha_2 = \frac{I_{b2}}{I_{s2}} = \frac{1133280.42}{0.00928} = 0.1221$$

$$\alpha_3 = \frac{I_{b3}}{I_{s3}} = 0.226$$

$$\alpha_4 = \frac{I_b}{I_{s4}} = 0.1221$$

$$\alpha_{fm} = \frac{\alpha_1 + \alpha_2 + \alpha_3 + \alpha_4}{4} = 0.174$$

$$0.2 < \alpha < 2 \Rightarrow 0.2 > 0.174 < 2$$

take  $h = 20$

#### 4-7.2 Load Calculation:-

##### 4-7.2.1 Determination of Dead load:-

Type	<input type="checkbox"/> b h	KN/Rib
Tiles	0.03*23	0.69
Mortar	0.02*22	0.44
Sand	0.07*16.4	1.148
Slab	0.2*25	5
Plaster	0.02*22	0.44
Partitions	1.5	1.5
<b>Sum</b>		<b>9.218</b>

Chapter 4:

Nominal Total Dead Load =  $9.218 \text{ KN/m}^2$

Nominal Total live load =  $2 \text{ KN/m}^2$

#### 4-7.2.2 Determination of factored dead & live load

Factored dead load =  $1.2 * \text{Dead load} = 1.2 * 10.8247 = 11.06 \text{ KN/m}^2$ .

Factored Live load =  $1.6 * \text{live load} = 1.6 * 2 = 3.2 \text{ KN/m}^2$ .

#### 4-7.3 Design for moment:

- The slab is discontinuous from all sides , so it will be assumed as :
- The moment at discontinuous edges will be taken as { (1/3)\*M+ve in each direction}

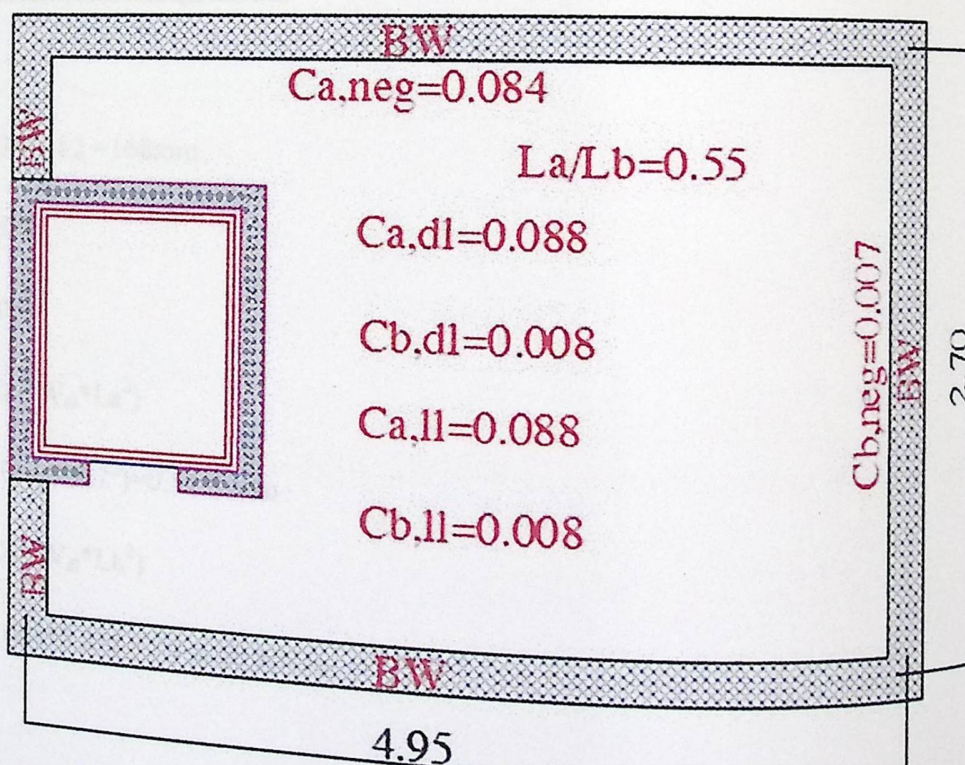


Figure (4-13): Moment Slab.

Chapter 4:Short - direction (a)Assume  $\Phi 12$ 

$$d = 200 - 20 - 12 = 168\text{mm}$$

$$\frac{L_a}{L_b} = 2.7/4.95 = 0.55 \dots \dots \dots \text{Case 1}$$

$$C_a_{pos/dl} = 0.088$$

$$C_a_{pos/ll} = 0.088$$

$$M_{a(+ve)} = (C_a_{dl} * W_{dl} * L_a^2) + (C_a_{ll} * W_{ll} * L_a^2)$$

$$= (0.088 * 11.06 * 2.7^2) + (0.088 * 3.2 * 4.95^2) = 13.21 \text{ KN.m}$$

Positive moment for a-direction = +13.21 KN.m/Rib.The negative moment for a-direction.Assume  $\Phi 12$ 

$$d = 200 - 20 - 12 = 168\text{mm}$$

$$C_a_{neg/dl} = 0.007$$

$$C_b_{neg/ll} = 0.084$$

$$M_{a(-ve)} = (C_a * W_{dl} * L_a^2)$$

$$= (0.007 * 11.06 * 2.7^2) = 0.56 \text{ KN.m}$$

$$M_{b(-ve)} = (C_b * W_{dl} * L_b^2)$$

$$= (0.084 * 3.2 * 4.95^2) = 6.58 \text{ KN.m}$$

*Bottom**reinforcement :-*

$$A_s_{min} = 0.018 * 20 * 100 = 3.6$$

Chapter 4:

$$A_s \text{min} = 360 \text{mm}^2 - \text{cont}$$

$$A_s \text{min} = 113.6 > A_s = 113.1 \text{ mm}$$

Select (2) bars  $\Phi 12$  with area = 113.1 mm

Check for strain:

Tension = Compression

$$A_s \times f_y = 0.85 \times f_c' \times b \times a$$

$$113.1 \times 420 = 0.85 \times 24 \times 1000 \times a$$

$$a = 23.28 \text{ mm}$$

$$c = \frac{23.28}{0.85} = 27.3$$

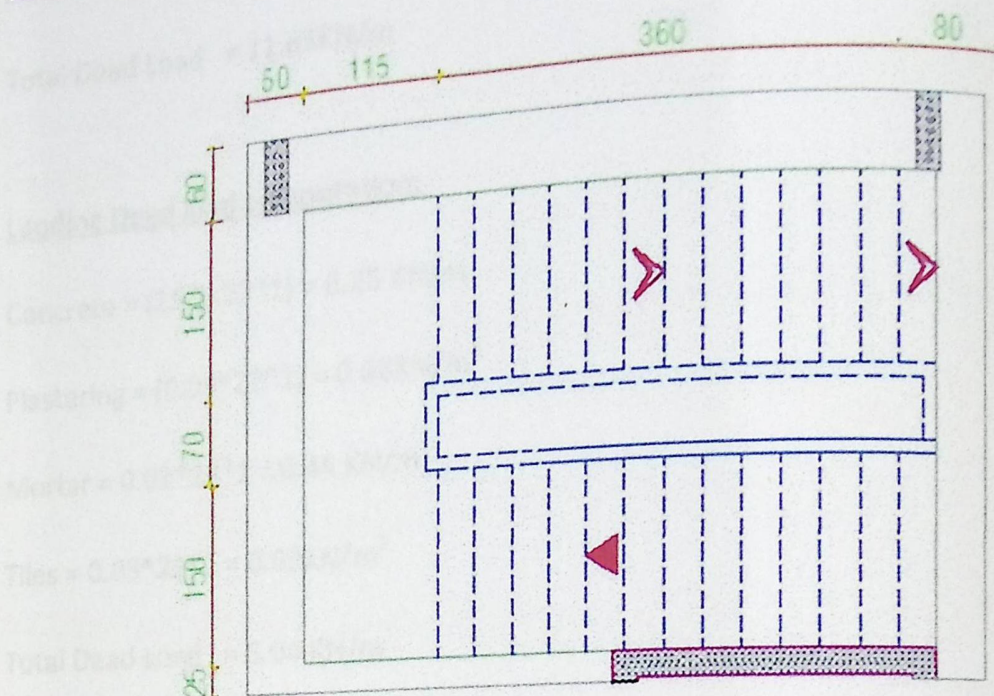
$$\varepsilon_s = \frac{168 - 27.3}{27.3} \times 0.003 = 0.0154 > 0.005 \dots ok$$

4-9 Design of Stairs :

Minimum slab thickness for deflection is (for a simply supported one-way solid slab).

$$\text{Min } h = (L/20) = 4.40/20 = 22 \text{ cm}$$

Take Min h = 25 cm.

Chapter 4:

Figure(4-14) : Stairs

**Load Determination:**Flight dead load computation:

$$\alpha = \tan^{-1}(\text{rise/run}) = \tan^{-1}(160/300) = 28.1^\circ$$

$$\text{Concrete} = (25 * 0.25 * 1) / \cos 28.1 = 7.1 \text{ kN/m}$$

$$\text{Plastering} = (22 * 0.03 * 1) / \cos 28.1 = 0.748 \text{ kN/m}$$

$$\text{Stair steps} = (25 / 0.3) * ((0.16 * 0.3) / 2) = 1.999 \text{ kN/m}$$

$$\text{Mortar} = 22 * ((0.16 + 0.3) / 0.3) * 0.02 * 1 = 0.675 \text{ kN/m}$$

$$\text{Tiles} = 23 * ((0.16 + 0.33) / 0.3) * 0.03 * 1 = 1.127 \text{ kN/m}$$

Chapter 4:

Total Dead Load = 11.65 KN/m

Landing Dead load computation:

$$\text{Concrete} = (25 * 0.25 * 1) = 6.25 \text{ KN/m}$$

$$\text{Plastering} = (0.03 * 22 * 1) = 0.66 \text{ KN/m}^2$$

$$\text{Mortar} = 0.02 * 22 * 1 = 0.44 \text{ KN/m}$$

$$\text{Tiles} = 0.03 * 23 * 1 = 0.69 \text{ KN/m}^2$$

$$\text{Total Dead Load} = 8.04 \text{ KN/m}$$

$$\text{Factored Total Dead Load} = 1.2 * D + 1.6 * L$$

$$\text{Live load} = 3 \text{ KN/m.}$$

$$\text{For flight: } w = 1.2 * 11.65 + 1.6 * 3 * 1 = 18.78 \text{ kn/m}$$

$$\text{For landing: } w = 1.2 * 8.04 + 1.6 * 3 * 1 = 14.45 \text{ kn/m}$$

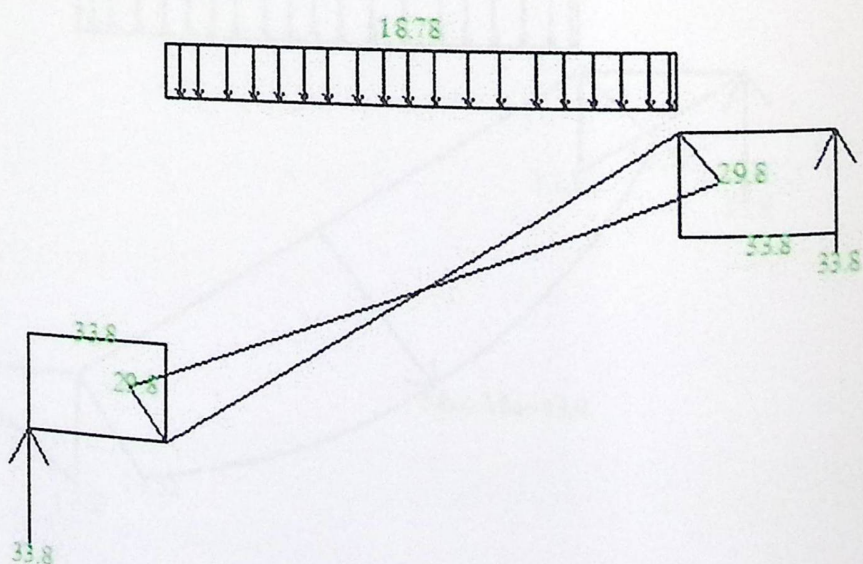


Figure (4-15): load Geometric.

Chapter 4:Check for shear strength:Assume bar diameter  $\Phi 12$  for main reinforcement

$$d = 250 - 20 - 12/2 = 224 \text{ mm}$$

$$V_u = 29.8 \text{ kN}$$

Take the maximum shear at distance  $d$  from the face of the support  $V_u = 35.1 \text{ kN}$ 

$$V_c = \frac{1}{6} * \sqrt{f'_c} * b * d = \frac{1}{6} * \sqrt{24} * 224 * 1000 * 10^{-3} = 182.89 \text{ kN}$$

$$\phi = 0.75$$

$$\phi * V_c = 0.75 * 182.89 = 137.17 \text{ kN}$$

$$\phi * V_c = 137.17 >> V_u = 29.8 \text{ kN}$$

The thickness of the slab is enough.

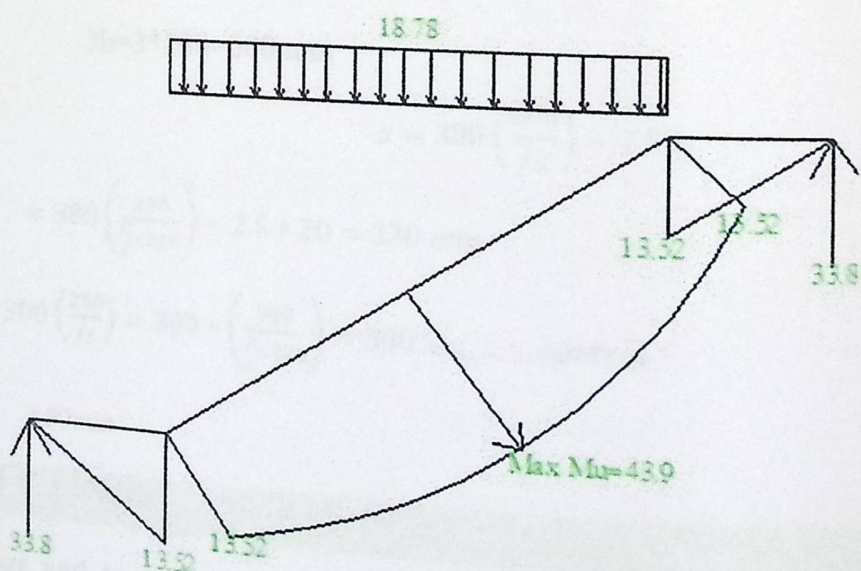
Calculate the maximum bending moment and steel reinforcement:

Figure (4-16): load Geometric.

Chapter 4:

$$Mu = 43.9 \text{ Kn.m}$$

$$Mn = Mu/0.9 = 43.9 / 0.9 = 48.77 \text{ kn.m}$$

$$R_n = \frac{Mn}{b \cdot d^2} = \frac{48.77 * 10^6}{1000 * 224^2} = 0.972 \text{ mpa}$$

$$m = \frac{f_y}{0.85 * f_c} = \frac{420}{0.85 * 24} = 20.6$$

$$\rho = \frac{1}{m} \left( 1 - \sqrt{1 - \frac{2mRn}{f_y}} \right)$$

$$\rho = \frac{1}{20.6} \left( 1 - \sqrt{1 - \frac{2(20.6)(0.972)}{420}} \right) = 0.00237$$

$$A_s \text{ req} = \rho bd = 0.00237 * 1000 * 224 = 531.38 \text{ mm}^2/\text{m}$$

$$A_s \text{ min} = 0.0018 * 1000 * 250 = 450 \text{ mm}^2$$

Use  $A_s \text{ req} = 531.38 \text{ mm}^2$ .

**Use 5Φ 12 with or Φ 12@200 mm**

Steps (s) is the smallest of

1.  $3h = 3 * 200 = 600 \text{ mm}$

$$s = 380 \left( \frac{280}{f_s} \right) - 2.5Cc$$

$$= 380 \left( \frac{280}{\frac{2}{3} \times 420} \right) - 2.5 * 20 = 330 \text{ mm}$$

$$s = 300 \left( \frac{280}{f_s} \right) = 300 * \left( \frac{280}{\frac{2}{3} \times 420} \right) = 300 \dots \dots \dots \dots \dots \dots \text{control}$$

3. 450mm

**Select Φ 12@200mm**

**Shrinkage and temperature reinforcement:**

$$As = 0.0018 * 1000 * 250 = 450 \text{ mm}^2/\text{m}$$

$$\text{Number of bar's} = 450 / 78.5 = 5.7$$

Chapter 4:

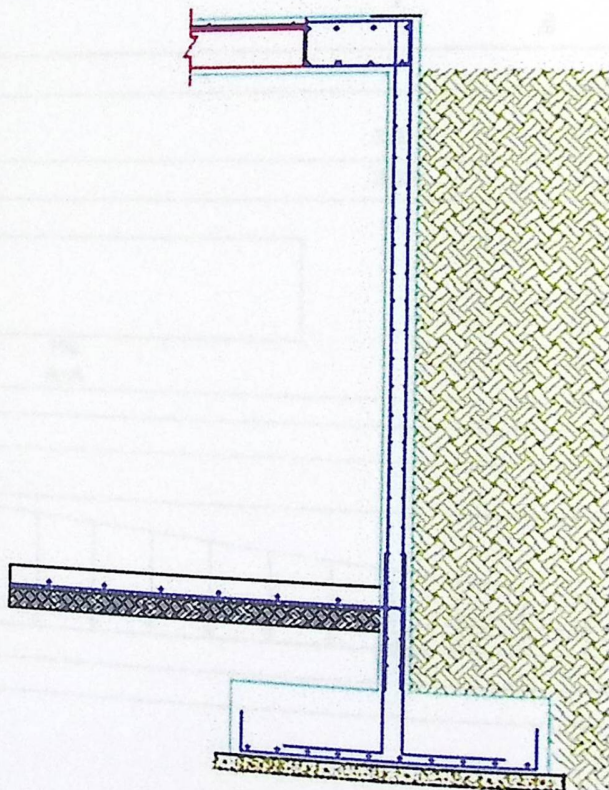
$$\text{Spacing} = 1/5.7 = 0.170 \text{ m}$$

Check for spacing

$$S = 5h = 5 * 250 = 1250 \text{ mm}$$

$S = 12.5 \text{ mm}$  - control

Use  $\Phi 10 @ 175 \text{ mm}$

4-10 Design of Basement Wall:-

Section A-A of Basement Wall

Figure (4-17) : Geometry Of Basement Wall ( BW1 )

Chapter 4:

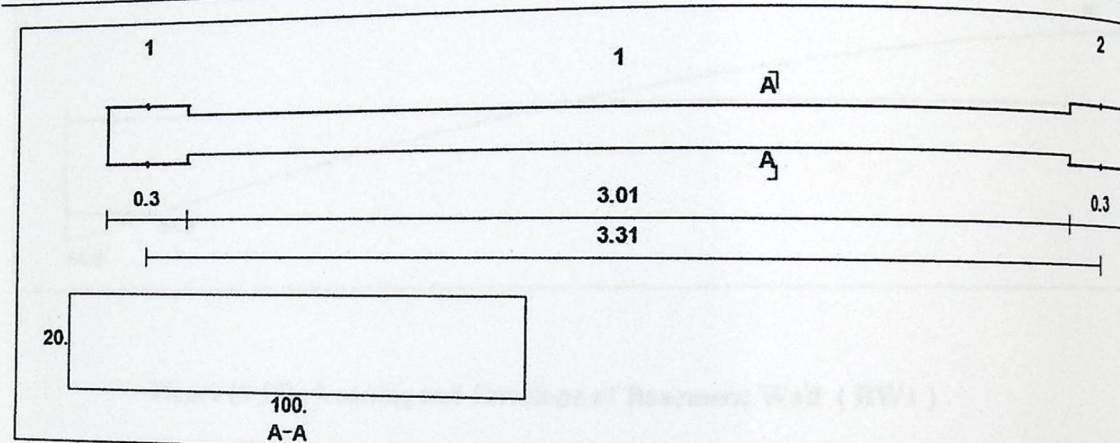
$F_c = 24 \text{ MPa}$ ,  $F_y = 420 \text{ MPa}$ ,  $\sigma_s = 18 \text{ KN/m}^3$ ,  $q_{al} l = 400 \text{ KN/m}^2$ ,  $\phi = 30^\circ$ , surcharge =  $5 \text{ KN/m}^2$   
 $\text{wall Wall Thickness} = 20 \text{ cm}$

Consider at rest pressure

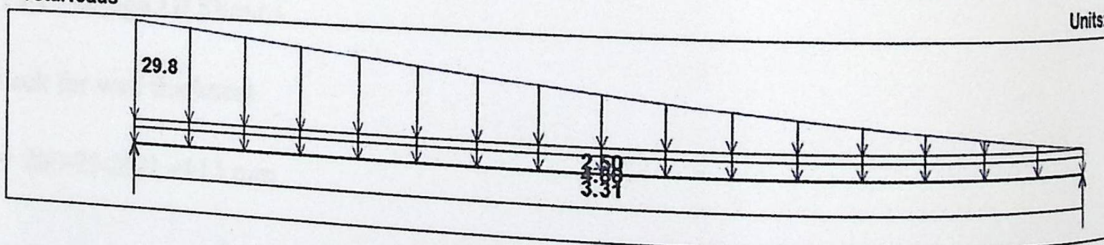
$$C_a = 1 - \sin \phi = 1 - \sin 30 = 0.50$$

$$W_s = C_a * h * \gamma = 0.50 * 3.31 * 18 = 29.79 \text{ KN/m}^2$$

$$W_{su} = C_a * P = 0.50 * 5 = 2.50 \text{ KN/m}^2$$

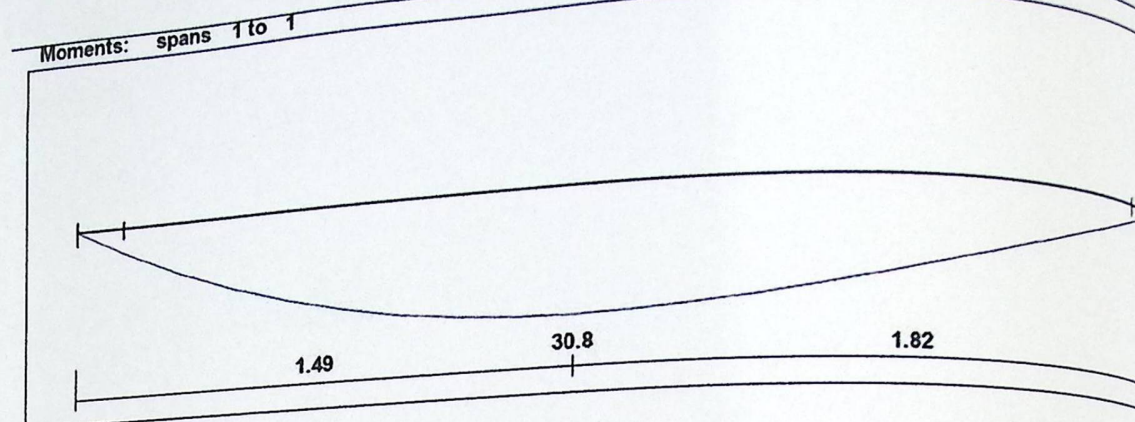


Load group no. 1  
Total loads



Chapter 4:

Moments: spans 1 to 1



Shear

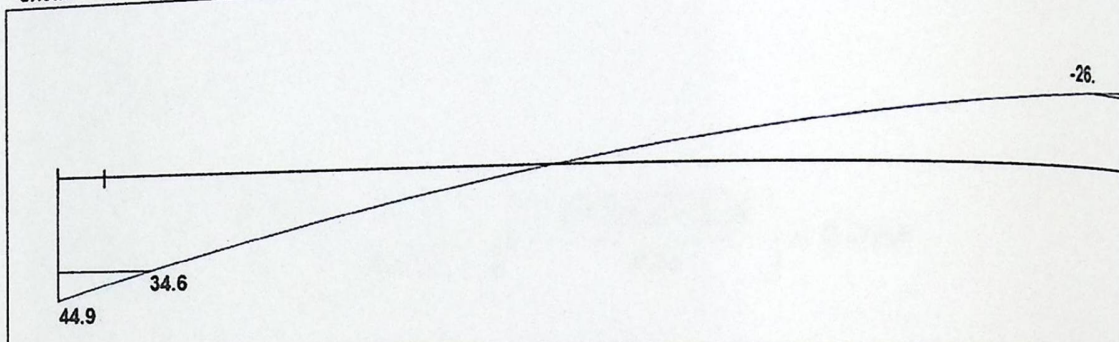


Figure (4-18) : Loading and Envelope of Basement Wall ( BW1 )

## 4.14.1 : Design Of Shear :

Check for wall thickness

$$d = 200 - 75 - 20/2 = 115 \text{ mm}$$

$$\phi V_c = \frac{\phi}{6} \sqrt{f'_c} * b * d = \frac{0.75}{6} \sqrt{24} * 1000 * 115 * 10^{-3} = 70.422 \text{ KN}$$

$$V_{u} (\text{At face of support}) = 34.6 \text{ KN}$$

$\square V_c > V_u$  at face of support , So  $\square V_c$  will be greater than  $V_{ud}$  - OK  
 The thickness of Wall is Adequate Enough

## 4.14.2 : Design for Flexure :

Chapter 4:

$$M_u = 30.8 \text{ KN.m}$$

$$M_n = 34.22$$

$$R_n = \frac{M_n}{b \cdot d^2}$$

$$R_n = \frac{34.22 * 10^6}{1000 * 115^2} = 2.58 \text{ MPa}$$

$$m = \frac{f_y}{0.85 \times f'_c}$$

$$m = \frac{420}{0.85 \times 24} = 20.6$$

$$\rho = \frac{1}{m} \left( 1 - \sqrt{1 - \frac{2mR_n}{f_y}} \right) = \frac{1}{20.6} \left( 1 - \sqrt{1 - \frac{2 * 20.6 * 2.58}{420}} \right) = 0.0066$$

As req =  $0.0066 * 1000 * 115 = 759 \text{ mm}^2/\text{m}$  ..... control

As min ( for bars < 16 =  $0.0012 * 1000 * 115 = 138 \text{ mm}^2/\text{m}$

$$As_{\min} = \frac{\sqrt{f'_c}}{4(f_y)} (bw)(d) = \frac{\sqrt{24}}{4(420)} (1000)(115) = 335.35 \text{ mm}^2 / \text{m}$$

$$As_{\min} = \frac{1.4}{(f_y)} (bw)(d) = \frac{1.4}{420} (1000)(115) = 383.333 \text{ mm}^2 / \text{m} \quad (\text{control})$$

As =  $759 \text{ mm}^2/\text{m} > As_{\min} = 383.333 \text{ mm}^2/\text{m}$

Use  $\Phi 12/15 \text{ cm } As_{\text{provided}} = 753.9 \text{ mm}^2/\text{m}$

For horizontal bars use the half of the min. in each side

$$0.5 * As_{\min} = 0.5 * 0.0025 * 115 * 1000 = 143.75 \text{ mm}^2/\text{m}$$

Use  $\phi = 8$

Use for horizontal bare  $\phi 8 @ 15 \text{ cm}$  in each side

Chapter 4:

Use  $\square 10@20$  cm for vertical in outer side to hold the horizontal bares

Check for strain:

Tension = Compression

$$A_s * f_y = 0.85 * f_{c'} * b * a$$

$$753.9 * 420 = 0.85 * 24 * 1000 * a$$

$$a = 15.52 \text{ mm}$$

$$c = \frac{a}{\beta_1} = \frac{15.52}{0.85} = 18.25 \text{ mm}$$

$$\varepsilon_s = \frac{115 - 18.25}{18.25} * 0.003 = 0.0159 > 0.005 \text{ ok...}$$

$$\varepsilon_s = 0.0159 > 0.005 \longrightarrow \text{ok}$$

Check for step

$$S_{max} = 450 \text{ mm}, 3*h = 3*200 = 600 \text{ mm}$$

note : all steps are less than  $S_{max}$ , So its OK

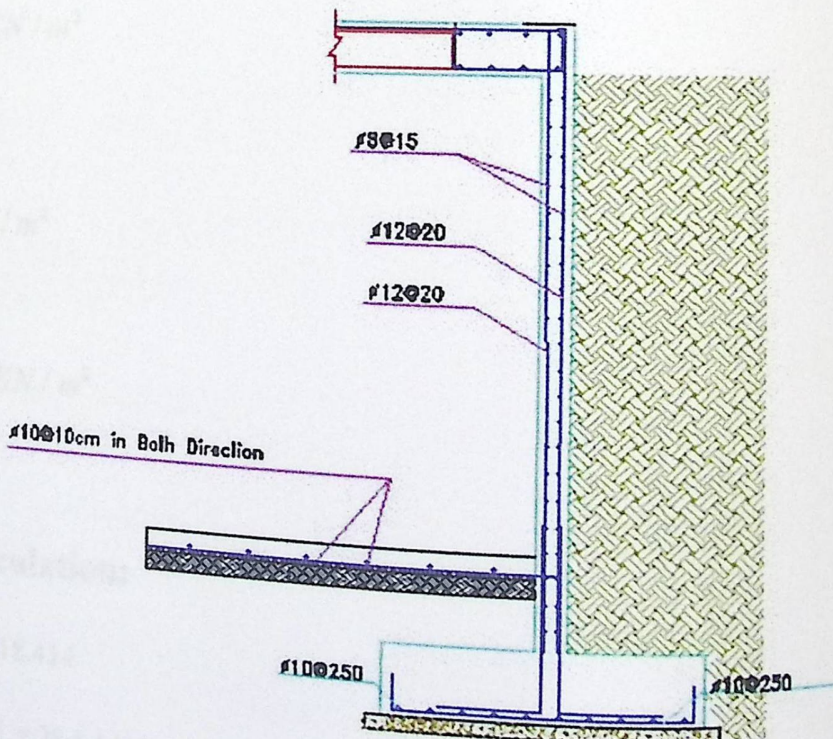


Figure (4-19): details of basement wall

Chapter 4:**4.11 Design of retaining wall :-****4.18.1 Retaining Wall Design Parameters:**

$$\phi = 30^\circ$$

$$\gamma = 18 \text{ kN/m}^2$$

$$k_a = \frac{(1 - \sin\phi)}{(1 + \sin\phi)} = \frac{1 - \sin 30^\circ}{1 + \sin 30^\circ} = 0.33$$

$$k_p = \frac{(1 + \sin\phi)}{(1 - \sin\phi)} = \frac{1 + \sin 30^\circ}{1 - \sin 30^\circ} = 3$$

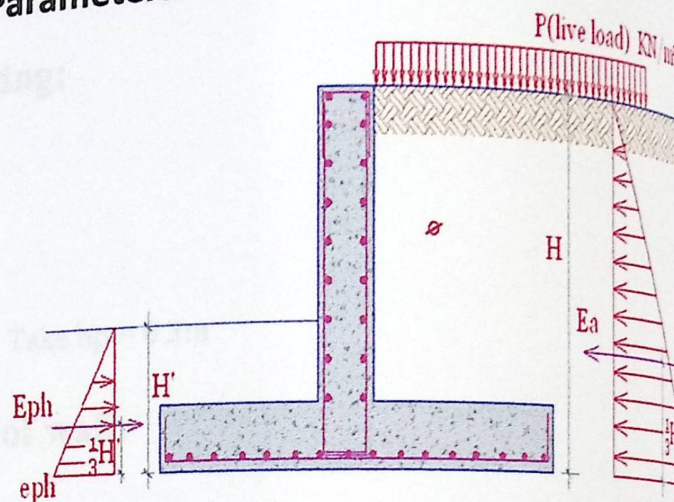


Figure (4-20): retaining w

$\phi$ : angel of friction

$$ea = K_a * \gamma * H \text{ KN/m}^2$$

$$Ea = ea * \frac{H}{2}$$

$$eap = K_p * p \text{ KN/m}^2$$

$$Eap = eap * H$$

$$ep = K_p * \gamma * H' \text{ KN/m}^2$$

$$Ep = ep * \frac{H'}{2}$$

**4.18.2 Load Calculation:**

$$ea = 0.33 * 18 * 3.1 = 18.414$$

$$Ea = 0.5 * 18.414 * 3.1 = 28.5 \text{ kN/m}$$

$$eap = 0.33 * 5 = 1.65$$

Chapter 4:**4.11 Design of retaining wall :-****4.18.1 Retaining Wall Design Parameters:**

$$\phi = 30^\circ$$

$$\gamma = 18 \text{ kN/m}^2$$

$$ka = \frac{(1 - \sin\phi)}{(1 + \sin\phi)} = \frac{1 - \sin 30^\circ}{1 + \sin 30^\circ} = 0.33$$

$$kp = \frac{(1 + \sin\phi)}{(1 - \sin\phi)} = \frac{1 + \sin 30^\circ}{1 - \sin 30^\circ} = 3$$

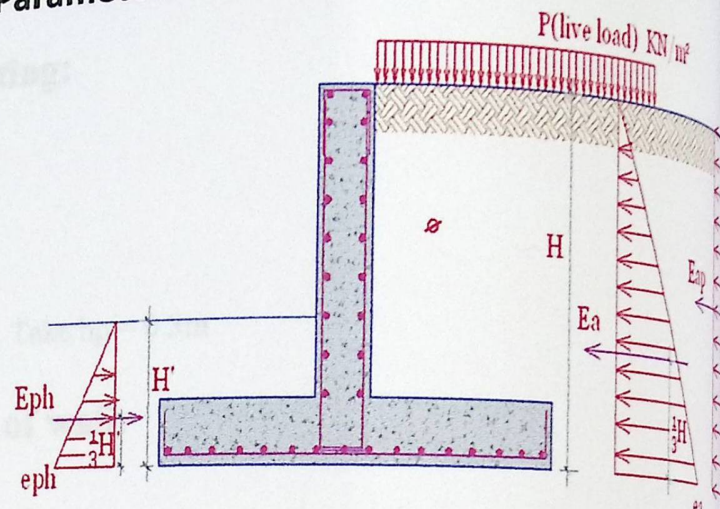


Figure (4-20): retaining wall

$\phi$ : angle of friction

$$ea = Ka * \gamma * H \text{ KN/m}^2$$

$$Ea = ea * \frac{H}{2}$$

$$eap = Kp * p \text{ KN/m}^2$$

$$Eap = eap * H$$

$$ep = Kp * \gamma * H' \text{ KN/m}^2$$

$$Ep = ep * \frac{H'}{2}$$

**4.18.2 Load Calculation:**

$$ea = 0.33 * 18 * 3.1 = 18.414$$

$$Ea = 0.5 * 18.414 * 3.1 = 28.5 \text{ kN/m}$$

$$eap = 0.33 * 5 = 1.65$$

Chapter 4:

$$E_{ap} = 1.65 * 3.1 = 5.115 \text{ kN/m} = 5.11 \text{ kN (for one meter strip)}$$

$$e_p = 3 * 18 * 0.9 = 48.6$$

$$E_p = 0.5 * 48.6 * 0.5 = 12.15 \text{ kN/m} = 12.15 \text{ kN (for one meter strip)}$$

**4.18.3 Estimation of depth footing:**

$$H = 0.1 h$$

$$H = 2.6$$

$$h_p = 0.1 * 2.6 = 0.26 \text{ m} \dots \dots \dots \text{Take } h_p = 0.3 \text{ m}$$

**4.18.4 Estimation of thickness of wall:****4.18.4.1 Internal forces calculation:**

$$M = 5.11 * 1.55 + 18.414 * 1.033 = 26.94 \text{ KN.m}$$

$$Mu = 1.6 * 26.94 = 43.1 \text{ KN.m}$$

$$Mn = \frac{43.1}{0.9} = 47.89 \text{ KN.m}$$

$$\max \rho = 0.5 * 0.02 = .01 \rho$$

$$m = \frac{f_y}{0.85 * f_c} = \frac{400}{0.85 * 24} = 19.6$$

$$K_n = .01 (400 (1 - 0.5 * 0.01 * 19.6)) = 3.6$$

$$kn = \frac{Mn}{bd^2} = \frac{29.6 \times 10^6}{1000 \times d^2} = 3.6 \text{ MPa}$$

$$d = 91 \text{ mm}$$

$$h_{req} = 91 + 75 + \frac{16}{2} = 174 \text{ mm}$$

select  $h = 25 \text{ cm}$

Chapter 4:

$$d = 250 - 75 - \frac{16}{2} = 167 \text{ mm}$$

**4.18.5 Design of wall reinforcement :**

$$M_u = 43.1$$

$$M_n = \frac{43.1}{0.9} = 47.88 \text{ KN.m}$$

$$k_n = \frac{M_n}{bd^2} = \frac{47.88 \times 10^6}{1000 \times 167^2} = 1.7 \text{ MPa}$$

$$m = \frac{f_y}{0.85 * f'_c} = \frac{420}{0.85 * 24} = 20.6$$

$$\rho = \frac{1}{20.6} \left( 1 - \sqrt{1 - \frac{2 \times 20.6 \times 1.7}{420}} \right) = 0.00423$$

$$A_{s_{req.}} = \rho * b * d = 0.00423 * 100 * 16.7 = 7.06 \text{ cm}^2 / \text{m}$$

$$A_{s_{min}} \geq \begin{cases} \frac{1.4}{f_y (b)(d)} = \frac{1.4}{420 (100)(16.7)} = 5.65 \text{ cm}^2 / \text{m} \dots \dots \dots \text{control} \\ \frac{\sqrt{f'_c}}{4(f_y)} (b)(d) = \frac{\sqrt{24}}{4(420)} (100)(16.7) = 5.11 \text{ cm}^2 / \text{m} \\ A_s (\text{for shrinkage and temperature}) = 0.0018 * 100 * 26 = 4.68 \text{ cm}^2 / \text{m} \end{cases}$$

Select  $\Phi 12 @ 20 \text{ cm}$

**4.18.6 Design against overturning:**

Chapter 4:

$$\eta = \frac{S \tan \text{ding moment}}{\text{overturning moment}} \geq 2$$

$M_s$ : Standing moment

$M_o$ : Overturning moment

### \* Design overturning

We select the ideal shape and we design the overturning for one meter strip:

$$e_a = 0.33 * 18 * 2.6 = 15.5$$

$$E_a = 0.5 * 15.5 * 2.6 = 20.2 \text{ Kn} \text{ (for one meter strip)}$$

$$e_{ap} = 0.33 * 5 = 1.65$$

$$E_{ap} = 1.65 * 2.6 = 4.3 \text{ kn/m} = 4.3 \text{ kn (for one meter strip)}$$

$$e_p = 3 * 18 * 0.8 = 43.2$$

$$E_p = 43.2 * 0.8 * 0.5 = 17.3 \text{ kn/m} = 17.3 \text{ kn (for one meter strip)}$$

$$W_w = 0.25 * 2.3 * 1 * 25 = 14.8 \text{ kn}$$

$$W_f = 0.3 * L * 1 * 25 = 7.5L$$

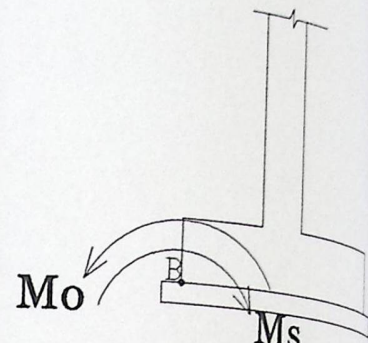
$$W_{e1} = 18 * 2.3 * \left(\frac{2}{3}L - 0.25\right) = 27.6L - 10.35$$

$$W_{e2} = 18 * 0.5 * \frac{1}{3}L = 3L$$

### Moment about point B

\*Overturning moment :

$$4.3 * 1.3 + 20.2 * 0.866 = 23 \text{ kn.m}$$



\*Standing moment:

$$\begin{aligned} M_s &= w w \left( \frac{1}{3} L + 0.125 \right) + W f (0.5L) + W e 1 \left( \frac{1}{3} L + 0.25 + \left( \frac{2}{3} L - 0.25 \right) * 0.5 \right) = \\ &= 21.95L^2 + 8.45L - 2.05 \end{aligned}$$

$$\eta = \frac{\text{Standing moment}}{\text{overturning moment}} \geq 2$$

$M_s$  : Standing moment

$M_o$  : Overturning moment

$$M_o = 23 \text{ Kn.m} \quad \frac{M_s}{23} = 2 \quad M_s = 46 \text{ Kn.m}$$

$$46 = 21.95L^2 + 8.45L - 2.05$$

$$L = 1.29 \text{ m} \dots \dots \dots \text{Take } L = 1.3 \text{ m}$$

### 4.18.7 Design against sliding :

$$\frac{\text{Reaction}}{\text{Action}} \geq 1.5$$

Chapter 4:

$$\frac{E_p + F_F}{E_a + E_{ap}} \geq 1.5$$

$$F_f = \square v * \tan \Phi$$

$$\square v = wf + ww + we$$

$$\square v = 50 Kn$$

$$F_f = 28.9 Kn$$

$$F_f + E_p = 28.9 + 17.3 = 46.2 Kn$$

$$E_{ap} + E_a = 20.2 + 4.3 = 24.5 Kn$$

$$\frac{46.2}{24.5} = 1.9 > 1.5 \dots \dots \dots \dots \text{Safe against sliding}$$

**4.18.8 Design of bearing pressure :**

$$\square mo = 23 Kn.m$$

$$ms = 21.95L^2 + 8.45L - 2.05$$

$$= 21.95 * 1.3^2 + 8.45 * 1.3 + 2.05$$

$$= 50.13 Kn.m$$

$$\square v = 50 Kn$$

$$e = \frac{B}{2} - \frac{\square M_r - \square M_o}{\square v}$$

$$e = \frac{1.3}{2} - \frac{50.13 - 23}{50}$$

$$= 0.10 m$$

$$q_{max} = \frac{\square v}{B} \left( 1 + \frac{6e}{B} \right)$$

$$q_{min} = \frac{\square v}{B} \left( 1 - \frac{6e}{B} \right)$$

Chapter 4:

$$q_{max} = \frac{50}{1.3} \left(1 + \frac{6 * .10}{1.3}\right)$$

$$= 56.2 \text{ Kn/m}^2$$

$$q_{min} = \frac{50}{1.3} \left(1 - \frac{6 * .10}{1.3}\right)$$

$$= 20.7 \text{ Kn/m}^2$$

$$< 400 \text{ Kn/m}^2 \dots \dots \dots \text{ok}$$

**4.18.9 Design of footing :**

$$P_u = 1.2D + 1.6L$$

$$P_u = 1.2(W_w + W_f) + 1.6(W_e)$$

$$P_u = 1.2(14.8 + 9.75) + 1.6(25.53) = 70.3 \text{ Kn}$$

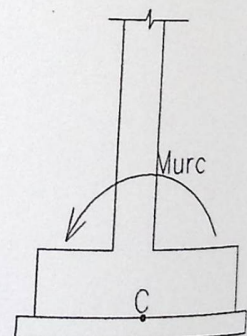
$$MR_{uc} = 20.2 * \frac{2.6}{3} * 1.6 + 4.3 * 1.3 * 1.6 - 25.53 * 0.332 * 1.6 + 14.8 * 0.092 * 1.2 = 25 \text{ kN.m}$$

Eccentricity

$$e = \frac{M_u}{v} = \frac{25}{70.3} = 0.35 \text{ m}$$

$$q_{max} = \frac{70.3}{1.3} \left(1 + \frac{6 * .35}{1.3}\right) = 141.5 \text{ kn/m}^2$$

$$q_{min} = \frac{70.3}{1.3} \left(1 - \frac{6 * .35}{1.3}\right) = -33 \text{ kn/m}^2$$



$$< 400 \text{ Kn/m}^2$$

Since  $q_{min}$  is negative value, the flexural formula is not applicable, then we use ..... ok

Chapter 4:

$$q_{max} = \frac{4Q}{3l(B - 2e)}$$

$$q_{max} = \frac{4 * 70.3}{3 * 1(1.3 - 2 * .35)} = 156.3$$

$$\square v = 0$$

$$\frac{1}{2}(q)(d)(l) - (pu) = 0$$

$$\frac{1}{2}(156.3)(d)(1) - (70.3) = 0$$

$$d = 0.9\text{m}$$

**4.18.10 Design of shear:**

$$d = 300 - 75 \cdot \frac{14}{2} = 218\text{ mm} \quad \text{but } (q) \text{ at } d =$$

$$\frac{jH}{Eg} = \frac{IH}{IG}$$

$$\frac{0.215}{0.9} = \frac{IH}{156.3} \rightarrow IH = 37.3 \quad \text{but } 156.3 - 37.3 = 119\text{ Kn/m}^2$$

$$V_u = 0.215 * 1 * 119 + \frac{1}{2} * 0.215 * 1 * 37.3 = 30\text{ Kn}$$

$$\phi V_c = \frac{0.75}{6} \sqrt{f'_c} * b * d = \frac{0.75}{6} * \sqrt{24} * 1 * 0.218 * 1000 = 131.6\text{ Kn}$$

$\Rightarrow (\phi V_c = 131.6) > (V_u = 30) \Rightarrow \text{thickness is enough} = 30\text{ cm}$

In other dir  $V_u = (0.616 - 0.218) * 1 * 2.3 * 18 = 14\text{ Kn}$  it is safe for shear.

**4.18.11 Design of bottom reinforcement at section 1-1:**

Chapter 4:

$$\frac{0.433}{0.9} = \frac{x}{156.3} \rightarrow x = 75.2 \text{ Kn/m}^2 \quad \text{but } qS1 = 156.3 - 75.2 = 81.1 \text{ Kn/m}^2$$

$$Mus1 = \left( 81.1 * 0.433 * 1 * \frac{0.433}{2} \right) + \left( \frac{1}{2} * 0.433 * 75.2 * 1 * \frac{2}{3} * 0.433 \right) = 12.3 \text{ Kn.}$$

$$h = 30\text{cm} \quad d = 0.218\text{m}$$

$$Mn = \frac{12.3}{0.9} = 13.6 \text{ KN.m}$$

$$m = \frac{fy}{0.85 * fc'} = \frac{420}{0.85 * 24} = 20.6$$

$$kn = \frac{Mn}{bd^2} = \frac{13.6 \times 10^6}{1000 \times 218^2} = .286 \text{ Mpa}$$

$$\rho = \frac{1}{19.6} \left( 1 - \sqrt{1 - \frac{2 \times 19.6 \times 0.286}{400}} \right) = 0.00072$$

$$As_{Req.} = \rho * b * d = 0.00072 * 100 * 21.8 = 1.57 \text{ cm}^2 / \text{m}$$

$$As_{min} = \frac{\sqrt{fc'}}{4(fy)} (b)(d)$$

$$As_{min} = \frac{\sqrt{24}}{4(400)} (100)(24) = 7.34$$

$$As_{min} = \frac{1.4}{(400)} (100)(24) = 8.4$$

$$1.3 * 1.57 = 2 \text{ cm}^2 / \text{m}$$

*AS (for shrinkage and temperature) = (0.0018) (100) (30) = 5.4 \text{ cm}^2 / \text{m}*

Select  $\Phi 10 @ 20 \text{ cm}$

#### 4.18.12 Design of top reinforcement at section 2-2:

$$Mus2 = \frac{0.616}{2} * 0.616 * 1 * 2.3 * 18 = 7.85 \text{ Kn.m}$$

Chapter 4:

From previous section (1-1), the value of moment will be greater than moment in these sections so

Select  $\Phi 12 @ 20 \text{ cm}$

#### 4.18.13 Development length of main reinforcement:

$$(L_d)_{\text{required}} = 0.9 \times \frac{\psi_t \times \psi_e \times \psi_s}{\lambda \times \sqrt{f'_c}} \times \frac{f_y}{\left( \frac{ktr + C_b}{d_{bar}} \right)} \times d_b$$

$ktr = 0.0$  for footings (no stirrups).

$$C_b = \text{cover} + d_b = 75 + 12 = 87 \text{ mm}$$

$$\left( \frac{ktr + C_b}{d_{bar}} \right) \leq 2.5$$

$$\left( \frac{0 + 87}{12} \right) = 7.25 > 2.5 \Rightarrow \text{use } \left( \frac{ktr + C_b}{d_{bar}} \right) = 2.5$$

$$\Rightarrow (L_d)_{\text{required}} = 0.9 \times \frac{1.0 \times 1.0 \times 0.8}{1.0 \times \sqrt{24}} \times \frac{400}{2.5} \times 12 = 282.2 \text{ mm}$$

$$(L_d)_{\text{available}} = 433 - 75 = 358 \text{ mm}$$

$$(L_d)_{\text{available}} = 358 > (L_d)_{\text{required}} = 282.2 \text{ mm.}$$

$\Rightarrow$  So No standard hook is required

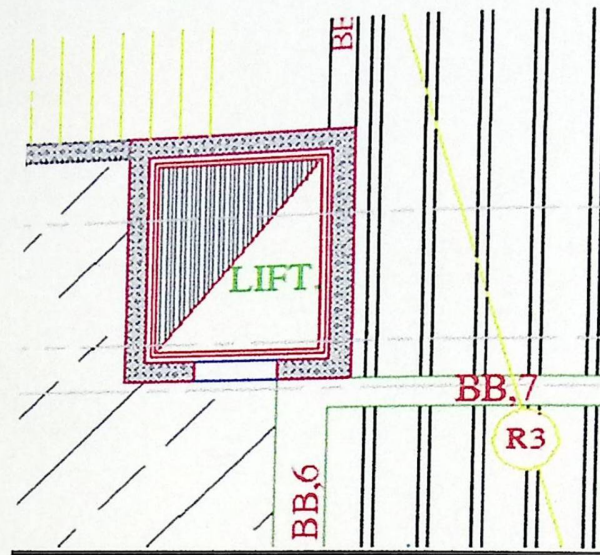
4 -12: Design of shear wall:-

Figure (4-21): Shear Wall

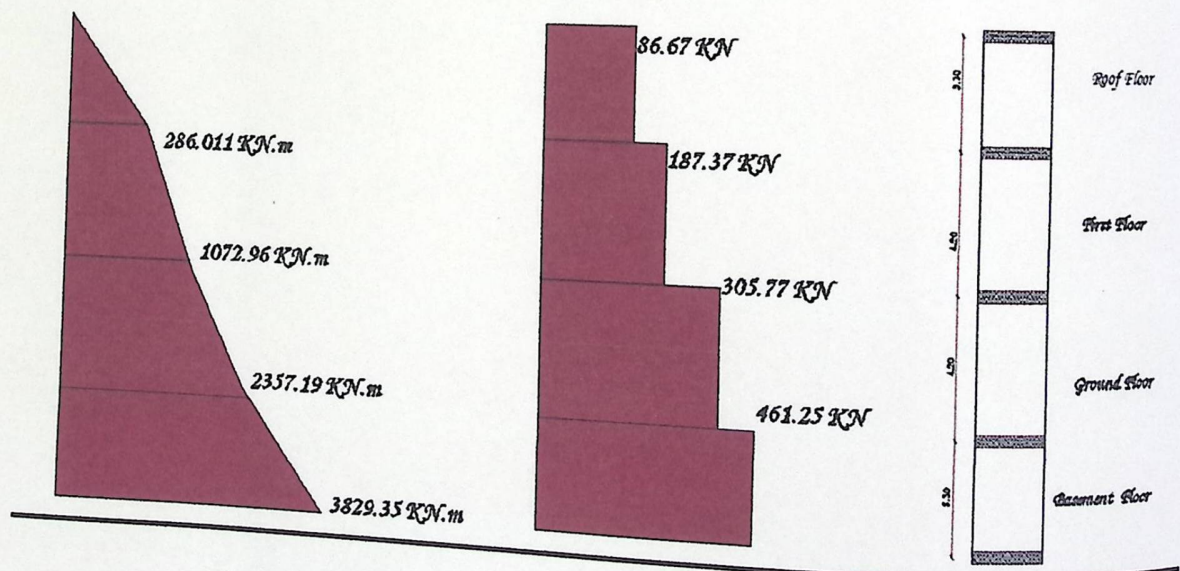


Fig. (4-22) Moment and shear diagram

$$f_c = 24 \text{ MPa}$$

$$f_y = 420 \text{ MPa}$$

$t = 20 \text{ cm}$  .shear wall thickness

$L_w = 2.50 \text{ m}$  .shear wall width

$H_w$  for all wall = 15 m

#### 4 -10 - 1: Design of shear

$$\sum F_x = V_u = 461.25 \text{ KN}$$

##### 4-10-1-1: Design of the Horizontal reinforcement:

The critical Section is the smaller of:

$$\frac{h_w}{2} = \frac{2.5}{2} = 1.25 \text{ m} \dots \dots \text{ control}$$

$$\frac{h_w}{2} = \frac{15}{2} = 7.5 \text{ m}$$

$$d = 0.8 \times h_w = 0.8 \times 2.50 = 2.0 \text{ m}$$

$$\begin{aligned} \emptyset V_{nmax} &= \emptyset \frac{5}{6} \sqrt{f'_c} h d \\ &= 0.75 * 0.83 * \sqrt{24} * 200 * 2000 * 10^{-3} = 1219.815 \text{ KN} > V_u \end{aligned}$$

$$V_c = \frac{1}{6} \sqrt{f'_c} h d = \frac{1}{6} \sqrt{24} * 200 * 2000 * 10^{-3} = 326.598 \text{ KN} \dots \text{ cont}$$

$$V_c = 0.27 \sqrt{f'_c} h d + \frac{N_u d}{4 l_w} = 0.27 \sqrt{24} * 200 * 2000 + 0 = 529.089 \text{ KN}$$

$$M_u = 2357.19 + 461.25 * (3.3 - 1.25) = 3302.752 \text{ KN.m}$$

Chapter 4:

$$\frac{M_u}{V_u} - \frac{l_w}{2} = \frac{3302.752}{461.25} - \frac{2.5}{2} = 5.91 > 0 \text{ ok}$$

$$V_c = \left[ 0.05\sqrt{f_c} + \frac{l_w(0.1\sqrt{f_c} + 0.2\frac{N_u}{l_w h})}{\frac{M_u - l_w}{V_u}} \right] hd$$

$$= \left[ 0.05\sqrt{24} + \frac{2.5(0.1\sqrt{24} + 0)}{5.91} \right] 200 * 2000 = 521.071 KN$$

$$V_s = V_n - V_c$$

$$= (461.25 / 0.75) - 326.598 = 288.402 KN$$

$$\left( \frac{Av_h}{S2} \right) = \frac{V_s}{F_y * d} = \frac{288.402 * 10^{-3}}{420 * 2.0} = 0.343 * 10^{-3} m$$

$$\left( \frac{Av_{h \min}}{S2} \right) = 0.0025 * h = 0.0025 * 0.20 = 0.5 * 10^{-3} m (\text{Control})$$

$$S2 = \frac{L_w}{5} = 2500 / 5 = 500 mm$$

$$S2 = 3 * h = 3 * 200 = 600 mm$$

select  $\rightarrow 2\phi 10 \rightarrow As = 1.58 cm^2$

$$\frac{Av}{S2} = 0.625 mm$$

$$\frac{158}{S2} = 0.5 \rightarrow S2 = 314 mm (\text{Control})$$

Select .....  $S2 = 30 cm < S_{req.} = 31.4 cm$

$S2_{selected} = 25 cm < 75 cm < 70 cm$

Use  $\square 10 @ 300 mm$  in two layer

## 4 -10-1-2: Design for Vertical reinforcement:-

$$\rho_{\min} = (0.0025 + 0.5(2.5 - \frac{h_w}{l_w})(\frac{Avh}{S_2 h} - 0.0025))S_1 h_1$$

$$\frac{h_w}{L_w} = \frac{15}{2.50} = 6 > 2.5$$

$$Avn = 0.0025 \times S_1 \times h_1$$

$$S_1 = \frac{1}{3} L_w = \frac{1}{3} \times 2.5 = 833 \text{ mm}$$

$$S_1 = 3 \times h = 3 \times 200 = 600 \text{ mm}$$

Select 2φ10 With area  $A_s = 158 \text{ mm}^2$

$$158 = 0.0025 \times S_1 \times 200$$

$$\therefore S_1 = 316 \text{ mm} (\text{Control})$$

$$\text{Select } S_1 = 300 \text{ cm} < 316 \text{ cm}$$

$$S = 300 \text{ cm}$$

Select Φ 10 @300mm. In two layer

## 4 -10-3: Design of bending moment:

$$Mu = 3829.35 \text{ KN.m}$$

$$C \geq \frac{l_w}{600 * (S_n/h_w)}$$

$$\text{Assume } S_n/h_w = 0.007$$

$$C \geq \frac{2.50}{600 * 0.007} = 0.595$$

$$C_w = C - 0.1 \times L_w$$

$$C_w = 0.595 - 0.1 \times 2.5 = 0.345 \text{ m}$$

$$C_w = \frac{C}{2.0} = \frac{0.595}{2.0} = 0.297 \text{ m}$$

Select The boundary element = 35cm > 34.5cm

$$A_{s_t} = \frac{L_w}{s_1} \times A_{s_v} \longrightarrow = \frac{2.50}{0.25} \times 158 = 1580 \text{ mm}^2$$

Chapter 4:

$$\frac{Z}{Lw} = \frac{1}{2 + (0.85 * \beta * f_c * Lw * h) / (A_{st} * F_y)}$$

$$\frac{Z}{Lw} = \frac{1}{2 + (0.85 * 0.85 * 24 * 2.5 * 0.20) / (1580 * 10^{-6} * 420)} = 0.06219$$

$$Mu = 0.9 * F_y * 0.5 * A_{st} * Lw * \left(1 - \left(\frac{Z}{Lw} / 2\right)\right) =$$

$$0.9 * 420 * 0.5 * 1580 * 10^{-3} * 2.50 * \left(1 - \frac{0.06219}{2}\right) = 745.5811 \text{ kN.m}$$

$$Mu_{\text{Design}} = 3829.315 - 745.5811 = 3083.734 \text{ kN.m}$$

$$A_{st} = \frac{Mu / \phi}{f_y * (Lw - Cw)} = \frac{3083.734 * 10^6 / 0.9}{420 * (2500 - 350)} = 3794.43 \text{ mm}^2$$

$$As = 3794.43 + (4 * 79) = 4110.43 \text{ mm}^2$$

$\therefore$  Use  $\phi 20$  ——> Select 14  $\phi 20$   $\rightarrow As = 4396 \text{ mm}^2$

Use 14  $\square 20$

4-13: Design of column (C1):-**4-11.1 Load Calculation:**

DL=234.42KN LL=25.54KN ... From Load Table

$$p_u = 1.2 \times 234.42 + 1.6 \times 25.54 = 495.634 \text{ KN}$$

$$P_n = 322.168 / (0.65) = 495.643 \text{ KN}$$

$$\rho g = 0.016 \dots \text{Assumed}$$

$$P_n = 0.8 * A_g \{ 0.85 * f'_c + \rho g (f_y - 0.85 f'_c) \}$$

$$495.643 * 10^{-3} = 0.8 * A_g [0.85 * 24 + 0.015(420 - 0.85 * 24)]$$

$$A_g = 0.0242 \text{ m}^2$$

Try 0.2\*0.6m with  $A_g = 0.12 \text{ m}^2$

**4.11.2 Check Slenderness Effect:****In direction 0.2**

$$L_u = 4.2 \text{ m}$$

$$M_1 \& M_2 = 1$$

$$K = 1$$

$$\frac{klu}{rx} < 34 - 12 \frac{M_1}{M_2} \dots \dots \dots ACI - (10 . 12 . 2)$$

$$\frac{1 * 4.2}{0.3 * 0.2} = 70 > 22$$

$\therefore$  Long direction about x-axis.

Chapter 4:**In direction 0.6**

$$Lu = 4.2 \text{ m}$$

$$M1 \& M2 = 1$$

$$K=1$$

$$\frac{klu}{ry} < 34 - 12 \frac{M1}{M2} \quad \dots \dots \quad ACI - (10.12.2)$$

$$\frac{1 * 4.2}{0.3 * 0.6} = 23.33 > 22$$

$\therefore$  Long direction about y-axis .

Long column in both direction

$$EI = 0.4 \frac{E_c I_g}{1 + \beta_d} \quad \dots \dots \quad [ACI 318-05 (Eq. 10-15)]$$

$$E_c = 4750 \sqrt{f'_c} = 4750 \times \sqrt{24} = 23270.152 \text{ MPa}$$

$$\beta_d = \frac{1.2DL}{Pu} = \frac{1.2 * (234.42)}{322.168} = 0.873 < 1$$

$$I_g = \frac{b \times h^3}{12} = \frac{0.6 \times 0.2^3}{12} = 0.0004 \text{ m}^4$$

$$EI = \frac{0.4 \times 23270.15 \times 0.0004}{1 + 0.8307} = 2.0337 \text{ MN.m}^2$$

$$P_{cr} = \frac{\pi^2 EI}{(KLu)^2} \quad \dots \dots \quad ACI 318-05 (Eq. 10-13)$$

$$P_c = \frac{3.14^2 \times 2.0337}{(1.0 \times 4.2)^2} = 1.1378 \text{ MN.}$$

Chapter 4:

$$C_m = 0.6 + 0.4 \left( \frac{M_1}{M_2} \right) \dots \dots \dots ACI 318 - 05 (Eq. 10 - 16)$$

$C_m = 1 \dots \dots \text{According to ACI } 318 - 05 (10.10.6.4)$

$$\delta_{ns} = \frac{C_m}{1 - \frac{P_u}{0.75 P_c}} \geq 1.0 \dots \dots \dots ACI 318 - 05 (Eq. 10 - 12)$$

$$\delta_{ns} = \frac{1}{1 - \frac{368.276}{0.75 \times 1137.8}} = 1.76 > 1$$

$$e_{min} = 15 + 0.03 \times h = 15 + 0.03 \times 200 = 21mm = 0.021m$$

$$e = e_{min} \times \delta_{ns} = 0.021 \times 1.76 = 0.0369m$$

$$\frac{e}{h} = \frac{0.0369}{0.2} = 0.1847 < 0.1$$

Because  $e/h < 0.1$  we well design as concentrically loaded column:

$$P_{n(max)} = 0.8 \times Ag \{ 0.85 f'_c + \rho_g (f_y - 0.85 f'_c) \}$$

$$495.64 = 0.8 \times 600 * 200 \{ 0.85 \times 24 + \rho_g (420 - 0.85 \times 24) \}$$

$$\rho_g = 0.012 > \rho \text{ min} = 1\% - ok$$

$$A_s = 0.012 * 600 * 200$$

$$A_s = 1440mm^2$$

$$\text{Use } \Phi 16 >> \# \text{ of bar} = \frac{1440}{201} = 7.1$$

Use 8  $\Phi 16$  with  $A_s = 1608.87mm^2 > A_{s,req} = 1440mm^2$

#### 4.11.3 Design of the Stirrups:

The spacing of ties shall not exceed the smallest of-

$$\text{spacing} \leq 16 \times d_b = 16 \times 25.6 cm$$

$$\text{spacing} \leq 48 \times d_s = 48 \times 1.0 = 48 cm$$

$$\text{spacing} \leq \text{least.dim.} = 40 cm$$

Use  $\phi 10 @ 25 cm$

## 4.14 Design of Isolated Footing (F7) :

### 4.12.1 Determination of Loads:

Total service load = 2435.98 KN

Total factored load = 2537.65 KN.

Column Dimensions = 65\*30 cm.

Soil density = 18 Kg/cm<sup>3</sup>.

Allowable soil Pressure = 350 KN/m<sup>2</sup>.

Assume footing to be about (55 cm) thick.

Footing weight =  $25 \times 0.55 = 13.75$  KN/m<sup>2</sup>.

Soil weight above the footing =  $0.45 \times 18 = 8.1$  KN/m<sup>2</sup>.

$$q_{\text{allow}} = 350 - 8.1 - 13.75 = 328.15 \text{ KN/m}^2$$

### 4.12.2 Determination of Footing Area:

$$A = \frac{2435.980}{328.15} = 7.42 \text{ m}^2$$

Try 2.8 \* 2.8 m with area = 7.84 m<sup>2</sup> > Areq = 7.42 m<sup>2</sup>

determinate  $q_u = 2537.65 / 2.8 \times 2.8 = 323.68$  KN/m<sup>2</sup>

### 4.12.3 Determination the depth of footing based on shear strength:

Assume h = 55 cm ..... d = 550 - 75 - 20 = 455 mm

#### \*Check for one-way shear strength

$$V_u = 323.68 \times 2.8 \times \left( \frac{2.8}{2} - 0.3/2 - 0.455 \right) = 720.513 \text{ KN}$$

$$\phi.V_c = \phi \cdot \left( \frac{1}{6} \times \sqrt{f'_c} \times b_w \times d \right)$$

$$\phi.V_c = 0.75 \times \frac{1}{6} \times \sqrt{24} \times 2800 \times 0.455 = 780.162 \text{ KN}$$

$$\phi.V_c = 780.16 \text{ KN} > V_u = 720.513 \text{ KN}$$

∴ OK

The thickness is adequate enough

Chapter 4:**4.12.4 Check for two-way shear action (punching)**

The punching shear strength is the smallest value of the following equations:

$$\phi V_c = \phi \cdot \frac{1}{6} \left( 1 + \frac{2}{\beta_c} \right) \sqrt{f'_c} b_o d$$

$$\phi V_c = \phi \cdot \frac{1}{12} \left( \frac{\alpha_s}{b_o/d} + 2 \right) \sqrt{f'_c} b_o d$$

$$\phi V_c = \phi \cdot \frac{1}{3} \sqrt{f'_c} b_o d$$

Where:

$$\beta_c = \frac{\text{Column Length } (a)}{\text{Column Width } (b)} = \frac{65}{30} = 2.167$$

$b_o$  = Perimeter of critical section taken at (d/2) from the loaded area

$$b_o = 2(d + a1) + 2(d + a2) = 2(0.455 + 0.65) + 2(0.455 + 0.3) = 3.72m$$

$$\alpha_s = 40 \quad \text{for interior column}$$

$$\phi V_c = \phi \cdot \frac{1}{6} \left( 1 + \frac{2}{\beta_c} \right) \sqrt{f'_c} b_o d = \frac{0.75}{6} * \left( 1 + \frac{2}{2.167} \right) * \sqrt{24} * 3720 * 455 = 1992.57KN$$

$$\phi V_c = \phi \cdot \frac{1}{12} \left( \frac{\alpha_s * d}{b_o} + 2 \right) \sqrt{f'_c} b_o d = \frac{0.75}{12} * \left( \frac{40 * 455}{3720} + 2 \right) * \sqrt{24} * 3720 * 455 = 3571.369KN$$

$$\phi V_c = \phi \cdot \frac{1}{3} \sqrt{f'_c} b_o d = \frac{0.75}{3} * \sqrt{24} * 3720 * 455 = 2073KN$$

$$\phi V_c = 1992.57N \dots \text{Control}$$

$$Vu = 323.368 * \{(2.8 * 2.8) - (0.65 + 0.455) * (0.3 + 0.455)\} = 2040.1kN$$

$$\phi V_c = 4657.28Kn > Vu_c = 2040Kn \dots \text{satisfied}$$

**4.12.5 Design of Bending Moment:**

$$Mul = 323.68 * 2.8 * 1.25^2 / 2 = 7080513Nm$$

$$Mu = 708.513 kN.m$$

Chapter 4:

$$d = 550 - 75 - 20 = 455 \text{ mm}$$

$$Kn = \frac{Mn}{b * d^2} = \frac{708.051 / 0.9 \times 10^6}{2800 \times 455^2} = 1.357 \text{ MPa}$$

$$m = \frac{Fy}{0.85 f_{c'}} = \frac{420}{0.85 \times 24} = 20.588$$

$$\rho = \frac{1}{m} \left( 1 - \sqrt{1 - \frac{2mKn}{f_y}} \right)$$

$$\rho = \frac{1}{20.588} \left( 1 - \sqrt{1 - \frac{2 \times 20.588 \times 1.357}{420}} \right) = 0.003346$$

$$A_{s_{req}} = 0.00334 \times 2800 \times 455 = 4263.705 \text{ mm}^2 / \text{m}$$

$$A_{s_{min}} = 0.0018 * 2800 * 550 = 2772 \text{ mm}^2 / \text{m}$$

$$A_{s_{min}} = 2772 \text{ mm}^2 / \text{m} < A_{s_{req}} = 4263.705 \text{ mm}^2 / \text{m}$$

$$\# \text{ of bar in one meter} = \frac{4263.705}{201.06} = 21.02$$

Select 21Φ16 with As = 4222.3 mm<sup>2</sup>

$$A_s * f_y = 0.85 * f_{c'} * b * a$$

$$4263.705 * 420 = 0.85 * 24 * 2800 * a$$

$$a = 31.351$$

$$c = \frac{a}{\beta_1} = \frac{31.351}{0.85} = 36.883 \text{ mm}$$

$$\varepsilon_s = \frac{455 - 36.883}{36.883} * 0.003 = 0.033$$

$$\varepsilon_s = 0.033 > 0.005 \rightarrow ok$$

Chapter 4:**4.12.6 Development Length of main Reinforcement for  $M_u1$ :**

$$Ld_{(1)req} = \frac{0.24 f_y}{\sqrt{f_c}} db = \frac{0.24 * 420}{\sqrt{24}} * 1.6 = 32.92 \text{ cm}$$

$$Ld_{(2)req} = 0.044 \times f_y \times db = 0.044 \times 420 \times 1.6 = 29.568 \text{ cm}$$

$$Ld_{(1)req} = 32.92 \text{ cm} > Ld_{(2)req} = 29.568 \text{ cm} \rightarrow \text{control}$$

$$\text{Available } Ld = (550 - 75 - 2 * 16) = 443 \text{ mm.}$$

$$\text{Available } Ld = 44.3 \text{ cm} > Ld_{(1)req} = 32.92 \text{ cm}$$

Using hook  $\geq 16 * \phi$

$$\text{Required length of hook} \geq 16 * \phi \geq 16 * 2.1 = 25.2 \text{ cm}$$

$$\text{Use Hook}_{sel.} = 30 \text{ cm} > \text{Hook}_{req} = 25.2 \text{ cm}$$

$$ld_{req} = \frac{9}{10} * \frac{F_y}{\lambda \sqrt{f_c}} * \frac{\psi_e \psi_s \psi_t}{ktr + cb} * db$$

$$ld_{req} = \frac{9}{10} * \frac{420}{1 * \sqrt{24}} * \frac{1 * 1 * 0.8}{2.5} * 16 = 395.053 \text{ mm}$$

$$Ld_{available} = 550 - 75 = 475 \text{ mm}$$

$$Ld_{available} = 475 \text{ mm} > ld_{req} = 395.053 \text{ mm}$$

Use the column bars as a dowels

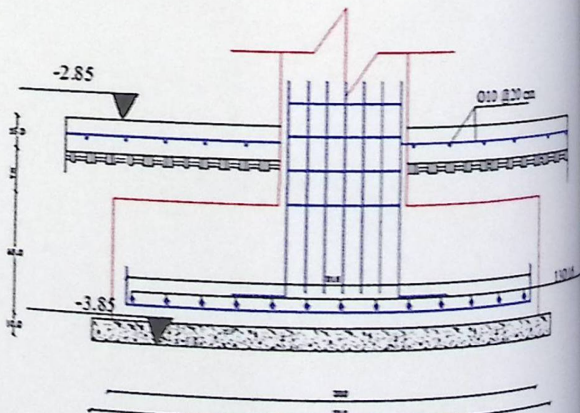
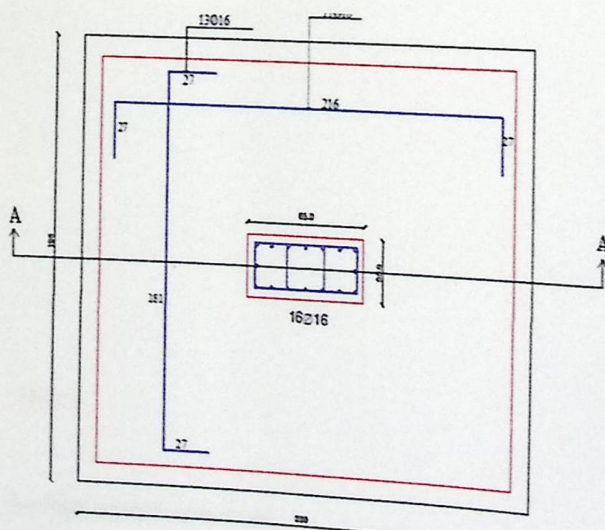


Figure (4-23): Footing's Detail

4.15 Design of Spherical shell :

## 4.9.1 Load Calculation:

Snow loads :

According to Jordanians code :

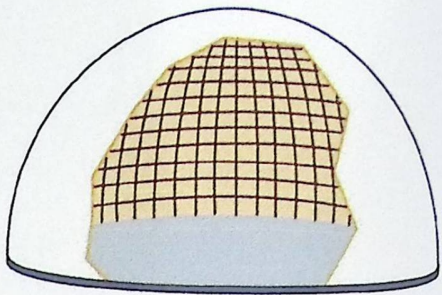


Figure (4-24): spherical shell

$$4.9.1.1 \text{ Snow load} = \frac{h - 400}{320} = \frac{900 - 400}{320} = 1.5 \text{ kN/m}^2$$

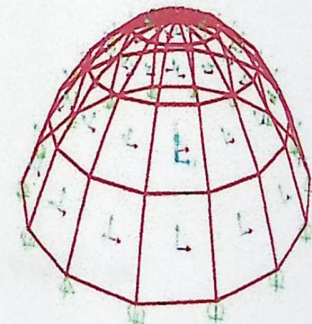


Figure (4-25): Local axis

where:

h: high above sea level.

## 4.9.1.2 Self weight of Dom :

Chapter 4:

Assuming thickness to be = 10 cm.

#### 4.9.1.3 weight of Finishing materials of Dom :

assuming plaster thickness = 2cm,

$$\Rightarrow 0.01 * 23 = 0.5 \text{ kN/m}^2$$

$$1.2 * 0.5 = 0.6 \text{ kN/m}^2$$

#### 4.9.2 Analyses of internal forces:

for spherical shells

$$N_\alpha = -\frac{ga}{(\cos \alpha + 1)}$$

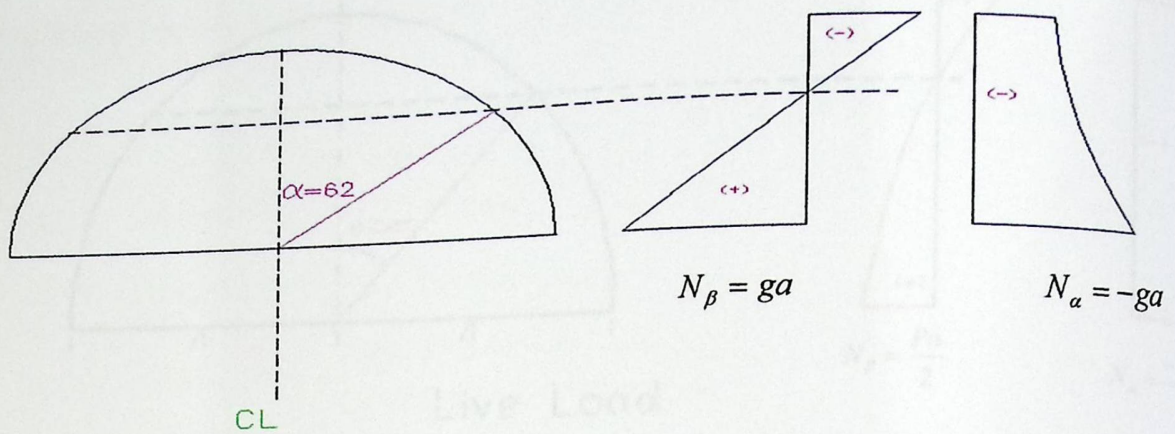
$$N_\beta = a \left( -g \cos \alpha + \frac{g}{(\cos \alpha + 1)} \right)$$

For self weight of Dom:

$$\text{when } \alpha = 0^\circ \Rightarrow \cos 0 = 1 \Rightarrow \left\{ N_\alpha = N_\beta = \frac{-ga}{2} = \frac{-6 * 2.32}{2} = -6.96 \text{ kN/m.} \right.$$

$$\text{when } \alpha = 90^\circ \Rightarrow \cos 90 = 0 \Rightarrow \left\{ \begin{array}{l} N_\alpha = -ga = -6 * 2.32 = -13.92 \text{ kN/m.} \\ N_\beta = ga = 6 * 2.32 = 13.92 \text{ kN/m.} \end{array} \right.$$

$$N_\beta = \frac{-ga}{2} \quad N_\alpha = \frac{-ga}{2}$$



$$N_\beta = ga$$

$$N_\alpha = -ga$$

## Dead load (self weight)

Figure (4-26): Dead load shell

For snow load:

$$\text{when } \alpha = 0^\circ \Rightarrow \cos 0 = 1 \Rightarrow \left\{ N_\alpha = N_\beta = \frac{-Pa}{2} = \frac{-2.4 * 2.32}{2} = -2.784 \text{ kN/m.} \right.$$

$$\text{when } \alpha = 90^\circ \Rightarrow \cos 90 = 0 \Rightarrow \left\{ \begin{array}{l} N_\alpha = \frac{-Pa}{2} = \frac{-2.4 * 2.32}{2} = -2.784 \text{ kN/m.} \\ N_\beta = \frac{Pa}{2} = \frac{2.4 * 2.32}{2} = 2.784 \text{ kN/m} \end{array} \right.$$

$$N_\beta = \frac{-Pa}{2} \quad N_\alpha = \frac{-Pa}{2}$$

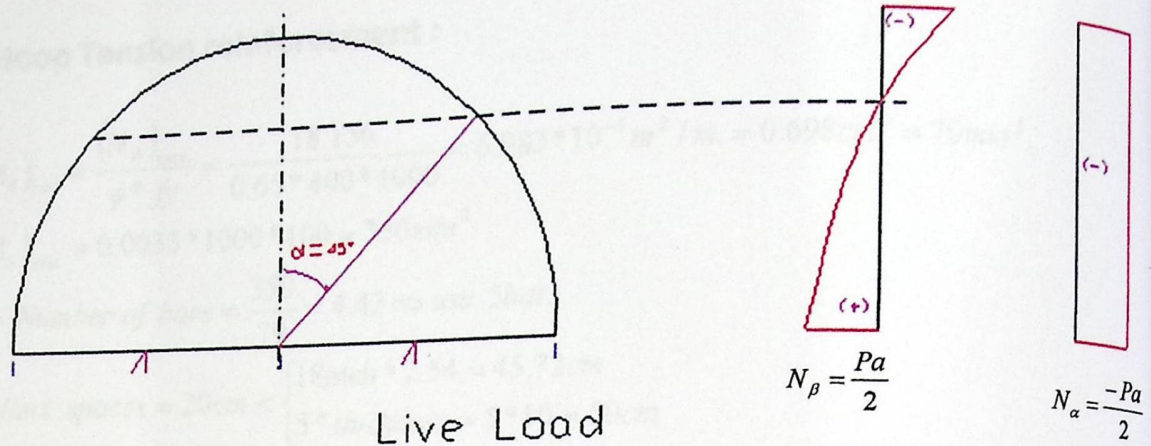
Chapter 4:

Figure (4-27): Live load shell

For Weight of finishing of dom:

$$\text{when } \alpha = 0^\circ \Rightarrow \cos 0 = 1 \Rightarrow \left\{ N_\alpha = N_\beta = \frac{-ga}{2} = \frac{-0.6 * 2.42}{2} = -0.726 \text{ kN/m.} \right.$$

$$\text{when } \alpha = 90^\circ \Rightarrow \cos 90 = 0 \Rightarrow \left\{ \begin{array}{l} N_\alpha = -ga = -0.6 * 2.42 = -1.452 \text{ kN/m.} \\ N_\beta = ga = 0.6 * 2.42 = 1.452 \text{ kN/m.} \end{array} \right.$$

Total factored internal forces:

$$\text{when } \alpha = 0^\circ \Rightarrow \left\{ N_\alpha = N_\beta = -6.96 + -2.78 + -0.726 = -10.466 \text{ kN/m.} \right.$$

$$\text{when } \alpha = 90^\circ \Rightarrow \cos 90 = 0 \Rightarrow \left\{ \begin{array}{l} N_\alpha = -13.92 + 2.784 + -1.452 = -12.588 \text{ N/m.} \\ N_\beta = 13.92 + 2.784 + 1.452 = 18.156 \text{ kN/m.} \end{array} \right.$$

Note: Negative sign mean that the force is compression.

Positive sign mean that the force is tension.

### 4.9.3 Hoop Tension reinforcement :

$$(A_s)_{req} = \frac{(N_\beta)_{max}}{\phi * f_y} = \frac{18.156}{0.65 * 400 * 1000} = 6.983 * 10^{-5} m^2 / m. = 0.698 cm^2 = 70 mm^2.$$

$$(A_s)_{min} = 0.0035 * 1000 * 100 = 350 mm^2$$

$$\Rightarrow \text{Number of bars} = \frac{350}{79} = 4.43 \Rightarrow \text{use 5 bars}$$

select spaces = 20 cm <  $\begin{cases} 18 \text{ inch} * 2.54 = 45.72 \text{ cm} \\ 5 * \text{thickness} = 5 * 10 = 50 \text{ cm} \end{cases}$

with  $A_s = 395 \text{ mm}^2$

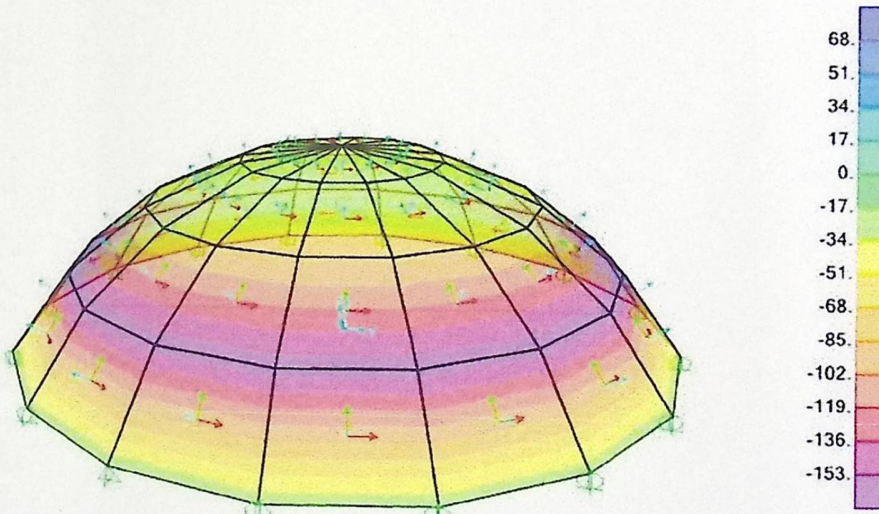


Figure (4-28): Tension from prog.sap

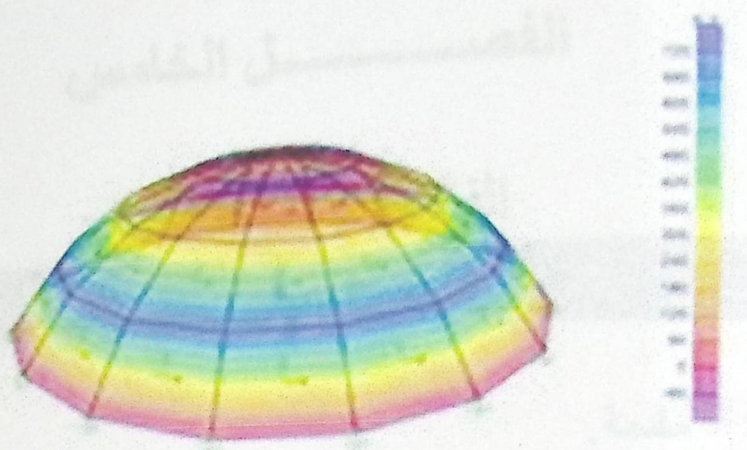


Figure (4-29): Bending moment from prog.sap

## الفصل الخامس

### النتائج والوصيات

5

١.١ مقدمة.

٢.١ النتائج.

٣.١ التوصيات.

## النتائج والتوصيات

## ١.٥ المقدمة :

في هذا المشروع تم الحصول على مخططات معمارية تفقد إلى الكثير من الأمور، بعد دراسة جميع المتطلبات تم اعداد المخططات المعمارية والمخططات الإنسانية الشاملة للمبنى المقترن بناءها في مدينة الخليل.

وتم اعداد المخططات الإنسانية بشكل مفصل ودقيق واضح لتسهيل عملية البناء، ويقدم هذا التقرير شرحاً لجميع خطوات التصميم المعماري والانسانية للمبنى.

## ٢. النتائج:

١. يجب على كل طالب أو مصمم إنساني أن يكون قادراً على التصميم بشكل يدوي حتى يستطيع امتلاك الخبرة والمعرفة في استخدام البرامج التصميمية المحوسبة.

٢. من العوامل التي يجب أخذها بعين الاعتبار، العوامل الطبيعية المحيطة بالمبني وطبيعة الموقع وتأثير القوى الطبيعية على الموقع.

٣. من أهم خطوات التصميم الإنساني، كيفية الربط بين العناصر الإنسانية المختلفة من خلال النظرة الشمولية للمبني، ومن ثم تجزئة هذه العناصر لتصميمها بشكل منفرد ومعرفة كيفية التصميم، معأخذ الظروف المحيطة بالمبني بعين الاعتبار.

٤. القيمة الخاصة بقدرة تحمل التربة هي  $400 \text{ KN/m}^2$ .

٥. لقد تم استخدام نظام عقدات (One-Way Ribbed Slab) في أجزاء معينة من الطوابق، كما تم استخدام نظام العقدات المصمتة (Solid Slab) في مناطق بيت الدرج، نظراً لكونها أكثر فاعلية من عقدات الأعصاب في تحمل ومقاومة الأحمال المركزية.

## ٦. برامج الحاسوب المستخدمة:

هناك عدة برامج حاسوب تم استخدامها في هذا المشروع وهي:

(a) AUTOCAD 2013/2007 : وذلك لعمل الرسومات المفصلة للعناصر الإنسانية.

(b) ETABS: للتصميم والتحليل الإنساني للعناصر الإنسانية.

(c) STAAD PRO: وذلك لإجراء التحاليل الإنسانية لبعض العناصر الإنسانية.

(d) ATIR: للتصميم والتحليل الإنساني للعناصر الإنسانية.

(e) SAFE: لتصميم بعض العناصر الإنسانية.

## النتائج والتوصيات

- (f) Office XP): تم استخدامه في أجزاء مختلفة من المشروع مثل الكتابة النصوص والتنسيق وإخراج المشروع.
7. الأحمال الحية المستخدمة في هذا المشروع كانت من كود الأحمال الأردني.
8. من الصفات التي يجب أن يتتصف بها المصمم، صفة الحس الهندسي التي يقوم من خلالها بتجاوز آية مشكلة ممكّن أن تعرّضه في المشروع وبشكل مقنع ومدروس.

## ٣. التوصيات:

لقد كان لهذا المشروع دور كبير في توسيع وتعزيز فهمنا لطبيعة المشاريع الإنسانية بكل ما فيها من تفاصيل وتحاليل وتصاميم. حيث نجد هنا - من خلال هذه التجربة - أن نقدم مجموعة من التوصيات، نأمل بأن تعود بالفائدة والنجاح لمن يخطط لاختيار مشاريع ذات طابع إنساني.

وفي البداية، يجب أن يتم تنسيق وتجهيز كافة المخططات المعمارية، بحيث يتم اختيار مواد البناء مع تحديد النظام الإنساني للمبنى. ولابد في هذه المرحلة من توفر معلومات شاملة عن الموقع وتربيته وقوة تحمل تربة الموقع، من خلال تقرير جيولوجي خاص بتلك المنطقة، بعد ذلك يتم تحديد موقع الجدران الحاملة والأعمدة بالتوافق والتنسيق التام مع الفريق الهندسي المعماري. ويحاول المهندس الإنساني في هذه المرحلة الحصول على أكبر قدر ممكّن من الجدران الخرسانية المسلحة، بحيث تكون موزعة بشكل منتظم أو شبه منتظم في كافة أنحاء المبنى؛ ليتم استخدامها فيما بعد في مقاومة أحمال الزلازل وغيرها من القوى الأفقية.